

---

**III Український з'їзд  
фахівців ядерної медицини  
14–16 червня 2007 року,  
Харків**

**3<sup>rd</sup> Ukrainian Congress  
of Nuclear Medicine Specialists  
14-16 June 2007,  
Kharkiv**

**Матеріали з'їзду  
Proceedings of the congress**



















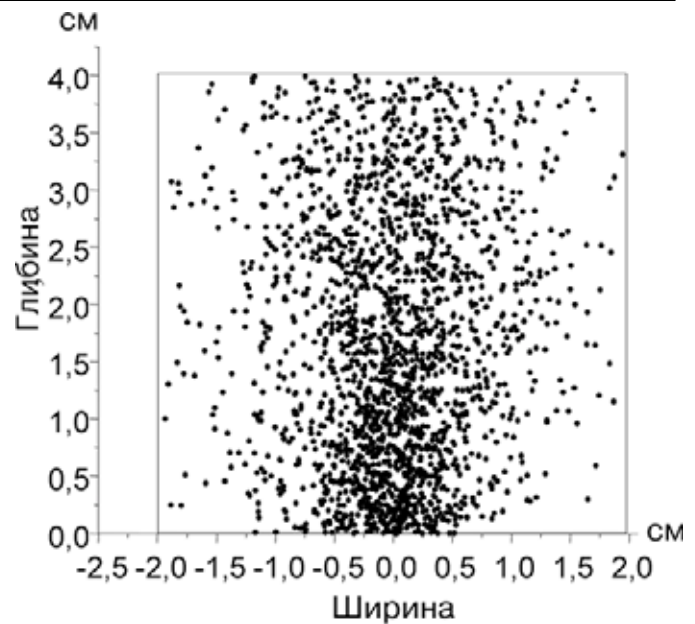
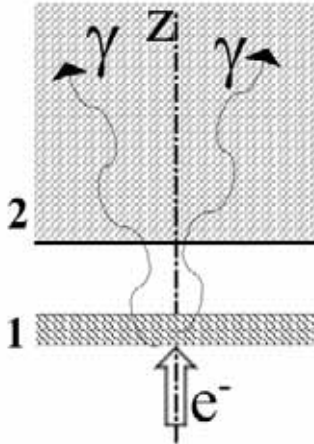


Рис.1. Розподіл ядер Cu-67 у мішенні з цинку (енергія електронів 30 МеВ): 1 — конвертер гальмівного випромінення, 2 — мішень

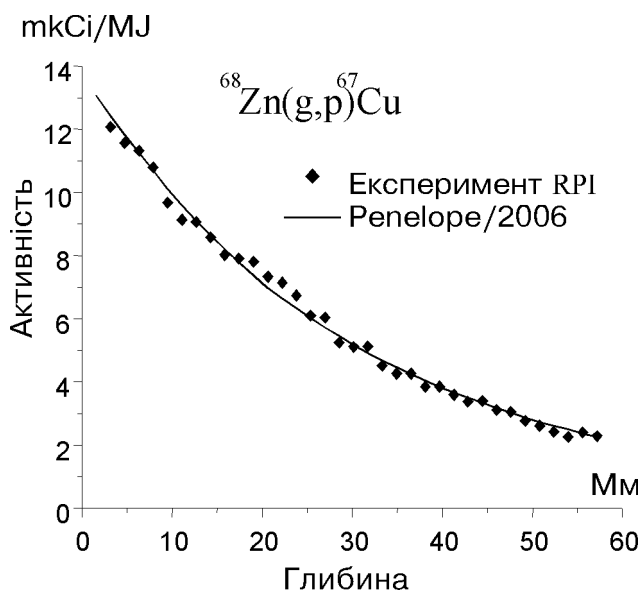


Рис.2. Розподіл активності Cu-67 у цинку (на 1 мегаджоуль енергії пучка електронів), енергія електронів  $E_0 = 49$  МеВ

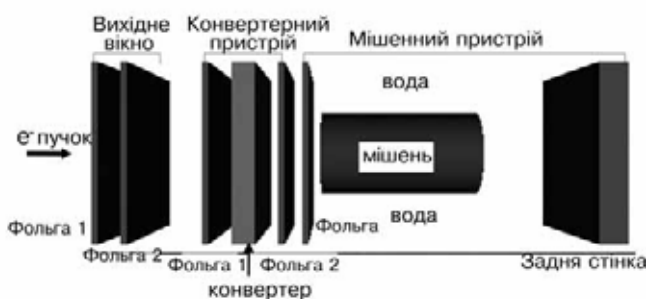


Рис.3. Схема розташування вихідних пристрій

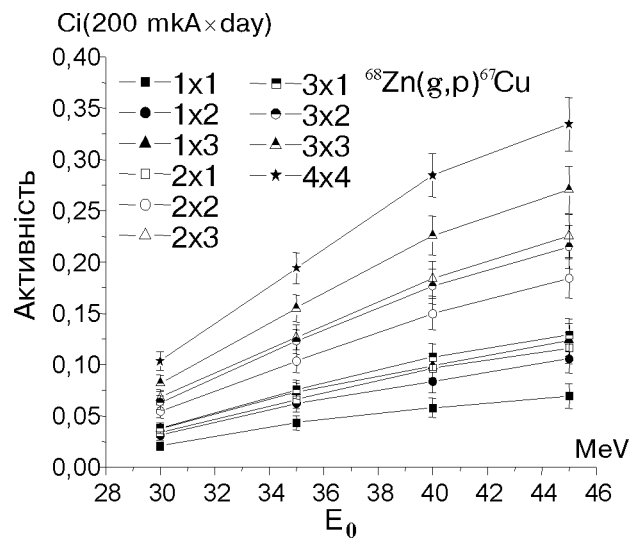


Рис.4. Активність різних мішень після роботи прискорювача зі струмом 200 мКА протягом доби

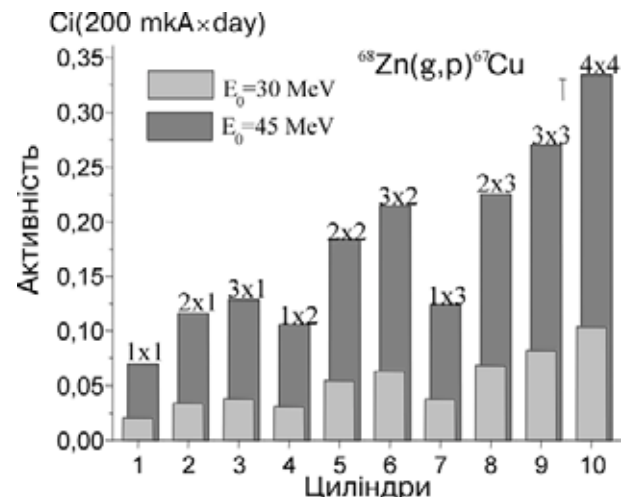


Рис.5. Порівняльна картина активності різних мішень при енергії електронів 30 і 45 МеВ після роботи прискорювача зі струмом 200 мКА протягом доби



























Отримані дані показали, що ознаки так званого «синдрому нетироїдної патології» (СНП) мали місце лише у 18 % дітей та підлітків, хворих на ЦД, хоч різні варіанти патологічних змін тироїдного гормонального профілю виявлялись у 68 % хворих.

Поряд з цим, дослідження рівня  $rT_3$ , підвищення якого вважають характерною ознакою СНП, показало, що у переважної більшості дітей та підлітків, хворих на ЦД, виявляється зниження цього показника (рис. 1), на фоні як підвищених, так і знижених рівнів периферичних тироїдних гормонів та ТТГ (рис. 2). При цьому найчастіше знижені рівні  $rT_3$  виявлялися в хворих із нормальними показниками  $fT_3$  ( $63,5 \pm 5,8 \%$ ) і підвищеними показниками  $fT_4$  ( $61,5 \pm 6,3 \%$ ).

Аналіз показників  $rT_3$  у досліджуваних з ознакою лабораторного гіпотирозу (зниження  $fT_3$  та/або  $fT_4$ ) виявив їх стабільно низькі значення та відсутність відмінностей рівня  $rT_3$  у осіб із супутнім підвищенням ТТГ ( $11,7 \pm 2,7 \text{ нг/дл}$ ) і нормальним рівнем ТТГ ( $10,7 \pm 1,4 \text{ нг/дл}$ ). Слід зауважити, що серед хворих дітей та підлітків з низькими рівнями одного чи обох периферичних тироїдних гормонів підвищено рівні  $rT_3$ , тобто справжній СНП, виявлено лише у 2 ( $1,6 \pm 1,5 \%$ ), нормальні показники  $rT_3$  — у 5

( $4,0 \pm 2,1 \%$ ), а знижені рівні, тобто справжній гіпотироз, — у 16 ( $12,7 \pm 2,7 \%$ ) осіб.

При цьому рівень ТТГ у дітей та підлітків із ЦД не може бути надійним маркером гіпотирозу (табл. 1.), очевидно, через порушення тироїдної регуляції в умовах метаболічних порушень.

Так, у досліджуваних з лабораторним гіпотирозом (зниження тироїдних гормонів та зниження  $rT_3$ ) рівень ТТГ підвищений мінімально ( $3,1 \pm 0,3 \text{ мМЕ/л}$ ) порівняно з показником ТТГ у хворих із СНП ( $4,7 \pm 1,3 \text{ мМЕ/л}$ ,  $p < 0,05$ ), а співвідношення  $fT_4/\text{TTG}$  у цій групі знижене ( $5,10 \pm 0,48$ ) порівняно з контролем — ( $6,42 \pm 0,47$ ),  $p < 0,05$ .

Співвідношення  $fT_3/fT_4$  у хворих з лабораторним гіпотирозом зменшено, тобто зсунути в бік накопичення  $fT_4$ , як на фоні нормального рівня  $rT_3$  ( $0,13 \pm 0,03$ ), так при його підвищенні ( $0,10 \pm 0,01$ ) порівняно з контрольним показником ( $0,23 \pm 0,01$ ,  $p < 0,05$ ).

Слід також зазначити, що співвідношення  $fT_3/rT_3$  як показник накопичення  $rT_3$ , було помітно знижене в хворих зі зниженими показниками  $fT_3$  та/або  $fT_4$  і підвищеним  $rT_3$ , тобто при СНП ( $0,07 \pm 0,02$ ), але подібні зміни спостерігалися і в групі хворих зі зниженими показниками  $fT_3$  та/або  $fT_4$  і нормальним рівнем  $rT_3$  ( $0,15 \pm 0,01$ ) порівняно з контрольним показни-

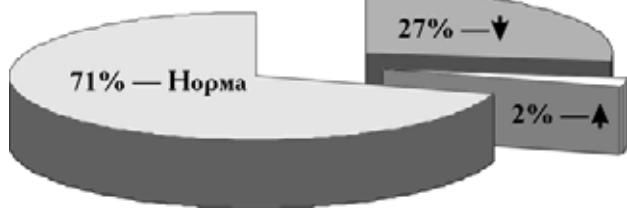


Рис. 1. Частота патологічних змін рівня реверсивного  $T_3$  у дітей та підлітків, хворих на ЦД: ↓ — зниження вмісту гормонів; ↑ — його підвищення

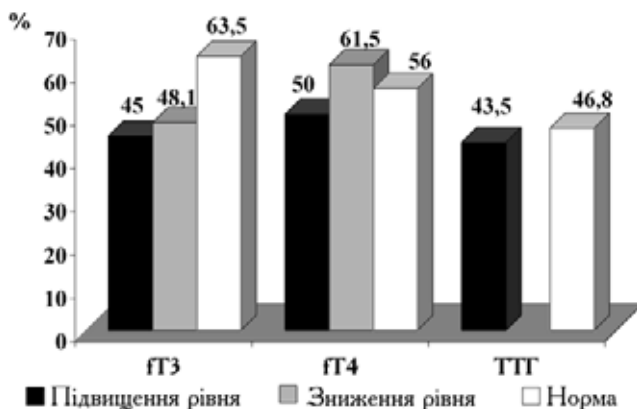


Рис. 2. Частота зниження рівня  $rT_3$  залежно від патологічних змін тироїдних гормонів і ТТГ у дітей та підлітків, хворих на ЦД

Таблиця 1

Тироїдні гормони залежно від рівня  $rT_3$  на фоні лабораторного гіпотирозу у дітей та підлітків, хворих на ЦД,  $M \pm m$

Група хворих	n	$fT_3$ , пмоль/л	$fT_4$ , пмоль/л	$rT_3$ , нг/дл	ТТГ, мМЕ/л	$fT_3/fT_4$	$fT_3/rT_3$	$fT_4/TTG$
↓ $fT_3$ і/або ↓ $fT_4$ і ↑ $rT_3$	2	$1,9 \pm 0,2 \#$	$15,6 \pm 0,6^* \#$	$25,5 \pm 1,5 \#$	$4,7 \pm 1,3^* \#$	$0,10 \pm 0,01 \#$	$0,07 \pm 0,02 \#$	$3,55 \pm 0,85$
↓ $fT_3$ і/або ↓ $fT_4$ і ↑ $rT_3$	16	$2,5 \pm 0,2 \#$	$13,4 \pm 1,0^* \#$	$8,6 \pm 0,5^* \#$	$3,1 \pm 0,3 \#$	$0,22 \pm 0,03$	$0,32 \pm 0,03$	$5,10 \pm 0,48$
↓ $fT_3$ і/або ↓ $fT_4$ і N ↑ $rT_3$	5	$2,3 \pm 0,2 \#$	$16,7 \pm 0,6$	$20,4 \pm 2,5$	$2,6 \pm 0,6$	$0,13 \pm 0,03$	$0,15 \pm 0,01$	$8,4 \pm 3,9$
Контроль	25	$3,7 \pm 0,1$	$16,6 \pm 0,5$	$20,5 \pm 2,5$	$1,6 \pm 0,3$	$0,23 \pm 0,01$	$0,23 \pm 0,01$	$6,42 \pm 0,47$

Примітка. ↓ — зниження вмісту гормонів; ↑ — його підвищення; N — нормальній рівень гормонів; вірогідність відмінностей:

\* —  $p < 0,05$  — відносно показників групи хворих із нормальним рівнем  $rT_3$ ; # —  $p < 0,05$  — показників контрольної групи.

ком —  $0,23 \pm 0,01$ ,  $p < 0,05$ ), що може відображати тенденцію до формування СНП у хворих на ЦД.

Отримані в попередніх дослідженнях результати та дані літератури [6, 7] відображують різноманітність взаємовідношень тироїдних гормонів і досліджуваних факторів (контрінсуларні гормони (СТГ та ін.), тирозв'язуючий глобулін (ТЗГ), цитокіни (IL, ФНО) та ін.), характер яких відрізняється залежно від тривалості та компенсації ЦД у дитячому віці. Для уточнення цих зрушень проведений регресійний аналіз. Регресійні рівняння оцінювали для трьох груп досліджуваних залежно від тривалості захворювання (менше 1 року, 1–5 років та понад 5 років). Такий розподіл хворих здійснювали в зв'язку із припущенням, що тип порушень тироїдної регуляції відрізняється у хворих у період маніфестації ЦД і максимуму метаболічних порушень та в осіб із тривалим перебігом хвороби, коли адаптаційні можливості виснажуються.

За допомогою покрокової регресійної процедури були відібрані значущі показники, одним з яких став глікозильований гемоглобін. При цьому досягнутий рівень значущості для коефіцієнтів регресії досліджуваних показників не перевищував 0,001, а коефіцієнт детермінації становив  $r^2 = 0,78 - 0,98$ .

$rT3 = 2,29HbA_1 + 0,53IL4 - 0,15IL6 + 0,09\PhiHO$  — тривалість ЦД менше 1 року,

$rT3 = 1,70HbA_1 + 2,23CTG - 0,30TCG$  — від 1 до 5 років,

$rT3 = 2,10HbA_1 - 0,23CTG - 0,19TCG - 0,05IL4 + 6,06\PhiHO$  — більше 5 років.

Проведений регресійний аналіз показав, що найбільш стабільно на рівень  $rT_3$  впливав  $HbA_1$ , що може вказувати на роль декомпенсації вуглеводного обміну у виявленій тенденції до зниження  $rT_3$  у дітей та підлітків, хворих на ЦД.

Отримані результати дозволяють припустити, що зниження рівня  $rT_3$  може бути наслідком порушення процесів дейодування тиронінів у периферичних тканинах на фоні метаболічних порушень при ЦД у дітей, а виявлені у них патологічні зміни тироїдного гормонального профілю у більшості випадків не можуть бути віднесені до синдрому нетироїдної патології, описаної для дорослих хворих із соматичною патологією.

Таким чином, ЦД 1-го типу у хворих дитячого віку супроводжується значним зниженням вмісту реверсивного  $T_3$  (у 72,0 % досліджуваних), незалежно від змін рівня периферичних тироїдних гормонів, що, можливо, зумовлене порушенням процесів їх дейодування на периферії та пов'язане з декомпенсацією вуглеводного обміну.

Виявлений у 68 % дітей та підлітків із ЦД дистироз не може бути віднесений до так званого «синдрому нетироїдної патології» через відсутність характерного для нього підвищення вмісту реверсивного  $T_3$  (виявляється лише у 2 % випадків).

### Література

- Будрєйко О.А. // Ендокринол. — 2005. — № 2, вип. 10. — С.166–172.
- Будрєйко О.А., Нікітіна Л.Д., Філіпова Н.В., Чумак С.О. Деякі аспекти діагностики дистирозу при цук-

ровому діабеті у дітей та підлітків // Експерим. та клінічн. ендокринологія: фундаментальні та прикладні питання (П'яті Данілевські читання): Матер.наук.-практ.конф. з міжнар. участю. — Харків, 2006. — С.26.

- Трошина А.В., Абдулхабирова Ф.М. // Пробл. эндокринол. — 2001. — Т. 47, №6. — С. 34–36.
- Буднєвський А.В., Грекова Т.И., Бурлачук В.Т. // Клин. тиреоол. — 2004. — Т. 2, №1. — С. 5–9.
- Браверман Л.И. Болезни щитовидной железы. — М., 2000. — 417 с.
- Теппермен Дж., Теппермен Х. Физиология обмена веществ и эндокринной системы. Вводный курс. — М.: Мир, 1989. — 656 с.
- Будрєйко О., Філіпова Н., Нікітіна Л., Чумак С. Дистироз та порушення функції печінки у дітей, хворих на цукровий діабет // Експериментальна та клінічна ендокринологія: від теорії до практики (Шості Данілевські читання). — Харків, 2006. — С. 26–27.

Д. І. Дзвевицький, О. В. Владимиров,  
Н. А. Кучеренко

Український державний НДІ медико-соціальних проблем інвалідності МОЗ України,  
Дніпропетровська обласна клінічна лікарня  
ім. І. І. Мечникова

### Радіонуклідна діагностика стану мікроциркуляції в глибоких тканинах голівки при компресійних синдромах, обумовлених хронічною венозною недостатністю нижніх кінцівок

### Radionuclide diagnosis of microcirculation in deep tissues of the leg at compression fractures due to chronic venous insufficiency of extremities

Із прогресуванням недуги у хворих на хронічну венозну недостатність нижніх кінцівок (ХВН) розвиваються порушення мікроциркуляції (МЦ), які стають причиною розвитку склеротичних змін шкіри та підшкірної клітковини — ліподерматосклерозу [1], поряд з чим формується склероз фасцій [2], що, як вважається, призводить до стиснення у фасціальних футлярах м'язів голівки, їх атрофії та жирової дистрофії, пов'язаних із ішемією й гіпоксією, а також порушення роботи усіх компонентів венозної помпи, що посилює флегбогіпертензію та тяжкість ХВН [3, 4]. Розвиток ліподерматосклерозу проявляється стійким підвищеннем тканинного тиску (ТТ), що розрізняється як хронічний стан — фасціокомпресійний синдром (ФКС) [3]. Деякі автори виділяють дві форми ФКС: першу, зумовлену склеротичним ураженням шкіри, підшкірної основи та фіброзом глибокої фасції голівки, та другу — «м'якотканинну», зумовлену циркулярним дерматоліофіброзом, причому, фіброз фасцій не є обов'язковим компонентом [5]. Але сучасні повідомлення не висвітлюють причин розвитку розладів нервово-м'язового апарату нижніх кінцівок [4, 6, 7]. У доступній літературі ми також не виявили даних щодо стану МЦ у глибоких тканинах нижніх кінцівок та її змін під впливом фізичного навантаження.

Таким чином, оцінка стану МЦ у глибоких тканинах гомілки надасть додаткову інформацію про причини розвитку й тяжкість функціональних порушень при ХВН та дозволить обґрунтувати вибір заходів медичної реабілітації у цих хворих.

Ми поставили за мету розробити спосіб прямої радіоізотопної діагностики ФКС і оцінити стан МЦ у глибоких тканинах гомілки та його зміни під впливом ортостатичного навантаження для визначення ролі факторів компресії у розвитку порушень МЦ у глибоких тканинах гомілки у хворих на ХВН.

Ми дослідили результати обстеження 15 хворих, у яких були виявлені ознаки ХВН на обох нижніх кінцівках, причинами розвитку якої у 7 (46,7 %) випадках була варикозна та у 3 (20,0 %) — післятромбофлебітична хвороба, у 5 (33,3 %) пацієнтів післяфлебітичне ураження однієї кінцівки поєднувалося з варикозною хворобою іншої. Серед обстежених було 5 жінок та 10 чоловіків, їх середній вік склав  $49,8 \pm 10,9$  року. Критеріями виключення з дослідження були артеріальна та лімфатична недостатність нижніх кінцівок і захворювання, які супроводжуються ураженням нервово-м'язового апарату нижніх кінцівок. Всім хворим проведено двобічне (30 кінцівок) комплексне інструментальне обстеження — ультразвукове дуплексне ангіосканування венозної системи нижніх кінцівок — на апараті HDI 1500 фірми ATL (США), визначення ТТ за методикою Т. Е. Whitesides (1975 р.) у модифікації В. І. Гайовича та співавт. (1992 р.) [7] та радіоізотопне дослідження МЦ у м'яких тканинах гомілки — на однофотонному емісійному томографі ГКС-301-Т («Тамара») за розробленим способом діагностики ФКС (деклараційний патент України на винахід №76060).

Для кількісної оцінки стану та змін МЦ під впливом ортостатичного навантаження ми розробили спосіб діагностики ФКС, позбавлений недоліків відомого способу оцінки МЦ за Lassen та співавт. [8]: малого об'єму внутрітканинного депо ізотопу, складності вірогідного визначення глибокої анатомічної структури, в яку вводиться ізотоп, використання високорадіотоксичного  $\text{NaI}^{131}$ , високої швидкості ре-

зорбції болюсу за рахунок значного збільшення тканинної перфузії під час фізичного навантаження [9], статичного характеру дослідження. Згідно із запропонованим способом у створене при вимірюванні ТТ депо ізотонічного розчину натрію хлориду вводили болюс розчину технечію- $^{99}\text{m}$ -пертехнетату активністю 10 МБк — по 1 мл. У такий спосіб було досягнуто уповільнення резорбції болюсу ізотопу із субфасціального депо рідини без його «розтікання» субфасціальним простором.

Реєстрацію проводили 1 кадр на 10 секунд на матрицю  $64 \times 64$ . Перший збір у стані функціонального спокою проводили протягом 10 хв. Потім хворий 30 хв ходив у повільному темпі, після чого аналогічно проводили другий збір. Для визначення кількісних показників швидкості резорбції болюсу обчислювали значення коефіцієнта елімінації ізотопу з тканинних депо (К) у двох дослідженнях за формулою

$$K = N_2/N_1 \cdot 100,$$

де  $N_2$  — кількість відліків у кінці збору,  
 $N_1$  — на початку збору.

Статистичну обробку даних проводили із застосуванням програмних пакетів EXCEL 2000 та Statistica 6.0. Вірогідність відмінностей і залежностей показників оцінювали із застосуванням непараметричних критеріїв Манна—Утні та Спірмена. Вірогідними вважали показники при критичному рівні значущості  $p < 0,05$ .

Результати інструментального обстеження були поділені на 3 групи спостережень залежно від тяжкості ХВН за класифікацією Є. Г. Яблукова (1999): 1-шу склали 8 кінцівок з 0 та I ступенем ХВН, 2-гу — 10 з II, 3-тю — 12 з III та IV ступенем. У всіх хворих сонографічно виявлено рефлюкс поверхневими та/або глибокими венами нижніх кінцівок у поєднанні з рефлюксом перфорантними венами гомілки, однак залежності клінічної тяжкості захворювання від характеру ураження венозної системи визначено не було.

Результати дослідження продемонстрували зростання ТТ, уповільнення резорбції болюсу у стані спокою та його прискорення після усунення впливу ортостатичної венозної гіпертензії під час фізичного

**Показники ТТ і K залежно від клінічної тяжкості ХВН, Me (25–75%)**

Показник	Група спостережень		
	I (n = 8)	II (n = 10)	III (n = 12)
ТТ у кліностазі, мм. рт. ст. *	10,00 (10,00–20,00)	30,00 (20,00–40,00)	30,00 (20,00–35,0)
p **		< 0,002	< 0,002
ТТ в ортостазі, мм рт. ст.	25,00 (20,00–35,00)	50,00 (40,00–60,00)	60,00 (50,00–70,00)
p **		< 0,005	< 0,0005
K у стані спокою	75,17 (71,17–83,27)	65,19 (40,25–71,86)	66,28 (60,11–75,34)
p **		< 0,01	< 0,05
K після навантаження	78,07 (69,11–80,87)	80,42 (77,12–90,05)	86,43 (82,36–89,07)
p **		> 0,05	< 0,005

\* Якщо ТТ при вимірюванні у кліностазі був меншим 20 мм рт. ст., для подальшої обробки цьому показнику присвоювали значення 10 мм рт. ст.; \*\* порівняно з 1-ю групою спостережень.

навантаження залежно від клінічної тяжкості захворювання (таблиця). Встановлено, що в міру прогресування ХВН значущі відмінності показників ТТ у кліно- та ортостазі спостерігалися порівняно з 1-ю групою спостережень, де вони не відрізнялися від нормальних показників [10]. При такому розподілі спостережень це може свідчити про те, що при тяжких формах ХВН відбувається декомпенсація патологічного впливу венозної гіпертензії на м'які тканини у вигляді їх стійкого набряку. При чому значуще прискорення швидкості резорбції болюсу при тяжких формах ХВН (II та III групи спостережень) у стані спокою можна пояснити компенсаторним посиленням МЦ у набряклих тканинах, у той час як значуще уповільнення резорбції болюсу у III групі спостережень свідчить про декомпенсацію МЦ у глибоких тканинах після фізичного навантаження. Відсутність значущих відмінностей швидкості резорбції болюсу після навантаження у II групі спостережень порівняно з I та III групами вказує на різноспрямований характер їх змін у таких хворих.

Вірогідність залежностей показників ТТ у кліностазі від К та характеру їх зв'язку у стані спокою ( $r = -0,47$ ,  $p < 0,01$ ) і в ортостазі та після навантаження ( $r = 0,59$ ,  $p < 0,001$ ) у сукупності спостережень свідчить про провідну роль набряку субфасціальних м'яких тканин, який посилюється під впливом фізичного навантаження, у розвитку порушень МЦ у глибоких тканинах гомілки.

Таким чином, результати проведеного дослідження вказують на те, що при ХВН розвиваються розлади МЦ у глибоких тканинах гомілки, які залежать від ступеня набряку тканин, спричиненого дією ортостатичної венозної гіпертензії. Вірогідна кореляція кількісних характеристик МЦ з показниками ТТ дозволяє вважати вплив ФКС однією з причин розвитку порушень МЦ у глибоких тканинах гомілки.

Розроблений спосіб діагностики фасціокомпресійного синдрому дозволяє кількісно оцінити стан мікроциркуляції у глибоких тканинах гомілки та його зміни під впливом фізичного навантаження при ХВН. Результати дослідження дають можливість визначити, що зміни мікроциркуляції у глибоких тканинах гомілки при ХВН зумовлені сукупною дією фасціокомпресійного синдрому та ортостатичної венозної гіпертензії.

Клініко-прогностичне значення змін мікроциркуляції у глибоких тканинах гомілки при ХВН, їх вплив на розвиток і прогресування розладів нервово-м'язового апарату нижніх кінцівок та пов'язаного з цим вибору лікувальної тактики потребують подальшого вивчення.

## Література

1. Stacey M. C., Burnand K. J., Bhogal B. S., Black M. M. // *Cardiol. Surg.* – 2000. – Vol. 8, № 5. – P. 372–380.
2. Ramelet A. A., Monts M. *Phlebology, the guide.* – Paris, France, 1999. – 384 p.
3. Schmeller W. Gmelin E., Rosenthal N. // *Phlebol. Proctol.* – 1989. – Bd. 18. – P. 175–181.
4. Wang Kun, Qiao Zhen-Rong, Shi De // *Clin. J. Bases and Clin. In Gen. Surg.* – 2002. – Vol. 9, № 1. – P. 53–55.
5. Дрюк Н.Ф., Чернуха Л.М., Фурманенко Е.Д. // *Клін. хірургія.* – 2002. – № 9. – С. 9–13.
6. Gozke E., Celebi D., Biber S. et al. // *Phlebology.* – 2005. – Vol. 20, № 3. – P. 127–131.
7. Wang Kun, Qiao Zhen-Rong, Shi De // *Clin. J. Gen. Surg.* – 2001. – Vol. 10, № 6. – P. 506–510.
8. Руководство по ядерной медицине / Под ред. Т. П. Сиваченко. – К.: Вища школа, 1991. – 356 с.
9. Агаджанян Н. А., Тель Л. З., Циркун В. И., Чеснокова С. А. *Физиология человека.* – М.: Мед. книга. – Н. Новгород: Изд-во НГМА, 2005. – 526 с.
10. Чернуха Л. М., Дрюк Н.Ф. *Трофічні виразки при захворюваннях вен нижніх кінцівок. Патогенез, діагностика, лікування: Метод. рекомендації.* – К., 2001. – 16 с.

## М.П. Дикий

Національний науковий центр «Харківський фізико-технічний інститут» НАН України

## Методи одержання ізотопів для радіотерапії на лінійних прискорювачах електронів з використанням Оже-електронів

### Methods of isotope production using linear electron accelerators for radiotherapy with Auger electrons

Сучасна ядерна медицина зробила значний крок вперед у зв'язку зі створенням техніки роботи з нуклеїновими кислотами, секвеструванням ДНК, оборотної транскрипції, ланцюгових реакцій полімераз, що дозволяє сподіватися на ефективне використання цих підходів для лікування багатьох захворювань, зокрема й злоякісних. Існують численні способи транспорту сполук до клітин. І найефективнішим у цьому випадку є застосування мічення сполук ізотопів, які мають великий питомі втрати енергії та малі пробіги.

Ще в 1926 р. Regand та Lacassagne [1] відзначали, що ідеальним агентом для ракової терапії має бути важкий елемент, здатний емітувати радіацію молекулярного розміру. Цей елемент необхідно направляти до організму і селективно фіксувати в протоплазмі клітини для її знищення. На даний момент це можна сформулювати таким чином, що оптимальним варіантом впливу на ракову клітину є введення радіоактивного ізотопу в ядро і руйнування ДНК мінімально можливим радіаційним впливом. Ефективним варіантом реалізації цього завдання є використання ізотопів, які розпадаються з випромінюванням Оже-електронів.

Питома ефективність використання енергії електронів у разі транспортування ізотопів у ядро клітини в 100–300 разів вище, ніж при традиційному опромінюванні злоякісної пухлини зовнішнім випроміненням або при використанні ізотопів зі значно більшими енергіями часток (гамма-випромінення, електрони) [2–10]. Можливими кандидатами для використання Оже-випромінювачів є такі ізотопи: галогени  $^{125}\text{I}$ ,  $^{123}\text{I}$ ,  $^{80\text{m}}\text{Br}$ ,  $^{77}\text{Br}$  та метали  $^{201}\text{Tl}$ ,  $^{195\text{m}}\text{Pt}$ ,  $^{193\text{m}}\text{Pt}$ ,  $^{114\text{m}}\text{In}$ ,  $^{111}\text{In}$ ,  $^{99\text{m}}\text{Tc}$ ,  $^{67}\text{Ga}$ ,  $^{55}\text{Fe}$ ,  $^{51}\text{Cr}$ . З цих ізотопів  $^{195\text{m}}\text{Pt}$  характеризується найвищим виходом Оже-електронів. Їх се-

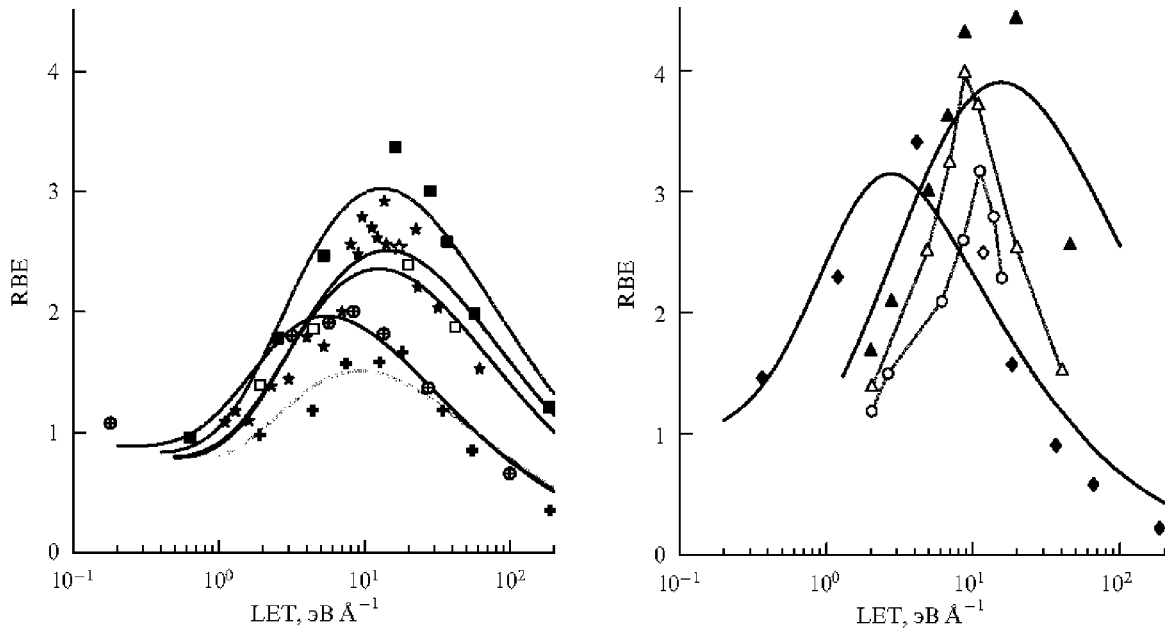


Рис.1. Відносна біологічна ефективність (RBE) залежно від ЛПЕ (LET) для різних типів опромінення при дії на різні органи і організми: ■, ⊕, Δ, ★ — клітини людини, □ — HeLa, + — CH2B<sub>2</sub>, ▲ — хом'яки V-79, ◆ — лімфоцити людини, Δ — легеня плода людини, ○ — CFU-S in vivo

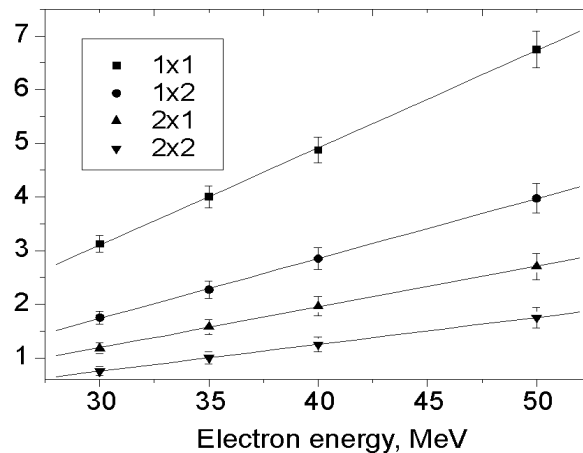


Рис. 2. Активність різних мішеней при насиченні залежно від енергії електронів пучка (струм 200 мкА). Символи — циліндричні мішенні з платини природного ізотопного складу (діаметр × висоту, см)

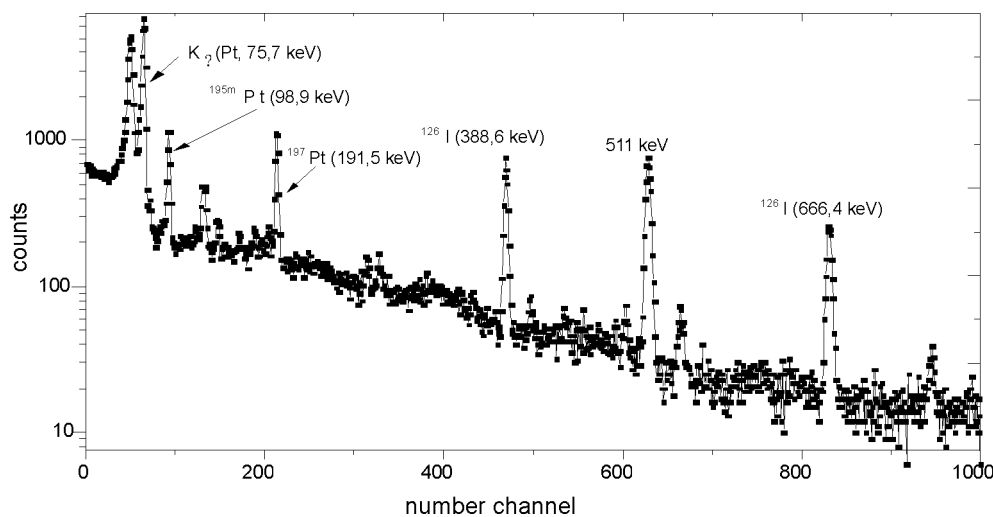


Рис. 3. Спектр гамма-випромінення радіоактивної цисплатини при енергії електронів 26 МeВ

редня кількість для  $^{195m}\text{Pt}$  становить 33 електрони, для  $^{125}\text{I}$  — 21, для  $^{123}\text{I}$  — 11, для  $^{111}\text{In}$  — 1,8.

Одним з найкращих ізотопів для радіотерапії можна вважати  $^{195m}\text{Pt}$ . Це зумовлене насамперед існуванням носія радіоактивної платини в ядро клітини — цисплатини. Найбільш інтенсивні електрони внутрішньої конверсії зумовлені MX<sub>Y</sub> Оже-електронами, що мають Е = 2,417 кеВ та становлять 3,22 на один розпад  $^{195m}\text{Pt}$ . Їх лінійна передача енергії (ЛПЕ) складає 9,5 кеВ/мкм, пробіг — 0,25 мкм. Тому для інкорпорованої молекули цисплатини пробіг Оже-електронів буде в межах ядра клітин. У таких же межах зупиняється LMM й LMХ Оже-електрони з енергіями 7,4 та 9,7 кеВ (0,8 і 0,52 на розпад  $^{195m}\text{Pt}$ , відповідно).

Виділення енергії електронів внутрішньої конверсії у сфері діаметром 5 нм при розпаді ізотопів становить для  $^{195m}\text{Pt}$  — 2000,  $^{125}\text{I}$  — 1000,  $^{123}\text{I}$  — 550,  $^{111}\text{In}$  — 450 еВ.

Можливим поясненням посиленої дії Оже-електронів є також значне підвищення відносної біологічної ефективності випромінення для значень лінійної передачі енергії 2–10 еВ/А. Таке значення ЛПЕ реалізується для більшості Оже-електронів від ізотопів, які, як передбачається, використовуватимуть у ядерній медицині (рис.1) [11].

Відразу з відкриттям дії цисплатини на злойкісні пухлини були розпочаті дослідження з її міченням радіоактивними ізотопами платини [12–15]. Але низька питома активність використовуваних ізотопів не дозволяла одержати істотних результатів з терапії злойкісних пухлин.

У цьому напрямку найбільших результатів досягли дослідники США [16], які шляхом використання потужностей найбільш інтенсивного реактора світу ( $2,5 \cdot 10^{15}$  нейтронів/см<sup>2</sup>с) при опромінюванні ізотопу  $^{193}\text{Ir}$  спромоглися одержати ізотоп  $^{195m}\text{Pt}$  з питомою активністю 60–80 мКі/мг.

Виробництво  $^{195m}\text{Pt}$  з високою питомою активністю можливе на циклотроні CV28 у реакції  $^{192}\text{Os}(\alpha, n)^{195m}\text{Pt}$ . При струмі 20  $\mu\text{A}$  і Е = 28 МеВ вихід  $^{195m}\text{Pt}$  на мішенні Os природного ізотопного складу становить 1 мКі/добу, що за продуктивністю поступається методам його одержання з використанням гальмівного випромінення прискорювачів електронів [17].

Використання потужнострумового прискорювача ННЦ ХФТІ для опромінювання платини природного ізотопного складу електронами з інтенсивністю 200  $\mu\text{A}$  и енергією 30 МеВ дозволяє одержати сумарну питому активність  $^{195m}\text{Pt}$  і  $^{193m}\text{Pt}$  7 мКі/мг (рис. 2). Для збагаченої мішенні платини-196 питома активність досягає 15 мКі/мг. Також можливе підвищення інтенсивності потоку електронів до 400–600  $\mu\text{A}$ . Це дозволяє одержати питому активність платини-195 при використанні збагаченої мішенні на рівні 40 мКі/мг, що тільки вдвічі поступається результатам дослідників США [16].

Безпосереднє опромінювання на реакторах лікарських форм цисплатини у вигляді розчину без знач-

них порушень її хімічної структури дозволяє одержувати питомі активності препаратів на рівні 30–80 Бк/мг [18]. При опромінюванні гальмівним випроміненням електронів кристалічної форми цисплатини одержано її питому активність до 2000 Бк/мг без значних порушень цілісності [19]. Спектр гамма-випромінення для даного випадку наведено на рис.3. Можна бачити, що синтез кристалічної цисплатини реалізувався з використанням хімічних сполук йоду.

Кардинальним вирішенням проблеми одержання  $^{195m}\text{Pt}$  з високою питомою активністю є використання ( $\gamma, \alpha$ ), ( $\gamma, \text{пр}$ ) реакцій на потужних прискорювачах електронів.

Питомі активності  $^{195m}\text{Pt}$  до 10 Кі·мг<sup>-1</sup> можуть бути реалізовані при використанні реакції  $^{199}\text{Hg}(\gamma, \alpha)^{195m}\text{Pt}$ . Виділення  $^{195m}\text{Pt}$  із ртуті здійснювали за допомогою електролізу. Вихід  $^{195m}\text{Pt}$  на лінійному прискорювачі електронів при струмі 200  $\mu\text{A}$  і Е = 30 МеВ становить близько 30 мКі/добу на ртутній мішенні природного ізотопного складу.

У НДК «Прискорювач» ННЦ ХФТІ розроблено метод одержання ізотопу платини  $^{195m}\text{Pt}$  у реакції  $^{197}\text{Au}(\gamma, \text{пр})^{195m}\text{Pt}$  на лінійному прискорювачі електронів з енергією 34 МеВ, струмом 200 мкА. Як мішень використовували зразок золота 1 г (99,9%). Розроблено технологію виділення  $^{195m}\text{Pt}$  з мішенні цього металу за допомогою екстракції етилацетатом. Реалізовано синтез цисплатини з одержаного радіоактивного ізотопу  $^{195m}\text{Pt}$ . Проведені попередні експерименти щодо дії радіоактивної цисплатини на пухлини у тварин дозволяють твердити про перспективність її застосування у медичних закладах України. Вихід  $^{195m}\text{Pt}$  на лінійному прискорювачі електронів при струмі 400 мА і Е = 30 МеВ може складати близько 50 мКі/добу.

Отже, в НДК «Прискорювач» ННЦ ХФТІ розроблені технології одержання ізотопу  $^{195m}\text{Pt}$  — одного з найефективніших Оже-випромінювачів для ядерної медицини з використанням наступних ядерних реакцій  $^{197}\text{Au}(\gamma, \text{пр})^{195m}\text{Pt}$ ,  $^{199}\text{Hg}(\gamma, \alpha)^{195m}\text{Pt}$ . Експериментальні дослідження дії радіоактивної цисплатини на пухлини у тварин показали можливість значного зниження дози препаратів на основі платини і, відповідно, зменшення її токсичної дії.

## Література

1. Regaud C., Lacassagne A. // Radiophysiol. Radiother. — 1927. — Vol. 4. — P. 95–116.
2. Feinendegen L.E. // Radiat. Environ. Biophys. — 1975. — Vol. 12. — P. 85–99.
3. Adelstein S.J. Kassis A.I. // Nucl. Med. Biol. — 1987. — Vol.14. — P. 165–169.
4. Kassis A.I., Adelstein S.J., Haycock C.K. et al. // Radiat. Res. — 1982 . — Vol. 90. — P 362–373.
5. Waliska M.A., Adelstein S.J., Kassis A.I. // Int. J. Radiat. Biol. — 2001. — Vol. 77. — P. 625–630.
6. Dadachova E., Howell R.W., Bryan R.A., Frenkel A., Nosanchuk J.D., Casadevall A. // Rad. Susceptibil. Hum. Pathogens. — 2004. — Vol. 45, № 2. — P. 313–320.
7. Xue L.Y., Butler N.J., Makrigiorgos G.M., Adelstein S.J., Kassis A.I. // Proc. Natl. Acad. Sci. USA. — 2002.— Vol. 99, № 21. — P. 13765–13770.
8. Hall E.J., Mitchell S., Brenner D.J. // Radiat. Res. — 2004. — Vol.161. — P. 117–118.

9. Zhou H., Randers-Pehrson G., Suzuki M., Waldren C.A., Hei T.K. // Radiat. Prot. Dosim. — 2002. — Vol. 99. — P. 227–232.
10. Zhou H., Suzuki M., Geard C.R., Hei T.K. // Mutat. Res. — 2002. — Vol. 499. — P. 135–141.
11. Быков В.М., Степанов С.В. // УФН. — 2006. — Т. 176, № 5. — С. 487–506.
12. Lange R.C., Spencer R.P., Harder H.C. // J. Nucl. Med. — 1972. — Vol. 13. — P. 328–330; 1973. — Vol. 14. — P. 191–195.
13. Wolf W., Manaka R. // J. Clin. Hemat. Oncol. — 1977. — Vol. 7. — P. 79–94.
14. Wolf W., Manaka R., Leh F. // Ibid. — P. 741–755.
15. Smith P.H.S., Taylor D.M. // J. Nucl. Med. — 1974. — Vol. 15. — P. 349–351.
16. F.F. Knapp Jr. et al. // J. Radioanal. Nucl. Chem. — 2005. — Vol. 263. — P. 503–515.
17. Progress report on nuclear data research in the Federal republic of Germany // Forschungszentrum Juilich GmbH, Juilich, FRG, 2005. — 81 p.
18. Leal A.S., Junior A.D.C., Abrantes F.M., de B.C. Menezes M.A., Ferras V., Cruz T.S., Cardoso V.N., de Oliveira M.C. // Appl. Radiat. Isotop. — 2006. — Vol. 64, № 2. — P. 178–181.
19. Дикий Н.П., Довбня А.Н., Ляшко Ю.В., Медведева Е.П., Медведев Д.В., Уваров В.Л. // Тез. докл. 56 Межд. конф. по проблемам ядерной спектроскопии и структуре атомного ядра «Ядро-2006». — Саров, 2006. — С. 288.

Г.А. Зубкова, В.В. Марков, Є.В. Луцицький,  
В.М. Славнов, В.М. Рибальченко

ДУ «Інститут ендокринології та обміну речовин ім. В.П. Комісаренка АМН України»,  
Київ

## Використання радіоімунологічних методів дослідження для оцінки функціонального стану ендокринних залоз у хворих на цукровий діабет типу 2 з метаболічним синдромом

### The use of radioimmune study for assessment of the functional state of endocrine glands in patients with type 2 diabetes mellitus and metabolic syndrome

Метаболічний синдром — це симптомокомплекс поєднаних між собою патологічних станів (інсульнорезистентності, ожиріння, порушення вуглеводного і ліpidного обміну, артеріальної гіпертензії). Метаболічному синдрому (МС) належить провідна роль у патогенезі розвитку цукрового діабету ЦД 2-го типу (ЦД-2).

Резистентність периферичних тканин до дії інсуліну вважають центральною ланкою патогенезу ЦД-2, порушення толерантності до глукози є однією з патогенетичних характеристик ожиріння, яке розглядають як зв'язок між інсульнорезистентністю та ЦД [1–3]. Дані літератури свідчать, що збільшення маси тіла прямо пов'язане з ризиком розвитку цілої низки захворювань. Так, ризик розвитку ЦД-2 вдвічі збільшується при ожирінні I ступеня, і в 5 разів — при II, в 10 — при III–IV ступені. Крім того, відомо, що близько 80 % хворих на ЦД-2 страждають на ожиріння [4, 5].

Сьогодні близько 7 % дорослого населення світу мають цю патологію. За даними австралійських дослідників, частота метаболічного синдрому досягла 30 % популяції. Експерти ВООЗ прогнозують, що до 2025 року кількість таких людей збільшиться вдвічі [4, 5]. Ожиріння — результат тривалого порушення енергетичного балансу, коли надходження енергії в організм з їжею перевищує його енергетичні витрати. Важливо складовою механізмів патогенезу ожиріння є власне жирова тканина, якій притаманні ауто- і паракринна функції.

Речовини, що виділяються жировою тканиною, справляють різноманітну біологічну дію і можуть впливати на активність метаболічних процесів у тканинах і різних системах організму або безпосередньо, або опосередковано через нейроендокринну систему, взаємодіючи з гормонами гіпофіза, катехоламінами, інсуліном. Суттєву роль у ожирінні відіграє порушення функціонального стану ендокринних залоз. Водночас дані літератури стосовно рівня гормонів у таких хворих неоднозначні.

Метою нашого дослідження було визначити рівень інсуліну, кортизолу, альдостерону, АКТГ, СТГ у хворих даного контингенту із МС.

Обстежено 124 пацієнти віком 40–65 років з ЦД-2 і МС з тривалістю захворювання 0,5–12 років (МС і ожиріння I ступеня — 28; МС і ожиріння II–III ступеня — 25; МС і ЦД-2 середньотяжкі — 27; МС і ЦД-2, тяжка форма — 20; ця ж недуга без МС — 24). До контрольної групи увійшли 20 умовно здорових донорів відповідної вікової категорії. Обстежені не мали тяжких діабетичних ангіопатій, перенесених раніше вірусних гепатитів та алкоголізму.

Концентрацію гормонів у сироватці крові визначали радіоімунологічним методом за допомогою наборів фірми Immunotech (Чехія).

У результаті проведених досліджень встановлено, що рівень інсуліну був вірогідно підвищений у групах пацієнтів з МС та ожирінням II–III ступеня, МС і ЦД-2 середньотяжкої і тяжкої форми. У хворих із МС та ожирінням I ступеня і пацієнтів із ЦД-2 невеликої тривалості вірогідних змін концентрації інсуліну у сироватці крові не спостерігалося. Середній рівень кортизолу у крові був підвищений лише у пацієнтів із МС та ЦД-2 середньотяжкої і тяжкої форми. Середня концентрація альдостерону так само була підвищена тільки у групах пацієнтів із МС та ЦД-2 середньотяжкої і тяжкої форми захворювання. Тобто спостерігаються однонаправлені зміни продукції кортизолу і альдостерону в обстежених нами групах. Середній рівень АКТГ був вірогідно підвищений у хворих на МС з ожирінням II–III ступеня, МС та ЦД-2 середньотяжкої і тяжкої форми. Середній рівень СТГ крові був вірогідно знижений у всіх групах обстежених пацієнтів за винятком групи із МС та ожирінням I ст (таблиця).

Інсульнорезистентність у хворих на МС та ЦД-2 компенсується надмірною продукцією  $\beta$ -клітинами інсуліну, що підтримує нормоглікемію. Тому гіперінсульніемія, яку ми спостерігали у хворих на МС з

**Рівень інсуліну, кортизолу, СТГ, АКТГ та альдостерону у хворих на ЦД-2 із МС**

Група обстежених	Інсулін, мкОД/мл	Кортизол, нмоль/л	АКТГ, пмоль/л	СТГ, нмоль/л	Альдостерон, пмоль/л
Контрольна група, n = 22	10,9 ± 1,2	330,2 ± 26,4	12,32 ± 0,9	3,5 ± 0,4	380,5 ± 21,4
МС (ожиріння I ст.), n = 28	13,2 ± 1,0 p > 0,05	346,8 ± 18,2 p > 0,05	14,3 ± 0,9 p > 0,05	2,4 ± 0,32 p > 0,05	401,9 ± 22,6 p > 0,05
МС (ожиріння II-III ст.), n = 25	16,4 ± 0,8 p < 0,05	362,6 ± 26,2 p > 0,05	16,4 ± 2,3 p < 0,05	2,0 ± 0,2 p < 0,05	453,9 ± 24,7 p > 0,05
ЦД типу 2	12,2 ± 3,2 p > 0,05	349,6 ± 29,2 p > 0,05	15,9 ± 1,2 p > 0,05	1,9 ± 0,1 p < 0,05	501,7 ± 2,2 p > 0,05
МС + ЦД-2 (середня тяжкість) n = 27, тривалість ЦД 3,29 ± 0,9 років	17,4 ± 0,9 P < 0,05	418,6 ± 9,1 p < 0,05	16,3 ± 2,3 p < 0,05	1,5 ± 0,2 p < 0,05	454,8 ± 25,6 p < 0,05
МС + ЦД-2 (тяжка форма) n = 20, тривалість ЦД 7,3 ± 1,2 років	16,9 ± 1,4 p < 0,05	437,6 ± 25,8 p < 0,05	16,7 ± 2,3 p < 0,05	1,4 ± 0,4 p < 0,05	562,4 ± 34,6 p < 0,05

Примітка. Р –порівняно з групою умовно здорових людей (контрольна група).

ожирінням II–III ступеня, прирівнюється до маркерів інсулінерезистентності та вважається провісником початку ЦД. За даними літератури, в подальшому, при зростанні ступеня інсулінерезистентності, β-клітини невозможні компенсувати гіперглікемію, що призводить до їх виснаження [6–9]. Можна припустити, що у хворих на ЦД-2 з МС підвищений рівень інсуліну може спостерігатись довгі роки, а тривалість цього періоду залежить від того, наскільки довго β-клітини можуть секретувати достатню кількість інсуліну для подолання резистентності.

Отримані нами дані з вивчення рівня гормонів підтверджують нейроендокринну теорію розвитку інсулінерезистентності, запропоновану В.А. Алмазовим із співавт. [10]. В її основі лежить вікове підвищення активності гіпоталамуса, переважно системи АКТГ–кортизол, що призводить до помірного перманентного надлишку кортизолу. Останній стимулює кортизол-залежну ліпопротеїдліпазу на капілярах жирових клітин верхньої половини тулуба, черевної стінки та вісцерального жиру, що призводить до збільшення його відкладення, розвитку гіпертрофії жирових клітин і адипозного ожиріння. За даними літератури, у частини хворих на ЦД-2 виявлено підвищення рівня АКТГ та кортизолу. Вираженість змін зростала із збільшенням тривалості захворювання. Кортизол уповільнює перебіг запальних процесів, гальмує імунні реакції, що сприяє хронізації запального процесу [11].

Підвищений рівень альдостерону корелює з артеріальною гіпертензією, яка також є складовою МС.

Відомо, що СТГ стимулює фагоцитарну активність лейкоцитів, викликає активацію всіх типів фагоцитів, збільшує продукцію пероксид-аніону та проліферативну активність лімфоцитів, є одним з ключових факторів підвищення активності альдегідоксідаз. Зниження базального рівня СТГ у крові виявлено у хворих на ЦД-2. Зафіковано вірогідну кореляцію між рівнем СТГ і показниками метаболізму глукози у хворих на ЦД-2 та у здорових. Перебіг тяжких соматичних захворювань супроводжується зміною стану гіпоталамо-гіпофізарної системи з виникненням катаболічного стану: зниженням вмісту СТГ у поєднанні з гіпотирозом, гіпогонадизмом, гіпокортицизмом [12].

## Література

1. Аметов А.С. // Тер. архів. — 2002. — Т. 74, № 10. — С. 5–7.
2. Целуйко В.И., Чернишов В.А., Малая Л.Т. Метаболический синдром. — Хар'ков: Гриф, 2002. — 248 с.
3. В.Г.Науменко // Ліки Україн. — 2003. — Т. 75, № 10. — С. 21–24.
4. Тронько М.Д., Луцицький Є.В., Паньків В.І. Ендокринні аспекти метаболічного синдрому. — Київ — Чернівці, 2005. — 185 с.
5. Мітченко О.І. // Нова мед. — 2004. — Т. 3, № 14. — С. 20–24.
6. Reaven G.M. // J.Clin. Endocrinol. & Metabol. — 2003. — Vol. 88, № 6. — P.2399–2403.
7. Reaven G.M. // Diabet. Care — 2004. — Vol. 27. — P. 1011–1012.
8. Osei K., Rhinesmith S., Gaillard T., Schuster D. // Afric. Americ. Diabet. Care. — 2004. — Vol. 27. — P. 1439–1446.
9. DeFronzo R.A., Simonson D.C., Del Prato S. // Diabet. — 1985. — Vol. 34. — P. 87A.
10. Алмазов В.А., Благосклонная Я.В., Шляхто Е.В. и др. // Тер.архів. — 1999. — № 10. — С. 18–22.
11. Красильникова Е.И., Алмазов В.А., Благосклонная Я.В. // Клин. мед. — 1996. — № 8. — С. 40–43.
12. Балаболкін М.І. Эндокринология. — М.: Універсум паблішинг, 1998. — 352 с.

О.В. Копилова, О.А. Степаненко,  
С.К. Гаєва, К.В. Грищенко

Науковий центр радіаційної медицини  
АМН України, Київ

**Особливості функціонування  
гіпоталамо-гіпофізарно-тироїдної  
системи у дітей з пубертатним  
диспітітаризмом, народжених  
від учасників ліквідації наслідків  
катастрофи на ЧАЕС**

**The function of hypothalamo-  
hypophyse-thyroid system in children  
with pubertate dyspituitarism born  
from participants of Chernobyl accident  
clean-up**

Оцінка стану тироїдної системи дітей, народжених від опромінених радійодом та іншими радіонуклідами батьків унаслідок катастрофи на ЧАЕС, має суттєве значення для розуміння можливих наслідків у

розвитку ендокринної патології. Тривалі спостереження за дітьми, які народилися в сім'ях учасників ліквідації катастрофи на ЧАЕС, свідчать про високу частоту захворювань щитоподібної залози (ЩЗ) (45,3 проти 28,8 % у дітей неопромінених осіб) [1–4]. У значної частині даної категорії обстежуваних виявляли відносну функціональну недостатність ЩЗ, прояви пубертатного диспітуїтаризму, що може бути зумовлено певними нейроендокринними розладами на рівні гіпоталамо-гіпофізарно-тироїдної системи, коли порушується синхронність дозрівання ядер гіпоталамуса, що призводить до тривалої неритмічної стимуляції передньої долі гіпофіза та підвищення секреції тропних гормонів. Відповідно виникає гіперстимуляція функції органів мішеней, що стає основою розвитку дисрегуляторних розладів пубертатного періоду і може призводити до маніфестації порушень сомато-статевого розвитку [5, 6].

В період становлення репродуктивної функції у цих дітей спостерігається прискорене дозрівання з більш ранньою появою вторинних статевих ознак і частішими розладами менструальної функції. Аналіз результатів гормональних досліджень показав збільшення частоти прискорення процесів статевого дозрівання та зрілості кісткової системи [7].

Метою дослідження стало вивчення впливу опроміненої ЩЗ батьків — учасників ліквідації наслідків катастрофи на ЧАЕС йодного періоду на формування тироїдної патології та порушень сомато-статевого розвитку у їх нащадків з проявами пубертатного диспітуїтаризму.

В досліженні брали участь 172 дітей віком 12–17 років, які народилися від учасників ліквідації наслідків катастрофи на ЧАЕС. Проводилося клінічне обстеження, визначався вміст гормонів у сироватці крові — тиротропний гормон гіпофіза (ТТГ), вільний тироксин (FT4), гонадотропіни (ЛГ, ФСГ) з використанням РІА-тест наборів фірми "Immuno-tech" (Прага) на апараті гамма-лічильник "Berthold" (Австрія). Вивчалися резервні можливості гіпоталамо-гіпофізарно-тироїдної системи на підставі прове-

дення функціональної проби з тироліберином. Вміст ТТГ в сироватці крові визначали до проведення навантажувальної проби з тироліберином та через 30 і 60 хвилин після його внутрівенного введення. Використовували реагент "Relefact TRH 200" — синтетичний тиротропін-релізинг-гормон фірми-виробника Hoechst Marion Roussel. Кількість реагента для введення обчислювали з розрахунку 1 мкг TRH на 1 кг маси тіла пацієнта. Фізичний розвиток оцінювали за допомогою таблиць стандартів фізіологічних вікових коливань для дітей України, статевий розвиток — за ступенем розвитку вторинних статевих ознак згідно з класифікацією Таннера з використанням таблиць вікових нормативів. Ультрасонографію ЩЗ та гонад проводили на апараті "Logiq-100". Статистичну обробку отриманих даних виконували з використанням критерію Стьюдента.

При клінічному обстеженні захворювання ЩЗ виявлені у 36,0 %, гіпоталамічний синдром пубертатного періоду — у 40,2 % дітей, які народилися від учасників ліквідації наслідків катастрофи на ЧАЕС. Визначені різні прояви дисфункції високочутливих структур гіпоталамо-гіпофізарно-тироїдної та гіпоталамо-гіпофізарно-гонадної систем: ожиріння I–II ступеня встановлено у 62,0 % дітей, поява множинних стрій на шкірі грудей, плечей, живота та стегон — у всіх обстежених, асиметрія артеріального тиску між правою і лівою рукою (до 10–15 мм рт.ст.) — у 30,0 % осіб, порушення оваріально-менструального циклу — у 18,0 % дівчинок, пубертатна гінекомастія — у 14,0 % хлопчиків.

Рівень фізичного розвитку, що відповідає нормативним коливанням, визначено у 71,0 % осіб, затримку — у 5,8 %, випередження — у 23,2 %. Такий великий відсоток дітей з прискоренням фізичного розвитку може бути пов'язаний з відносним посиленням секреції СТГ і бути непрямою ознакою напруження адаптаційно-компенсаторних механізмів у пубертатному періоді.

Індекс статевого дозрівання за Таннером у 73,6 % дівчинок варіював у межах вікових нормативних ко-

Таблиця 1

*Результати визначення гонадотропної функції гіпофіза у дітей, народжених від учасників ліквідації наслідків катастрофи на ЧАЕС*

Група спостереження	Показник	ЛГ, мМЕ/мл	ФСГ, мМЕ/мл
Діти без проявів пубертатного диспітуїтаризму	п, М ± м	21, 1,82 ± 0,11*	21, 2,04 ± 0,08*
Діти з проявами пубертатного диспітуїтаризму	п, М ± м	36, 0,43 ± 0,16	36, 1,09 ± 0,29

Примітка. \* — вірогідні відмінності ЛГ,  $p < 0,05$ ; \* — вірогідні відмінності ФСГ,  $p < 0,05$ .

Таблиця 2

*Результати проведеної проби з тироліберином у дітей, народжених від учасників ліквідації наслідків катастрофи на ЧАЕС*

Група спостереження	Показник	Вміст ТТГ в сироватці крові, мОд/л		
		до проби	через 30 хв	через 60 хв
Діти без проявів пубертатного диспітуїтаризму	п, М ± м	18, 1,82 ± 0,19	18, 9,54 ± 0,21	18, 5,00 ± 0,18
Діти з проявами пубертатного диспітуїтаризму	п, М ± м	34, 3,43 ± 0,26	34, 21,69 ± 0,29*	34, 12,00 ± 0,27*

Примітка. \* — вірогідні відмінності ТТГ,  $p < 0,05$ .

ливань, відставання відмічалось у 7,0 %, випередження — у 19,4 %.

При ультрасонографії гонад дівчинок 14–17 років зменшення розмірів матки та яєчників виявлено у 13,7 % у порівнянні із нормативними показниками. Неоднорідність ехоструктури яєчників відзначена у 5,2 %, ущільнення капсули — у 12,9 %. У 4,6 % обстежених хлопчиків визначено зменшення об'єму гонад та зміни їх структури (розширення судин, потовщення стінок, помірна кількість рідини та кісти придатків). Ці зміни частіше зустрічалися у дівчинок і хлопчиків з верифікованим діагнозом гіпоталамічний синдром пубертатного періоду, що підтверджує висновки інших авторів [8] про те, що дискоординація функції гіпоталамо-гіпофізарно-гонадного комплексу може проявлятися тенденцією до зменшення розмірів, частим виявленням гіпоехогенних утворень та мікрофолікулярною структурою яєчників.

Ультразвукове обстеження ІЦЗ показало збільшення її об'єму у кожній третьої дитини. У 57,0 % осіб відзначалися зміни в ехоструктурі у вигляді скучень гідрофільних включень, лінійних або точкових ехопозитивних включень, прошарків фіброзу.

При гормональному обстеженні дітей з проявами пубертатного диспітуїтаризму порушення функції ІЦЗ не виявлено. Базальний рівень ТТГ у всіх дітей, народжених від учасників ліквідації наслідків катастрофи на ЧАЕС, був у межах нормативних коливань і становив  $2,42 \pm 0,17$  мОд/л, рівень FT4 —  $16,6 \pm 0,41$  нмоль/л.

Визначення гонадотропної функції гіпофіза за рівнем лютейнізуючого (ЛГ) та фолікулостимулюючого (ФСГ) гормонів у сироватці крові показало, що має місце зниження їх у дітей з проявами пубертатного диспітуїтаризму (табл.1).

Основною причиною девіації темпів статевого розвитку у цих дітей можна вважати зміну гіпоталамічної регуляції гонадотропної функції гіпофіза, зокрема, порушення фізіологічного співвідношення ЛГ/ФСГ, особливо в осіб з проявами пубертатного диспітуїтаризму. У досліджуваних дівчинок частіше відзначалося порушення менструального циклу, в тому числі — розвиток ановулаторного циклу. Можливо, це зумовлюється відносною гіперестрогенемією внаслідок посиленої конверсії андрогенів в естрогени в адигоцитах, зниженням рівня прогестерону, порушенням секреції ЛГ. Такі гормональні зміни призводять до розвитку склерокістозу яєчників з порушенням репродуктивної функції у подальшому.

Для визначення резервів гіпоталамо-гіпофізарно-тироїдної системи у дітей з захворюваннями ІЦЗ та із проявами пубертатного диспітуїтаризму проводилася навантажувальна проба з тироліберином.

У дітей без проявів пубертатного диспітуїтаризму з наявним дифузним нетоксичним зобом ІА–ІБ ст. без структурних змін у ІЦЗ в результаті проведеної навантажувальної пробы з тироліберином вміст ТТГ в сироватці крові підвищувався в 3–5 разів відносно базального рівня. В группі дітей з верифікованим діаг-

нозом хронічного тироїдиту без маніфестних клінічних проявів порушення функції ІЦЗ — в 7–8 разів. Гіперсекреторна реакція виявлена у 18,7 % дітей з маніфестною формою хронічного тироїдиту. Результати наведені в табл. 2.

В группі дітей з пубертатним диспітуїтаризмом при наявності захворювань ІЦЗ, а саме: дифузним нетоксичним зобом ІА–ІБ ступеня — рівень ТТГ після навантажувальної пробы з тироліберином підвищувався в 5–6 разів по відношенню до базального. У дітей з маніфестною формою хронічного тироїдиту — відмічалося найбільш значне збільшення рівня ТТГ — в 8–10 разів, що свідчило про наявність гіперсекреторної реакції у 52,9 % обстежених.

При порівнянні результатів проведеної тироліберинової пробы у дітей, які народилися від учасників ліквідації наслідків катастрофи на ЧАЕС з наявними ознаками пубертатного диспітуїтаризму та без них, виявлені вірогідні розбіжності. Це підтверджує наші припущення, а саме, що нейроендокринні розлади на рівні гіпоталамо-гіпофізарної системи призводять до появи проліферативних процесів у ІЦЗ, зниження її функції та опосередковано сприяють порушенням соматостатевого розвитку дітей.

Результати проведених досліджень обґрунтують прогнозування розвитку тироїдної патології у дітей, народжених від батьків з опроміненою щитоподібною залозою.

Таким чином, виявлені девіації пубертату, які проявляються збільшенням частоти розвитку гіпоталамічного синдрому пубертатного періоду, повільним становленням менструального циклу на фоні відносного зменшення розмірів яєчників, зміни їх ультраструктурі та зниження ехогенності, можуть бути наслідком порушень нейроендокринної регуляції функцій організму дітей під впливом чинників як радіаційної, так і нерадіаційної природи.

У дітей з проявами пубертатного диспітуїтаризму та маніфестною формою хронічного тироїдиту зміни в гіпоталамо-гіпофізарно-тироїдній системі найбільш виражені, що підтверджується частотою виявлення гіперсекреторної реакції (52,9 %), у відповідь на введення тироліберину, і свідчать про наявність прихованого гіпотирозу.

Дисрегуляторні зрушенні в гіпоталамо-гіпофізарно-тироїдній системі можуть викликати гіперпродукцію не тільки тироліберину, але й інших ліберінів. Це призводить до дисгормональних змін не тільки в ланці гіпофіз—щитоподібна залоза, але й в гіпоталамо-гіпофізарно-гонадній системі, що сприяє порушенню сомато-статевого розвитку дітей, народжених від батьків, які постраждали внаслідок катастрофи на ЧАЕС.

## Література

- Степанова Е.И., Кондрашова В.Г., Вдовенко В.Ю. и др. // Сб.: Медицинские последствия аварии на Чернобыльской атомной станции. — К.: Медэкол, 1999. — Кн.2. — С. 23–31.
- Коренев М.М., Бориско Г.О., Камарчук Л.В. // Ендокринол. — 2001. — Т. 6. — С. 211–212.

3. Боярська О.Я., Копилова О.В., Степаненко О.А. та ін. // УРЖ — 2005. — Т. XIII, вип. 3. — С. 453–455.
4. Коренев М.М., Левенець С.О., Бориско Г.О. та ін. // УРЖ. — 2006. — Т. XIV, вип. 4. — С. 29–33.
5. Плехова Е.И., Костенко Т.П. // Ендокринол. — 2006. — Т.11. — С. 266.
6. Терещенко А.І. // Педіатр., акушер. та гінекол. — 2004. — № 4. — С. 26–28.
7. Костенко Т.П. // Зб.: Актуальні питання ендокринології дітей та підлітків. — Харків, 2004. — С. 45–46.
8. Верхочанова О.Г., Левенець С.А., Кашикала Д.А. // Там же. — С. 19–20.

П.О. Король, О.М. Косяков,  
Н.В. Шинкаренко, Д.В. Левінський

Київська міська клінічна лікарня №12

## Роль остеосцинтиграфії з $^{99m}$ Tc-пірофосфатом при ревізійному ендопротезуванні кульшових суглобів

### The role of bone scan with $^{99m}$ Tc-ruthrophosphate at revision femur joint grafting

Ревізійне ендопротезування кульшових суглобів (КС) при їх патологічній нестабільноті останнім часом є актуальним провідним методом ортопедичної корекції. Для виявлення та підтвердження патологічного процесу в КС досі використовували лише прямільне рентгенологічне дослідження даних ділянок.

Метою нашої роботи стало вивчення ролі остеосцинтиграфії з  $^{99m}$ Tc-пірофосфатом у визначені наявності та ступеня запалення у КС, метастатичного ураження тощо у пацієнтів, що підлягають ревізійному ендопротезуванню цих суглобів, та визначення критеріїв операбельності.

Остеосцинтиграфію як сучасний радіодіагностичний метод використовують у таких випадках:

для візуалізації скелетогенних і кістковомозкових пухлин різного генезу;

визначення осередків метастатичного ураження скелета та критеріїв операбельності хворих;

пошуку осередків ураження при системних захворюваннях;

вивчення динаміки патологічного процесу.

Остеосцинтиграфію проводили на однодетекторній гамма-камері «Тамара-301 Т» у статичному режимі в передній прямій, бічних і задній проекціях. З метою остеосцинтиграфії  $^{99m}$ Tc-пірофосфат активністю 550–770 МБк вводили внутрівенно. Статичну остеосцинтиграфію виконували через 3–4 години після введення препарату. Перед дослідженням хворому необхідно було спорожнити сечовий міхур.

Для остеосцинтиграфії з  $^{99m}$ Tc-пірофосфатом застосовували багатоканальний паралельний коліматор на 140 КеВ. Оптимальна кількість імпульсів на кадр — 150 тисяч.

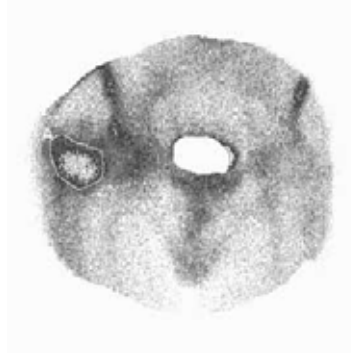
Обробка результатів дослідження на комп’ютері полягає в констатуванні, згладжуванні, виділенні зон інтересу з наступною побудовою гістограм.

Статичну остеосцинтиграфію з  $^{99m}$ Tc-пірофосфатом було проведено 22 хворим віком 31–64 роки з одно- та двобічним коксартрозом. З метою визначення критеріїв операбельності, остеосцинтиграфію кульшових суглобів проведено 9 особам з одностороннім коксартрозом, яким планувалось ревізійне ендопротезування. Іншим 13 пацієнтам таке дослідження виконували з метою оцінки стабільності КС у післяоперацийному періоді, а також вивчення динаміки патологічного процесу.

За характером накопичення радіофармпрепарату (РФП) у патологічному осередку і прилеглих здорових тканинах результати дослідження оцінювали та вважали їх істинно-позитивними при гіперфіксації РФП у злюкісній пухлині (чітке зображення на сцинтиграмі, радіометрично — понад 200 % накопичення порівняно із симетричною здорововою тканиною). При гострих запальних процесах у проекції КС фіксувалося підвищена накопичення РФП (чітке зображення на сцинтиграмі, радіометрично — 150–200 % накопичення порівняно із симетричною здорововою тканиною). При хронічних запальних процесах у проекції КС фіксувалося дифузно-нерівномірне накопичення РФП (нечітке зображення на сцинтиграмі, радіометрично — 120–150 % накопичення порівняно із симетричною здорововою тканиною).

Хворі, яким планувалось ревізійне ендопротезування, скаржилися на болі в ділянці ушкодженого суглоба при активних рухах, стомлюваність, загальну слабість; об’ективно спостерігалася гіперемія шкіри над проекцією ушкодженого суглоба.

На остеосцинтиграмах кісток таза та КС у 6 хворих, яким планували ревізійне ендопротезування, візуалізувалося осередково-дифузне накопичення РФП у ділянці проекції ушкодженого суглоба, радіометрично — 154–182 % накопичення порівняно із симетричною здорововою тканиною (рис.1).



Зона	% відн.
A	263,50
B	100,00

Рис. 1. Остеосцинтиграма в передній прямій проекції хвого го з правобічним коксартрозом IV ступеня, якому планується ревізійне ендопротезування

Водночас на верифікаційних рентгенограмах ушкоджених КС спостерігалося лише різке зниження пропсвіту суглобової щілини з крайовими кістковими розростаннями на вертлюжній западині та голівці стегнової кістки, візуалізувалася деформація останньої.



Рис. 2. Остеосцинтиграма в передній прямій проекції хворого з лівобічним коксартрозом III ступеня, якому планується ревізійне ендопротезування

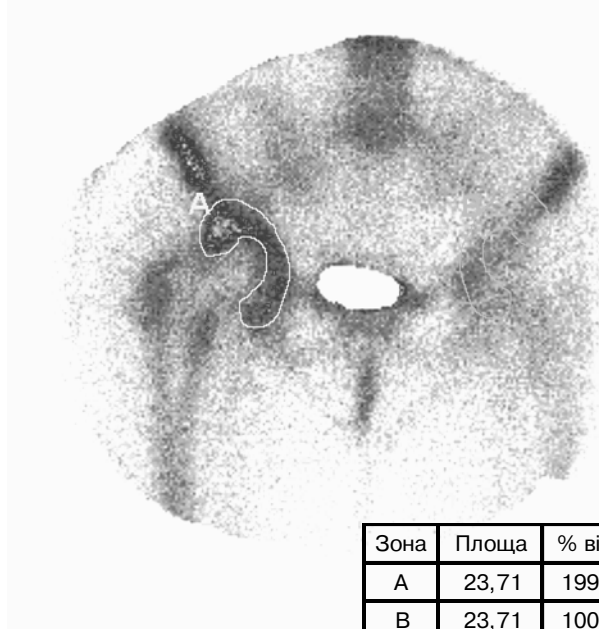


Рис. 3. Остеосцинтиграма в передній прямій проекції хворого з правобічним коксартрозом III ступеня, якому проведено ревізійне ендопротезування

На остеосцинтиграхах кісток таза та КС у інших 2 хворих, яким планували ревізійне ендопротезування (у одного в ділянці середньої третини діафіза стегнової кістки, у другого — в ділянці епіфіза стегнової кістки), спостерігали осередки гіперфіксації РФП. Радіометрично — 250–345 % накопичення порівняно із симетричною здорововою тканиною, що характерно для вторинного патологічного процесу (рис. 2).

Хворі скаржилися на гострий біль у ділянці ураженого суглоба, різке зниження рухових функцій, біль при рухах у суглобі.

Однак при рентгенографічному дослідженні кісток таза та нижніх кінцівок у даних пацієнтів в діафізах та епіфізах стегнових кісток патологічні вогнища не візуалізувалися. Спостерігали лише зменшення просвіту суглобової щілини, та деформацію голівки стегнової кістки.

У 10 пацієнтів із групи, яким було проведено ревізійне ендопротезування, клінічно спостерігали знач-

не поліпшення рухової функції, зниження гіперемії, набряку та місцевої температури над прооперованим суглобом. Однак хворі відзначали і далі незначний біль у ділянці КС при рухах.

На остеосцинтиграхах кісток таза та КС даних пацієнтів спостерігається накопичення РФП у проекції вертлюжної западини та голівки стегнової кістки. Радіометрично — 80–110 % накопичення порівняно із симетричною здорововою тканиною (рис. 3).

При рентгенографічному дослідженні кісток таза й нижніх кінцівок у хворих даної групи візуалізувалася лише незначна деформація голівки стегнової кістки. В проекції вертлюжної западини патологічних осередків не виявлено.

Таким чином, остеосцинтиграфія з  $^{99m}\text{Tc}$ -пірофосфатом є об'єктивним методом диференційної діагностики при ревізійному ендопротезуванні КС. Це сучасний чутливий метод визначення критеріїв операбельності хворих при ревізійному ендопротезуванні кульшових суглобів. Він також дозволяє диференціювати осередки метастатичного ураження КС у хворих, яким планується ревізійне ендопротезування. Остеосцинтиграфію з  $^{99m}\text{Tc}$ -пірофосфатом можна використовувати для вивчення динаміки патологічного процесу після виконання ревізійного ендопротезування.

І.В. Лінник, О.І. Солодянникова

Національний медичний університет  
ім. О.О. Богомольця,

Інститут онкології АМН України, Київ

**Можливості радіонуклідної  
діагностики в оцінці перфузії міокарда  
у хворих на хронічні обструктивні  
захворювання легень.**

**(Дані літератури  
та результати власних досліджень)**  
**Capabilities of radionuclide diagnosis  
in assessment of myocardium perfusion  
in patients with chronic obstructive  
airway disorders**

Перфузійна сцинтиграфія міокарда (ПСГМ) — радіонуклідний неінвазивний метод дослідження для оцінки кровопостачання міокарда на рівні мікроциркуляції у хворих із різними серцево-судинними захворюваннями. В зарубіжній літературі цей метод вважають «золотим стандартом» у діагностиці життєздатності серцевого м'яза та порушень його кровопостачання, зумовлених різними причинами [1, 2]. Заснований ПСГМ на оцінці розподілу в міокарді внутрівенно введеного радіофармпрепарату (РФП), який включається в неушкоджені кардіоміоцити пропорційно коронарному кровотоку [3, 4]. Говорячи про можливість визначення перфузії міокарда за допомогою РФП, введеного в периферичний венозний кровотік, виходять з постулату, що відсоток поглинання

введені активності тканиною міокарда в широкому діапазоні величин хвилинного об'єму еквівалентний коронарній фракції. Екстракція РФП з крові міокардіальною клітиною при цьому не залежить від швидкості кровотоку [5]. Дані положення справедливі доти, доки кровотік не знижується до 10–12 % від нормального, або не перевищує 300 % порівняно з кровотоком у спокої [2, 6]. Таким чином, фіксація РФП у міокарді з високим ступенем вірогідності відображує розподіл коронарного кровотоку. Метод ПСГМ дозволяє також визначити належність ділянок відносного чи абсолютноного зниження кровотоку, оскільки міокард з нормальним кровопостачанням створює картину рівномірного розподілу препаратору. Зони з обмеженим кровотоком унаслідок різних причин візуалізуються як ділянки зі зниженням включенням РФП або дефекти перфузії.

За два десятиліття вирішення різних клінічних завдань, а також економічні аспекти, пов'язані з досить високою собівартістю РФП, сприяли розробці багатьох методик проведення ПСГМ у клінічній практиці [3].

У 1977 р. уперше для візуалізації перфузії міокарда було запропоновано і апробовано використання ізотопу талію —  $^{201}\text{Tl}$ , який має біологічні властивості, подібні до калію, що добре поглинається міокардом. Ізотоп  $^{201}\text{Tl}$  випромінює гамма-кванти з енергією 69–83 кеВ з періодом піврозпаду 73 години. Оптимальні планарні зображення отримують при введенні 2 МКі (74 МБк)  $^{201}\text{Tl}$ -хлориду з наступним збором сцинтиграфічної інформації через 5 хв. За 5–10 хв накопичення талію міокардом виходить на плато й складає близько 2 % від уведені дози в стані спокою, підвищуючись при навантаженні до 5 % [7, 8]. Даний радіонуклід є найбільш апробованим у оцінці міокардіальної життєздатності.

Активний транспорт  $^{201}\text{Tl}$  через клітинну мембрани кардіоміоцитів здійснюється за допомогою  $\text{Na}^+ - \text{K}^+$ -АТФази і забезпечує обмінний механізм захоплення 60 % РФП, решта 40 % препаратору розподіляється пасивно, згідно з трансмембраним електрохемічним градієнтом [3, 10]. Доказом активного поглинання талію кардіоміоцитами є кореляція між екстракцією його з крові клітиною й рівнем АТФ. Слід зазначити, що  $^{201}\text{Tl}$  накопичується в міокарді активніше, ніж калій чи його найближчий аналог — рубідій. Водночас вимивання талію із серцевого м'яза здійснюється значно повільніше, ніж Na, Rb або Cs. Найвірогіднішою причиною цього є те, що Na-K-АТФаза зв'язує  $^{201}\text{Tl}$  двома локусами, тоді як K — одним [10]. Це первинне захоплення прямо пропорційно залежить від розподілу регіонарного кровотоку в дистальному відділі коронарного судинного русла. Після першого включення в клітину талій не фіксується в міокарді, в подальшому відбувається його перерозподіл. Дефекти перфузії, що відображують порушення регіонарного кровопостачання міокарда, зумовлені більш запізненим потраплянням ізотопу Tl у зону ішемії, а подальше їх «запливання» — по-

вільнішим його вимиванням внаслідок зниження кровопостачання. На сьогодні існують різні протоколи проведення сцинтиграфії міокарда з  $^{201}\text{Tl}$ . Найбільш високоінформативні, і тому найчастіше використовувані, такі: навантаження — 4-годинний перерозподіл — реїн'єкція  $^{201}\text{Tl}$ ; спокій — 4-годинний перерозподіл. Підвищення чутливості в оцінці життєздатності міокарда при реїн'єкції Tl пояснюється гіпотезою, згідно з якою підвищення накопичення ізотопу відбувається в ділянках міокарда зі зниженим кровотоком у стані спокою і значними дефектами перфузії при перерозподілі. Дана гіпотеза була підтверджена в дослідженнях J. Maddah і співавт. [2], де вказано, що 38 % сегментів з необоротними дефектами перфузії на відрочених (через 24 год після навантаження) сцинтиграмах були життєздатними при реїн'єкції. Досить важливою є також кількісна оцінка накопичення  $^{201}\text{Tl}$ , бо більшість навіть стабільних, але середньовиражених дефектів (з включенням понад 50 % від максимуму) були, за даними ПЕТ, життєздатними. Незважаючи на те, що ПСГМ із  $^{201}\text{Tl}$  при реїн'єкції властива висока чутливість у прогнозі функціонального поліпшення скоротливої функції міокарда після реваскуляризації, недавні дослідження продемонстрували невисоку специфічність цієї методики [8]. Показано, що сцинтиграфія з реїн'єкцією Tl може переоцінювати подальше функціональне поліпшення деяких сегментів після реваскуляризації. Вірогідність оцінки цих результатів на даний час не встановлена. Можливо, що за рахунок згаданих сегментів уповільнюються процеси ремоделювання, зменшуються симптоми серцевої недостатності і поліпшується прогноз після операції. У тих випадках, коли клінічна задача обмежується визначенням зон життєздатного міокарда без виявлення ішемії, протоколом вибору є дослідження в стані спокою і після 4-годинного перерозподілу.

Попри високу інформативність ПСГМ з  $^{201}\text{Tl}$ , широке використання даного методу в клінічній практиці зустрічає ряд серйозних перешкод. Це пов'язане, насамперед, з недостатньо оптимальними характеристиками спектра випромінення вказаного ізотопу, високою вартістю його циклотронного виробництва, а також значним променевим навантаженням на пацієнта [4].

У зв'язку з цим останніми роками для ПСГМ все ширше використовують  $^{99\text{m}}\text{Tc}$ -2-метокси-2-ізобутилізонітрил ( $^{99\text{m}}\text{Tc}$ -МІБІ, sestamibi,  $^{99\text{m}}\text{Tc}$ -технетріл). Міокардіальний розподіл цього РФП також визначається кровотоком, проте надходження його до клітин відбувається пасивно, без участі Na-K-АТФази. Це ідеальний перфузійний агент для виявлення міокардіальної ішемії, оцінки і визначення життєздатності міокарда. Комплексний ліпотропний моновалентний катіон,  $^{99\text{m}}\text{Tc}$ -МІБІ пасивно, шляхом дифузії, проникає крізь клітинну мембрани. Вважають, що МІБІ акумулюється мітохондріями завдяки генерованому мембральному потенціалу. Препарат швидко, протягом 10 хв, накопичується в кардіоміоцитах, тривало-

зберігається міокардом. Період його напіввиведення складає близько 5 годин. У зв'язку з тим, що екскрецію  $^{99m}\text{Tc}$ -МІБІ здійснює гепатобіліарна система, печінка також активно накопичує даний препарат, створюючи труднощі у візуалізації міокарда. Тому дослідження рекомендується проводити за 1 годину після введення 10 мКі (370 МБк), з метою зниження субдіафрагмальних артефактів з боку печінки, жовчного міхура і дванадцятипалої кишki. На відміну від  $^{201}\text{Tl}$  перерозподіл  $^{99m}\text{Tc}$ -МІБІ мінімальний, проте кращі фізичні властивості цього ізотопу (енергія гамма-квантів 140 кеВ) дають можливість одержувати зображення порожнин серця при першому проходженні індикатора, що дозволяє поєднувати радіонуклідну вентрикулографію з подальшою сцинтиграфією міокарда.

Накопичення  $^{99m}\text{Tc}$ -МІБІ в міокарді відображає одночасно і перфузію і метаболізм кардіоміоцитів. Слід підкреслити, що радіонуклідний агент створює загальний сигнал від регіонів міокарда, де кардіоміоцити можуть бути в різному ступені життєздатності, починаючи від інтактних і закінчуючи некротизованими або фіброзно-zmіненими [5, 9]. З середини 1970-х років почали переглядатися класичні уявлення про транзиторну ішемію як про повністю оборотний процес, коли Heyndrickx із співавторами показали, що короткочасна ішемія здатна викликати тривале зниження регіонарної скоротливості. У 1982 р. Braunwald запропонував називати міокард із сповільненим відновленням скоротливості після епізоду ішемії «стантованим» («оглушенім»). Клінічними ситуаціями, при яких можливе «оглушення», є стани після ефективного тромболізу, балонної ангіопластики, затяжного ангіозного нападу, при нестабільній стенокардії [5, 11].

Інший феномен так званого «хронічно ішемізованого міокарда» отримав називу «гібернації» («сплячки»). В даний час під цим терміном розуміють стан гіпоФункції в умовах хронічно зниженого кровотоку. Останні роботи показали, що в стані сплячки під впливом зниженого кровотоку метаболізм кардіоміоцитів переходить на анаеробний обмін. Експериментально підтверджено, що тривала субтотальна судинна оклюзія спочатку призводить до розвитку ознак анаеробного метаболізму, які, проте, зникають за 2–3 год. У біоптатах з ділянок сплячого міокарда, що містить глікоген, співвідношення АТФ : АДФ не відрізнялося від сегментів, що нормально функціонують. Це свідчить про те, що в даному випадку міокард піддається процесу метаболічної адаптації, щоб привести у відповідність можливості кровотоку і потреби в кисні. Виявлення міокарда, що «спить» засноване на тому, що в цих ділянках збережений «залишковий» кровотік, а клітинна мембрана не порушена і збережений негативний мітохондріальний градієнт, обов'язковий для інтрацеллюлярної акумуляції і утримування  $^{99m}\text{Tc}$ -МІБІ [13]. В даний час у практичній медицині поняття «сплячий» і «оглушений» міокард об'єднують терміном «життєздатний» міокард. Одна

з проблем візуалізації гібернованого, «сплячого» міокарда пов'язана з тим, що ступінь зниження кровотоку в ньому може бути настільки вираженим, що на зображеннях перфузії його не можливо відрізнити від фону. У таких випадках проводять функціональні проби (з фізичним навантаженням або фармакологічні), результат яких здатний не тільки виявити ділянки життєздатного міокарда, але й прогнозувати результати лікування. Міокард, що «спить» — важливий резерв скоротливої функції серця, який може виснажуватися з часом, оскільки в ньому запускаються механізми патологічного апоптозу — передчасної запограмованої загибелі кардіоміоцитів [6].

Таким чином, дослідження останніх років довели що  $^{99m}\text{Tc}$ -МІБІ — не тільки відмінний перфузійний препарат, але й точний маркер життєздатності міокарда, що відображує цілість сарколеми кардіоміоцитів. На відміну від ПСГМ з  $^{201}\text{Tl}$ , використання  $^{99m}\text{Tc}$ -МІБІ не дає хибнопозитивних результатів [14].

Проводять ПСГМ у трьох стандартних проекціях: передньо-прямій (АНТ), ліво-передній скісний — 45° (LAO 45°) і ліво-бічній (LL 90°). Найбільш визнаний варіант обробки сцинтиграм — автоматизована корекція фону і розділення зображення міокарда на сегменти. Потім визначають рівень сцинтиляційного рахунку в кожному сегменті, відносно максимального рівня рахунку, що приймають за 100 %. Результати ПСГМ оцінюють з використанням 12-сегментарної моделі ЛШ і виражають у балах: 1 — нормальній розподіл препарту (понад 60 % максимального накопичення), 2 — гіпоперфузія (від 25 до 60 %) і 3 — аперфузія (менше 25 %). Можливе визначення індекса гіпоперфузії (ІГ) як суми балів по всіх аналізованих сегментах, поділеної на їх кількість.

У даний час планарна ПСГМ практично повністю замінена однофотонною емісійною комп'ютерною томографією (ОФЕКТ). Використання останньої збільшує інформативність сцинтиграфічного дослідження серця на 30 % [8, 11]. Суть емісійної томографії випливає з доведеного австрійським математиком I. Radonом [Radon, 1917] постулату про те, що функцію розподілу можна відновити за її проекціями. Цей принцип знайшов застосування спочатку в радіоастрономії, а потім і в медицині: рентгенівській [Cormack, 1963] і емісійній [Chesler, 1971] томографії. Практично процедура зводиться до двох етапів: 1 — запису серії нативних планарних сцинтиграм; 2 — комп'ютерної реконструкції томографічних зрізів на їх основі. Запис здійснюється або при циркулярному переміщенні детектора колом — 360°, або півколом — 180°. Вибір методу реєстрації зображень при виконанні ОФЕКТ визначається двома взаємо-конкуруючими завданнями: мінімальний час збирання інформації і максимальні якість і повнота одержуваної інформації. Останнім часом, завдяки наявності дводетекторних гамма-камер, найчастіше запис проводять томографією на 180°, від 45° правої передньої скісної проекції (РАО) до 45° лівої задньої скісної

проекції (ЛРО). Для перфузійної сцинтиграфії з  $^{99m}$ Tc-МІБІ є різні протоколи досліджень залежно від клінічних завдань. Використовують як одноденні протоколи з реєстрацією у спокої і (або) при стрес-тесті, так і дводенні протоколи. Одноденний протокол може містити початкове дослідження у спокої після введення 370 МБк, а потім — дослідження після стрес-тесту з додатковим введенням 740 МБк. Дводенний протокол більш цінний з погляду якості зображення в спокої, проте менш зручний через збільшення часу дослідження [13].

Найбільш широко ПСГМ застосовують у діагностичі ішемічної хвороби серця, при запальних ураженнях міокарда, до і після проведення реваскуляризації. У таких випадках причина порушень перфузії серцевого м'яза — зниження необхідного рівня кровотоку в епікардіальних і інtramурульних коронарних артеріях. На даний час практично невивченим залишається кровопостачання міокарда на рівні мікроциркуляції у хворих на хронічні обструктивні захворювання легень, ускладнені легенево-серцевою недостатністю (ЛСН). Враховуючи те, що, за даними літератури [1, 2], у процесі прогресування ЛСН найбільшою мірою страждають насосна та скоротлива функції ЛШ, ми поставили за мету проаналізувати стан перфузії міокарда ЛШ у хворих на хронічний обструктивний бронхіт, ускладнений ЛСН.

Ми наводимо дані власних досліджень, в яких об'єктом обстеження були 10 хворих на хронічний обструктивний бронхіт, ускладнений ЛСН. У всіх встановлено II ст. ЛСН. Обстежені — чоловіки віком 51–63 роки. Залежно від ступеня лівошлуночкової дисфункції, яку встановлювали методом радіонуклідної вентрикулографії (РНВГ), і величини загальної фракції викиду (ЗФВ) лівого шлуночка обстежені хворі розподілилися таким чином: 3 особи із ЗФВ меншою 40 %, 7 — з меншою 50 %. Зважаючи на те, що за дискримінаційний рівень ЗФВ за даними РНВГ прийнято вважати 50 %, у всіх обстежених мало місце погіршення скоротливої функції міокарда ЛШ.

Цим хворим було проведено ПСГМ з  $^{99m}$ Tc-МІБІ. Препарат вводили в дозі 550 МБк внутрівенно, інформацію записували на матрицю  $256 \times 256$ , інтенсивність лічби 500 тис. імп. Візуалізацію міокарда ЛШ проводили в трьох позиціях — прямій передній, лівій скінній ( $45^\circ$ ), лівій боковій ( $90^\circ$ ). Дослідження виконували на гамма-камері E-Cam 180 (Siemens), обробляли зображення за допомогою програми Cardiac non-gated.

Таким чином, у хворих з вираженою ЛСН (II ст.) погіршується перфузія міокарда лівого шлуночка. Сцинтиграфію міокарда з  $^{99m}$ Tc-МІБІ можна використовувати для комплексної оцінки міокардіального резерву у хворих з вираженою лівошлуночковою дисфункцією на фоні обструктивного захворювання легень.

## Література

1. Сергиенко В.Б., Самойленко Л.Е., Ходарева Е.Н., Паша С.П. // Практик. врач. — 1999. — № 15. — С. 20–24.
2. Maddahi J., Garsia E.V., Berman D.S. et al. // Circulation. — 1981. — Vol. 64, № 4. — P. 924–929.
3. Boucher C.A., Zir L.M., Beller G.A. et al. // Am. J. Cardiol. — 1980. — Vol. 46, № 2. — P. 189–193.
4. Fikrle A., Luscher D. et al. // Nucl. Med. — 1999. — Vol. 26, № 9. — P. 961–962.
5. Беленков Ю.Н., Сайдова М.А // Кардиол. — 1999. — Т. 39, № 1. — С. 6–12.
6. Лишианов Ю.Б., Сазонова С.И. и соавт. // Мед. рад. и радиац. безопасн. — 2004. — Т. 49, № 2. — С. 59–66.
7. Manricue A., Marie P.V., Agostini D., Acar P. // Med. Nucleare. — 2003. — Vol. 27, № 2. — P. 79–85.
8. Shinkel A.F., Elhendy A. // Am. J. Cardiol. — 2003. — Vol. 91, № 4. — P. 408–411.
9. Лишианов Ю.Б., Чернов В.И., Бабокин В.Е. // Мед. рад. и радиац. безопасн. — 2004. — Т. 49, № 4. — С. 35–44.
10. Britten J.S., Blank M. // Biochim. Biophys. Acta. — 1968. — Vol. 156, № 2. — P. 160–165.
11. Веснина Ж.В., Бабокин В.Е. и соавт. // Мед. рад. и радиац. безопасн. — 2002. — Т. 47, № 2. — С. 55–62.
12. Mohammad M., Golanowski L., Ruddy T. // J. Nucl. Cardiol. — 2001. — Vol. 8, № 1. — P. 10–18.
13. Сахарчук І.І., Ільницький Р.І. // Врач. дело. Лікарська справа. — 1997. — № 3. — С. 76–80.
14. Паша С.П., Михеев В.Э., Сергиенко В.Б. // Вестн. рентгенол. и радиол. — 2000. — № 1. — С. 21–25.

Н.І. Луховицька, Н.І. Афанасьєва

ДУ «Інститут медичної радіології ім. С.П. Григор'єва АМН України», Харків

## Радіонуклідна діагностика йодонегативних метастазів та рецидивів у хворих на диференційований рак щитоподібної залози

### Radionuclide diagnosis of iodine-negative metastases and relapses in patients with differentiated thyroid cancer

Диференційований рак щитоподібної залози (ДРЩЗ) є однією з поширених форм онкологічних захворювань в Україні і складає в середньому 1,0–2,2 % усіх злокісних новоутворів [1, 2]. Зростання захворюваності на тироїдний рак, яке простежується останніми роками, призвело до виникнення великої низки соціально-економічних та медичних проблем [3].

Питання про виявлення метастатично уражених лімfovузлів (ЛВ) ший при диференційованому тироїдному рапці завжди було дуже актуальним. За даними окремих дослідників, частота ураження регіонарних ЛВ при диференційованих формах РЩЗ коливається в межах від 33 до 63 % [4].

Протягом багатьох десятиріч ступінь поширення пухлинного процесу у хворих на ДРЩЗ виявляли при сцинтиграфії з  $^{131}\text{I}$  та  $^{123}\text{I}$ . Методика дозволяє визначати як наявність тироїдної тканини в «типовому» місці, так і діагностувати метастатично уражені ЛВ в ділянці ший і ретрофарингеального простору [5].

Ситуація значно ускладнюється у прооперованих хворих із наявністю сонографічно підтверджених метастатично уражених ЛВ та/або рецидивів ДРЦЗ, що не здатні накопичувати  $^{131}\text{I}$ , тобто мають радійодорезистентний характер.

Деякі автори доводять, що частота зустрічальності радійодонегативних метастазів та/або рецидивів при ДРЦЗ дорівнює 30 % [5, 6]. Відомо також, що 60 % метастазів та/або рецидивів ДРЦЗ набувають радійодорезистентності в процесі лікування [7].

Неважаючи на широке розповсюдження сонографічних методів дослідження з використанням тонко-голкової аспіраційної пункцийної біопсії (ТАПБ), радіонуклідна діагностика місцево-поширеніх форм ДРЦЗ не тільки не втратила вагомого значення, а й набула цінності у візуалізації саме радійодонегативних метастазів та/або рецидивів ДРЦЗ. За останні роки у радіології взагалі та в онкологічній практиці зокрема, застосовують сучасні радіофармпрепаратори (РФП) з групи катіонів; один з них —  $^{99\text{m}}\text{Tc}$ -Sestmibi (MIBI) [8]. Використання препаратів цієї групи зумовлено їх унікальною здатністю накопичуватися в мітохондріях пухлин.

Ми провели вивчення чутливості і специфічності сцинтиграфії тіла з  $^{99\text{m}}\text{Tc}$ -MIBI у візуалізації йодонегативних метастазів та/або рецидивів ДРЦЗ порівняно з  $^{99\text{m}}\text{Tc}$ -пертехнетатом.

Сцинтиграфія тіла з  $^{99\text{m}}\text{Tc}$ -MIBI проведена 30 хворим (23 жінки та 7 чоловіків) віком від 24 до 83 років. I стадію пухлинного процесу було діагностовано у 10 хворих, II стадію — у 6, III — у 10, IV — у 4 хворих.

Сонографія шиї була виконана 28 пацієнтам.

Пункцийна біопсія ЛВ із підозрою на наявність метастазів та осередків місцевих рецидивів була виконана 12 пацієнтам.

Тироосцинтиграфія з  $^{99\text{m}}\text{Tc}$ -пертехнетатом виконана 7 пацієнтам.

Рівень тироглобуліну (Tg) на фоні скасування супресивної гормонотерапії протягом 1 міс. визначали 22 хворим.

Двом обстеженим з наявністю віддалених метастазів ДРЦЗ у легені було проведено комп'ютерну томографію та рентгенологічне дослідження органів грудної порожнини.

Сцинтиграфію тіла з  $^{99\text{m}}\text{Tc}$ -MIBI проводили за загальноприйнятою методикою;  $^{99\text{m}}\text{Tc}$ -MIBI активністю 400–600 МБк (променеве навантаження дорівнює 2,3–3,5 мЗв/год) вводили внутрівенно в об'ємі 0,7–1,0 мл. Візуалізацію здійснювали у статичному режимі тричі: через 30 хв, 80 хв і 2,5 год у положенні хворого «на спині» або «сидячи» у передній та задній прямих проекціях.

Тироосцинтиграфію з  $^{99\text{m}}\text{Tc}$ -пертехнетатом виконували за загальноприйнятою методикою. Розчин з  $^{99\text{m}}\text{Tc}$ -пертехнетату активністю 80–100 МБк (променеве навантаження дорівнює 1,4 мЗв на щитоподібну залозу та 0,08 мЗв на тіло) вводили внутрі-

венno в об'ємі 1–3 мл. Візуалізацію здійснювали в статичному режимі одноразово через 20 хвилин в передній прямій проекції; використовували томографічну гамма-камеру ОФЕКТ-1. ААДУ. 941351.002. Кількість імпульсів 500000, матриця 256 × 256 × 16 (коліматор LEHR) (м. Сміла, Україна).

Для кількісного визначення вмісту тироглобуліну в сироватці крові використовували метод імуноферментного аналізу.

Статистичне опрацювання результатів проведено з використанням програми Statistica 6,0, пакета Basic Statistic/Tables, засобами методу “t-test, single sample”. Чутливість та специфічність сцинтиграфії тіла з  $^{99\text{m}}\text{Tc}$ -MIBI визначали з використанням ОХП-аналізу [9].

Аналіз результатів сцинтиграфії всього тіла з  $^{99\text{m}}\text{Tc}$ -MIBI показав, що з 30 обстежених із йодонегативними постлікувальними сканами істинно-позитивний результат отримано у 20 хворих (66 %) (рис. 1). У 12 з них (60 %) з місцево-поширеними формами ДРЦЗ позитивні результати сцинтиграфії всього тіла з  $^{99\text{m}}\text{Tc}$ -MIBI підверджені даними сонологічного та цитологічного досліджень.

У 5 хворих (25 %) з позитивними  $^{99\text{m}}\text{Tc}$ -MIBI-сканами сонологічних даних про продовження пухлинного процесу не отримано. Але при подальшому обстеженні цих пацієнтів і дослідженні рівня пухлинного маркера — тироглобуліну в 3 з 5 хворих ми отримали значно підвищений результат — 300,1; 461,0 та 174,0 нг/мл відповідно. Отже, можна зробити висновок, що в цих пацієнтів, неважаючи на відсутність тироїдної тканини при УЗД, значно підвищений рівень Tg та позитивний результат сцинтиграфії з  $^{99\text{m}}\text{Tc}$ -MIBI свідчать про наявність метастазів та/або рецидивів тироїдного раку. Ці пацієнти надалі потребують динамічного спостереження з активною лікувальною програмою  $^{131}\text{I}$  та визначенням не тільки рівня тироглобуліну, але й антитіл до нього. В двох випадках (10 %) віддаленого метастазування у легені позитивна сцинтиграфія з  $^{99\text{m}}\text{Tc}$ -MIBI підверджена даними рентгенологічних досліджень та комп'ютерною томографією (рис. 2).

Із 13 хворих з позитивними сканами з  $^{99\text{m}}\text{Tc}$ -MIBI, у яких був визначений вміст тироглобуліну у сироватці крові, його рівень був низьким і коливався в межах від 0 до 2,5 нг/мл у 23 %; у 15,4 % хворих він був помірно підвищений — 2,5–10,0 нг/мл і у 23 % його показники були високими і становили 10–100 нг/мл, а в 38,6 % рівень тироглобуліну значно перевищував 100 нг/мл (в середньому — 301,2 нг/мл). Таким чином з урахуванням отриманих позитивних даних при сцинтиграфії з  $^{99\text{m}}\text{Tc}$ -MIBI та підтвердження їх різними методами досліджень (УЗД, КТ, Tg) ці пацієнти становлять групу з радійодонегативними метастазами та/або рецидивами ДРЦЗ.

У 9 випадках (30 %) з усіх обстежених ми отримали збіг негативних сканів при сцинтиграфії всього тіла з  $^{99\text{m}}\text{Tc}$ -MIBI, з негативними постлікувальними

сканами з  $^{131}\text{I}$ , та відсутністю «залишкової» тироїдної тканини при сонологічному дослідженні, тобто одержано істинно-негативний результат сцинтиграфії з  $^{99\text{m}}\text{Tc}$ -MIBI. У всіх хворих цієї групи був визначений рівень тироглобуліну. У 7 пацієнтів він дорівнював 0 нг/мл, що в поєднанні з результатами сцинтиграфії та сонологічного дослідження свідчить про вилікованість цих хворих. У двох випадках результати Тг дорівнювали 3,0 та 17,0 нг/мл, що при негативних сканах з  $^{99\text{m}}\text{Tc}$ -MIBI та  $^{131}\text{I}$  не може бути свідченням продовження хвороби, але такі пацієнти потребують подальшого динамічного спостереження з дослідженням рівнів пухлинних маркерів — не тільки тироглобуліну але й антитіл до нього, та повторного сканування як з  $^{131}\text{I}$ , так і з  $^{99\text{m}}\text{Tc}$ -MIBI, щоб підтвердити або відкинути можливість метастазування пухлини.

Лише в одному випадку (3,3 %) ми отримали хибно-негативний результат сцинтиграфії з  $^{99\text{m}}\text{Tc}$ -MIBI при наявності «залишкової» тироїдної тканини, доведений сонологічним методом.

Тirosцинтиграфія з  $^{99\text{m}}\text{Tc}$ -пертехнетатом була виконана 7 пацієнтам і у них при наявності позитивних даних сцинтиграфії з  $^{99\text{m}}\text{Tc}$ -MIBI та візуалізації залишкової тканини щитоподібної залози при УЗД, в жодному випадку сцинтиграфії з  $^{99\text{m}}\text{Tc}$ -пертехнетатом фіксації РФП не виявлено, що свідчить про неінформативність методу для візуалізації радійодонегативних метастазів та рецидивів ДРЩЗ.



Рис. 1. Статична сцинтиграма шиї з  $^{99\text{m}}\text{Tc}$ -MIBI в передній прямій проекції. Хвора Т-а, № іст. хв. 55597, візуалізація вторинно радійодорезистентної тироїдної тканини в нижній та середній третинах київального м'яза справа та в нижній третині зліва при сцинтиграфії з  $^{99\text{m}}\text{Tc}$ -MIBI

З урахуванням отриманих даних, за допомогою ОХП-аналізу, нами була визначена чутливість та специфічність застосованого діагностичного методу сцинтиграфії з  $^{99\text{m}}\text{Tc}$ -MIBI. Чутливість сцинтиграфії з  $^{99\text{m}}\text{Tc}$ -MIBI у візуалізації регіонарних і віддалених метастазів та рецидивів тироїдного раку склала 94 %, специфічність 64 % (рис. 3, табл. 1).

Отже, радійодорезистентність значно зменшує, а іноді унеможливлює сцинтиграфічне дослідження з  $^{131}\text{I}$ -натрію йодидом при діагностиці рецидивів та метастазів тироїдного раку з нездовільним накопиченням радійоду [10], що доведено також і в наших дослідженнях. Це пояснює актуальність досліджень, спрямованих на підвищення ефективності діагностики розповсюджених форм пухлин щитоподібної залози, визначення та відбір найбільш чутливих діагностичних тестів за умов зниженої фіксації радійоду.

У проведених нами дослідженнях з використанням сучасного РФП  $^{99\text{m}}\text{Tc}$ -MIBI у пацієнтів з радійодонегативними сканами доведена висока чутливість та специфічність, що дорівнюють 94 та 64 % відповідно.

Результати цього методу порівнювалися з даними сонологічного дослідження, тirosцинтиграфії з  $^{99\text{m}}\text{Tc}$ -пертехнетатом та визначення вмісту тироглобуліну у сироватці крові хворих на ДРЩЗ. Тirosцинтиграфія з  $^{99\text{m}}\text{Tc}$ -пертехнетатом є неінформативною у визначенні йодонегативних рецидивів і метастазів ДРЩЗ. Слід зазначити, що жодна з цих методик,



Рис. 2. Статична сцинтиграма шиї та органів грудної клітки з  $^{99\text{m}}\text{Tc}$ -MIBI в передній прямій проекції. Хвора К-а, № іст. хв. 2091, візуалізація вторинно радійодорезистентної тироїдної тканини в паренхімі обох легень при сцинтиграфії з  $^{99\text{m}}\text{Tc}$ -MIBI

Таблиця 1

Дані про чутливість та специфічність сцинтиграфії з  $^{99\text{m}}\text{Tc}$ -MIBI у хворих із регіонарними і віддаленими метастазами та рецидивами тироїдного раку

Метод	Всього, пац.	Чутливість			Специфічність		
		УЗД, пац.*	метод, пац.*	$X \pm \delta$	УЗД, пац.*	метод, пац.*	$X \pm \delta$
MIBI	30	16	15	$0,94 \pm 0,06$	14	9	$0,64 \pm 0,13$

Примітка. \* — кількість пацієнтів, діагностованих відповідним методом, як «хворі» при обчисленні чутливості, чи як «здорові» при обчисленні специфічності.

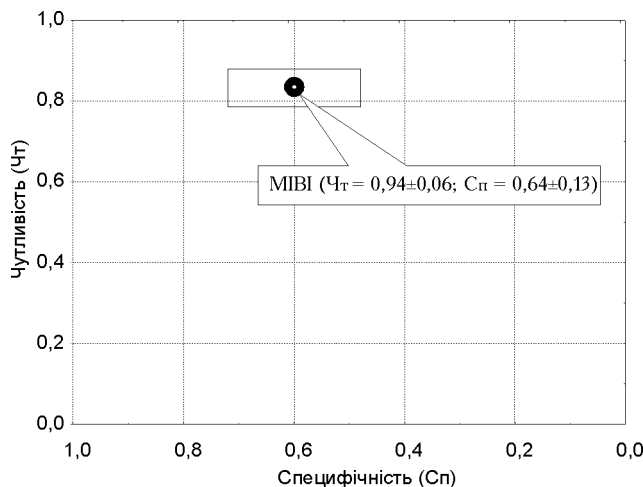


Рис. 3. — Чутливість та специфічність сцинтиграфії з  $^{99m}\text{Tc}$ -MIBI у хворих із регіонарними і віддаленими метастазами та рецидивами тироїдного раку

використаних самостійно, не може з певністю розв'язати питання наявності або відсутності радійодонегативних метастазів або рецидивів ДРЩЗ. Тільки індивідуальний підхід до кожного хворого, комплексна діагностика з аналізом постлікувальних сканів з  $^{131}\text{I}$ -натрію йодидом, сцинтиграфії з  $^{99m}\text{Tc}$ -MIBI, даних УЗД та визначення рівня тироглобуліну й антитіл до нього допоможуть вирішити проблему візуалізації йодонегативних метастазів і рецидивів тироїдного раку, що може підштовхнути до визначення шляхів подальшого лікування пацієнтів з ДРЩЗ.

### Література

1. Пачес А.И., Пропп Р.М. Рак щитовидной железы. — М.: Медицина, 1995. — 370 с.
2. Богданова Т.И., Безверхая Т.П. // Клин. хирург. — 1994. — Т.40, № 3. — С.55–59.
3. Плещков В.Г., Коренев С.В., Тугай В.В. // Рос. онкол. журн. — 2002. — №5. — С.49–55.
4. Рак щитовидной железы в Туркменистане / Нулимаев Г.Н., Джумаев М.Г., Бабакульєва Д.Х. и др. // Онкология 2000: Тез. 2 съезда онкологов стран СНГ (Украина, Киев, 23–26 мая 2000.) — К., 2000. — Реф. 480.
5. Leger A.F., Baillet G., Daguisset F. // Radiol. — 2000. — Vol.73, №876. — P.1260–1264.
6. Lippi F., Capezzzone M., Miccoli P. et al. // Tumori. — 2000. — Vol.86, №4. — P.367–369.
7. Kwekkeboom D.J., Kam B.L., Bakker W.H. et al. // J. Nucl. Med. — 2002. — Vol. 43. — P. 34.
8. Aigner R.M., Fiiger G.F., Nicoletti R. et al. // Eur. J. Nucl. Med. — 1996. — Vol. 23. — P.1568–1574.
9. Пилипенко М.І., Радзішевська Є.Б., Книгавко В.Г. // Лекції з математичної статистики для лікарів. Бібліотека УРЖ. — Харків: Інститут мед. радіології ім. С.П. Григор'єва; Харківський держ. мед. університет, 2001. — 88 с.
10. Zarnegar R., Brunaud L., Kanauchi H. et al. // Surgery. — 2002. — Vol. 132, № 6. — P. 984–990.

Є.В. Лучицький, В.Є. Лучицький,  
Г.А. Зубкова

ДУ «Інститут ендокринології та обміну речовин ім В.В. Комісаренка АМН України»,  
Київ

### Радіонуклідна ангіографія статевих органів у чоловіків, хворих на цукровий діабет й еректильну дисфункцію, та її діагностична цінність

**Radionuclide angiography of sex organs in men with diabetes mellitus and erectile dysfunction and its diagnostic significance**

Цукровий діабет (ЦД) є однією з найбільш актуальних проблем клінічної медицини, що зумовлене його поширеністю, клінічним поліморфізмом, тяжкістю хронічних ускладнень. У 24–79 % чоловіків, хворих на ЦД, спостерігаються хронічні захворювання статевих органів та сексуальні порушення [1]. Встановлено що ЦД, серцево-судинні захворювання та артеріальна гіпертензія — найчастіші чинники розвитку еректильної дисфункції (ЕД). Патологічним змінам у органах статової системи, як і в інших системах органів у чоловіків, хворих на ЦД, притаманний прогресуючий характер із поступовим їх розвитком. Етіопатогенетичними факторами розвитку статевих розладів у чоловіків, хворих на ЦД, є метаболічні порушення, ангіопатії, нейропатії, гормональні зміни. Ураження серцево-судинної системи, макро- і мікроангіопатії виявлено при ЦД у багатьох органах (серце, мозок, нирки, печінка), зокрема і в яєчках [2, 3]. Діагностичними критеріями ступеня ураження копулятивної та генеративної функції у чоловіків і ефективності лікування є андрологічне та клініко-лабораторне обстеження. Для визначення структурно-функціонального стану яєчок використовують інвазивний (біопсія яєчок) та неінвазивний (магніторезонансна спектроскопія) методи [2], а стану кровопостачання — допплерівську ультрасонографію [3]. Жоден з перелічених методів не дає повної характеристики структури та кровопостачання яєчок. Проведені нами раніше дослідження функціонального стану яєчок у хворих на гіпогонадизм із використанням комплексного радіонуклідного методу свідчать про можливість кількісної та якісної оцінки структурно-функціонального стану чоловічих статевих залоз і їх кровопостачання [4].

Ерекційна недостатність — найпоширеніше порушення статової функції при ЦД, основу якого складають патологічні зміни судин статевого члена. Судинні порушення ерекції різного генезу становлять 25–70 % [5]. Все більше даних літератури свідчить про значення ЕД як маркера розвитку ЦД статевого члена. Еректильна недостатність може бути одним з найбільш ранніх чинників (предикторів) розвитку серцево-судинних захворювань, артері-

Таблиця 1

## Показники функціональної активності яєчок у хворих на ЦД чоловіків за даними сцинтиграфії

Група обстежених	Статистичний показник	Площа яєчок, умов. од.		Середня активність, імн./с	
		ЛЯ	ПЯ	ЛЯ	ПЯ
Контрольна група (n = 12)	M ± m	207,6 ± 9,6	212,0 ± 23,0	81,3 ± 8,2	81,9 ± 5,1
	P		> 0,5		> 0,5
Хворі на ЦД та ЕД (n = 33)	M ± m	188,3 ± 12,2	190,6 ± 21,3	60,4 ± 3,3	69,0 ± 3,5
	P	> 0,5	> 0,5	< 0,02	< 0,05
	P <sub>1</sub>		> 0,5		> 0,5

Примітка. Тут і далі: вірогідність у порівнянні: Р — з контрольною групою, Р<sub>1</sub> — лівого та правого яєчок, ЛЯ — ліве яєчко; ПЯ — праве.

альної гіпертензії, ЦД 2-го типу [6]. Зниження судинного току крові при ендотеліальній дисфункції є загальним патофізіологічним механізмом цих захворювань. Еректильна дисфункція — перший маркер субклінічної ендотеліальної дисфункції, яка розвивається задовго до розвитку клінічних симптомів ЦД 2-го типу та серцево-судинних захворювань.

Рання діагностика змін кровотоку в органах репродуктивної системи чоловіків, хворих на ЦД, може використовуватися для своєчасної корекції й запобігання їх прогресуванню.

Метою нашого дослідження було вивчити структурно-функціональний стан та гемодинаміку яєчок і статевого члена в чоловіків із ЦД і ЕД за допомогою комплексного радіонуклідного методу з визначенням резервних можливостей судин статевого члена.

Обстежено 33 чоловіки віком 27–53 років, хворих на ЦД і ЕД, з метою проведення дослідження структурно-функціонального стану та гемодинаміки яєчок і 20 пацієнтів 29–63 років з метою вивчення стану кровотоку статевого члена. Контрольну групу складали практично здорові (без ознак андрологічної патології за даними об'єктивного та клініко-лабораторного обстеження) чоловіки, у яких було проведено сцинтіангіографію яєчок, — 12 осіб, та ангіографію статевого члена для визначення кровопостачання й резервних можливостей із уведенням вазоактивного препарату (ВАП) «Каверджект» фірми Upjohn у дозі 10 мкг внутрікавернозно — 12 осіб того ж віку.

Обстеження проводили після внутрівенного введення болюсним методом 370 МБк <sup>99m</sup>Tc-пертехнетату в об'ємі 0,8–1,0 мл [4].

Сцинтиграфічні дослідження яєчок у чоловіків, хворих на ЦД та ЕД, свідчили, що площа лівого та правого яєчок дещо менша, ніж у обстежених контрольної групи, але ця різниця була невірогідною. Не спостерігалося вірогідної різниці між площею лівого та правого яєчок (табл. 1).

Середня активність умовної одиниці площини у хворих на ЦД та ЕД була вірогідно зменшена порівняно з аналогічними показниками контрольної групи. Вірогідної різниці середньої активності лівого та правого яєчок у обстежених пацієнтів та осіб контрольної групи не спостерігалося (див. табл. 1). У хворих на ЦД не тільки зменшувалися функціонально активні ділян-

ки паренхіми яєчок і їх кольорова гамма була більш блідою, що свідчить про зниження інтенсивності накопичення РФП, але і з'являлися функціонально неактивні ділянки, які не накопичували РФП.

Відомо, що однією з причин зменшення функціонально активної тканини в органах є ураження переважно судин системи мікроциркуляції [7]. Для з'ясування змін припливу крові до яєчок судинами великого, середнього та дрібного калібра у хворих на ЦД було проведено радіонуклідну ангіографію.

У чоловіків контрольної групи ангіографічна криза мала швидкий підйом після введення РФП, а після досягнення максимуму — значний спад. Час повного яєчкового кровотоку (ЧПЯК), час швидкого яєчкового кровотоку ЧШЯК та ЧУЯК лівого та правого яєчок вірогідно не відрізнялися (табл. 2).

У хворих на ЦД із ЕД підйом кривої був пологішим, а у декого протягом 1-ї хвилини спостереження не виводився РФП. У них спостерігались однотипні зміни: сповільнення кровотоку в судинах великого, середнього та дрібного калібра, збільшення ЧПЯК у лівому та правому яєчках. Припущення про наявність органічних змін у яєчках чоловіків, хворих на ЦД, що розвиваються внаслідок мікроангіопатії та нейропатії, було висловлено раніше іншими дослідниками [8]. Проведені нами дослідження підтверджують наявність макро- і мікроангіопатії яєчок у чоловіків, хворих на ЦД з ЕД. Відомо, що діабетична мікроангіопатія супроводжується стовщенням ендотелію капілярів. Сповільнення кровопостачання у статевих залозах чоловіків негативно впливає на статеву спроможність [9]. Зважаючи на те, що зменшення швидкості кровотоку в органі може привести до гіпоксії тканини, можна передбачити їх певну роль в розвитку структурно-функціональних змін яєчок, що, в свою чергу, може призводити до зменшення продукції тестостерону.

Дослідження кровотоку в статевому члені у хворих на ЦД із ЕД виявили виражені зміни практично в усіх обстежених нами пацієнтів.

У контрольній групі кровонаповнювання статевого члена після введення ВАП збільшувалося в середньому на 150,6 ± 6,2 % (табл. 3). У групі хворих на ЦД з ЕД збільшення кровопостачання становило в середньому 93,8 ± 10,1 % (див. табл. 3). Аналіз

Таблиця 2

*Показники яєчкового кровотоку у чоловіків, хворих на ЦД та ЕД, за даними радіонуклідної ангіографії*

Група обстежених	Статистичний показник	ЧПЯК		ЧШЯК		ЧУЯК	
		ЛЯ	ПЯ	ЛЯ	ПЯ	ЛЯ	ПЯ
Контрольна група (n = 12)	M ± m	7,00 ± 0,51	7,14 ± 0,34	4,35 ± 0,46	4,35 ± 0,43	2,65 ± 0,71	2,84 ± 0,46
	P <sub>1</sub>			> 0,5			> 0,5
Хворі на ЦД (n = 33)	M ± m	12,11 ± 0,98	11,41 ± 1,40	6,24 ± 0,54	6,01 ± 0,55	5,78 ± 0,58	5,40 ± 0,78
	P	< 0,001	< 0,002	< 0,02	0,05	< 0,002	< 0,01
	P <sub>1</sub>		> 0,5		> 0,5		> 0,5

Таблиця 3

*Показники приросту кровотоку в статевому члені чоловіків, хворих на ЦД, після функціональної проби з ВАП за даними радіонуклідної ангіографії*

Група обстежених	Статистичний показник	Збільшення кровонаповнення статевого члена після введення ВАП, %
Контрольна група (n = 12)	M ± m	150,6 ± 6,2
Хворі на ЦД та ЕД (n = 18)	M ± m	93,8 ± 10,1
	P	< 0,001

показників приросту кровонаповнення статевого члена на фоні фармакологічної проби у окремих хворих із ЦД засвідчив, що індивідуальні показники у них були меншими нижньої межі нормальних коливань.

Нами обстежено 2 пацієнти, хворих на ЦД 2-го типу, з непостійною появою симптомів ЕД, яка, за результатами визначення ступеня ЕД за шкалою IIEF, належала до легкого ступеня, але розвивалася в пацієнтів за 1,5 та 2 роки до встановлення діагнозу цукровий діабет. Відсоток приросту кровонаповнення статевого члена складав у них 121,0 і 132,0 % та був вищим, ніж в основній групі пацієнтів з ЦД та ЕД, але нижчим за показники в контрольній групі. Необхідно відзначити, що у цих пацієнтів не було порушень кровотоку в судинах нижніх кінцівок. Більше того, навіть у хворих основної групи з ЦД та ЕД, у яких наші дослідження засвідчили у всіх обстежених, наявність ангіопатії у статевому члені, мікроангіопатії та макроангіопатії нижніх кінцівок були виявлені тільки у половини обстежених. Тобто отримані дані дають підстави твердити, що в статевих органах у чоловіків, хворих на ЦД, порушення судин можуть розвиватися на ранніх стадіях недуги та виявлятися раніше, ніж у судинах нижніх кінцівок.

Таким чином, отримані нами результати вказують на високу діагностичну цінність радіонуклідних методів дослідження кровотоку в статевих органах чоловіків, хворих на ЦД, можливість ранньої діагностики у них судинних порушень та органічної форми ЕД.

Раннє виявлення ангіопатії у яєчках можна використовувати для своєчасного призначення препаратів, які поліпшують мікроциркуляцію з метою запобігання структурним змінам, профілактики статевих розладів, вибору оптимального методу лікування, оцінки ефективності останнього в динаміці реабілітації.

## Література

1. Лучицький Є.В., Качура О.В. // Ендокринол. — 2001. — Т. 6, №1 — С.121–123.
2. J. van der Grond. // Human reproduction Update. — 1995.— Vol. 1, № 3.— Р. 276–283.
3. Аллан П.Л., Даббінська П.А., Позняк М.А. та ін. Клінічна допплерівська ультрасонографія. — Л.: Медицина світу, 2001.— С. 209–236.
4. Luchitsky E.V., Kobyakov S.K., Slavnov V.N., Markov V.V. // Androlog. — 1997.— № 1.— Р. 5–11.
5. Сорокин А.И., Герасимов В.Б., Ленская О.П. и др. // Мед. радіол. — 1988. — № 12. — С. 3–5.
6. Tai Yuong A. We can now prevent erectile dysfunction // J. Sex. Med. — 2006. — №6. — Р. 366.
7. Wespes E., Goes P., Sepulman C. // Urol. — 1992. — Vol. 148, № 11. — Р. 14–35.
8. Лучицький Є.В., Кобяков С.К., Славнов В.М. Спосіб виявлення порушень гемодинаміки яєчок у хворих на цукровий діабет. Декларац. патент на винахід № 53523 A, 2003. бол. № 1, «Промислова власність».
9. Гогин Е.Е. // Тер. архів. — 2003. — № 4. — С. 5–7.

С.С. Макеєв, Ю.П. Зозуля, В.М. Семенова  
ДУ «Інститут нейрохірургії  
ім. акад. А.П. Ромоданова  
АМН України», Київ

## Однофотонна емісійна томографія пухлин головного мозку різного гістогенезу

### Single-photon emission tomography of brain tumors of various origin

Диференційна діагностика пухлин головного мозку (ПГМ) є найбільш важливим фактором у виборі лікувальної тактики нейроонкологічних хворих і у більшості випадків визначає ефективність та доцільність подальшого лікування. Це зумовлено різноманітністю гістологічних типів пухлин, ступенем їх проліферативної активності та анаплазії взагалі, інтенсивністю кровопостачання, а також взаємовідношеннями з навколошніми тканинами та іншими особливостями.

Нині існує цілий арсенал томографічних методів діагностики ПГМ, серед яких виділяють дві основні групи. До першої групи так званих структурно-анатомічних методів належать комп'ютерна томографія (КТ) та магнітнорезонансна томографія (МРТ). До другої групи відносять однофотонну емісійну комп'ютерну томографію (ОФЕКТ) та позитронну емісійну томографію (ПЕТ) — методи, розроблені ще на межі 60–70-х років ХХ сторіччя [1, 2].

Комп'ютерна томографія та МРТ є одними з найбільш інформативних методів діагностики ПГМ і протягом останніх кількох десятиліть стали золотим стандартом діагностики осередкових уражень центральної нервової системи [3]. Проведення КТ і МРТ при ПГМ дозволяє виділити такі характерні ознаки: а) прямі — зміни щільноти мозкової тканини та б) непрямі — зокрема, «мас-ефект» у вигляді дислокації медіанних структур з деформацією або зміщенням шлуночкової системи та перифокальний набряк мозку.

Як відомо, пухлинне зростання призводить до значної перебудови кровотоку та до його вираженої неоднорідності, що, в свою чергу, спричиняє появу некротичних зон або зон гіпобіозу — ділянок життєздатних клітин, які перебувають у стані зниженої біологічної активності. Крім того, пухлинні новоутвори супроводжуються значним перифокальним набряком, а їх попереднє антибластичне лікування може зумовлювати розвиток фіброзу паренхіми, а також локальні дистрофічно-дегенеративні зміни судинної мережі. Описані зміни відбуваються на комп'ютерних або магнітно-резонансних томограмах, але їх диференційна діагностика ускладнена у зв'язку з технічними особливостями згаданих методів. На відміну від цього, зазначені процеси можуть бути ефективно оцінені за допомогою ОФЕКТ, оскільки в емісійно-томографічному відображені вони мають різні візуальні характеристики.

Сучасна ОФЕКТ надає інформацію щодо різних аспектів пухлин мозку, зокрема, метаболічної активності та життєздатності пухлинної паренхіми, її васкуляризації, проникності капілярів, експресії рецепторів та ін. Саме ОФЕКТ є цінним методом для оцінки первинних та рецидивних ПГМ, з огляду на те, що існує можливість застосування кількох специфічних радіофармпрепаратів (РФП). Хоча ѹ досі не розроблено «ідеальних» РФП для діагностики церебральних пухлин, ОФЕКТ можна успішно для цього застосовувати [4].

Метою нашого дослідження стало вивчення інформативності ОФЕКТ у діагностиці основних типів ПГМ і визначення їх характерних емісійно-томографічних особливостей.

Обстежено 408 хворих з гістологічно верифікованими ПГМ. Гліобластоми (IV ступеня злойкісності) були діагностовані у 91 пацієнта, гліоми III ступеня злойкісності — у 133, менінгіоми — у 49 та метастатичні пухlinи — у 102 пацієнтів. У 33 осіб було ви-

явлено та в подальшому підтверджено на операційному матеріалі, що зростання внутрічерепних пухлин триває.

Для проведення ОФЕКТ головного мозку застосовували дводетекторну емісійну томографічну гамма-камеру «Е.Сам» (Siemens) з низькоенергетичним коліматором високого розподілення (LEHR). Протокол включав застосування 64 проекцій при сумарному обертанні детекторів на 360 градусів та тривалості однієї проекції 30 с. У переважної кількості хворих (380) ми застосували фільтр Low Pass Cosine (cutoff 0,6–0,9), у пацієнтів з конвекситально розташованими осередковими новоутворами малого розміру — фільтр Butterworth (cutoff 0,6–0,9).

Як радіофармацевтичну мітку використовували  $^{99m}\text{Tc}$ -МІБІ — у 268,  $^{99m}\text{Tc(V)}$  -ДМСА — у 80 та  $^{99m}\text{Tc}$ -пертехнетат — у 60 пацієнтів. Радіофармацевтичні препарати вводили пацієнтам інтратенозно активністю 370–740 МБк. Після ін'єкції проводили ОФЕКТ: на 5-й хвилині при дослідженні з МІБІ, на 120-й — з ДМСА та на 60-й хв при дослідженні з пертехнетатом. Час проведення ОФЕКТ після ін'єкції радіоіндикатора визначався максимумом його накопичення у пухлинній тканині.

При виявленні на ОФЕКТ осередку патологічного накопичення радіоактивної мітки, що відповідав локалізації пухлинного новоутвору, розраховували коефіцієнт асиметрії (КА), який відображує співвідношення радіоактивності у зоні інтересу до радіоактивності контралатеральної ділянки головного мозку. Також обчислювали діаметр виявленого новоутвору, оцінювали його форму та наявність порожнинних ділянок.

Проведені дослідження показали, що загальна точність однофотонної емісійної томографії у діагностиці ПГМ складала 91,6 %. Однак у гістологічно різних групах пухлин вона відрізнялась: у групах менінгіом та метастазів точність методу досягала 100 %, тоді як у групах анапластичних гліом та гліобластом — 82,7 і 93,4 % відповідно. Аналіз величин цих показників виявив, що таке зниження точності методу діагностики при злойкісних гліомах має об'єктивні причини. Цілеспрямований аналіз гістоструктури пухлин продемонстрував, що в частині пацієнтів виявлені гліоми мали ослаблену васкуляризацію й іноді нижчий ступінь злойкісності, ніж був зазначений попередньо. Для ілюстрації цього наводимо приклад спостереження пацієнта Г-к, 48 р., з пухлиною правої лобно-скроневої ділянки головного мозку. Проведена ОФЕКТ головного мозку з  $^{99m}\text{Tc}$ -МІБІ не виявила змін, характерних для пухлинних новоутворів, що за сукупними даними КТ та ОФЕКТ давало підстави запідохрести гліому з мінімальними ознаками анаплазії. При гістологічному дослідженні видаленої пухлини діагностовано анапластичну астроцитому III ступеня злойкісності, що було досить несподіваним. У результаті додаткового поглиблених аналізу гістологічної структури цієї пухлини встановлено, що на переважній

більшості площі вона мала ознаки фібрілярно-протоплазматичної астроцитоми зі збідненою васкуляризацією. При цьому в окремих судинах спостерігалось різке звуження просвіту судин за рахунок значного стовщення адвенції. Така особливість кровопостачання цієї пухлини спричинила недостатнє проникнення РФП у паренхіму пухлини.

Менша точність ОФЕКТ у діагностиці продовженого росту пухлин (81,8 %) може бути зумовлена тим, що у частини хворих з попередньо операціями пухлинами низького ступеня злойкісності сцинтиграфічно ознаки продовженого росту пухлини не виявлялись унаслідок збереження їх типової структури після оперативного втручання, а також у зв'язку зі змінами, зумовленими проведенням антибластичного лікування і появою ознак лікувального патоморфозу у вигляді утворення некротичних осередків, клітинного розрідження та часткового виключення судин унаслідок дистрофічно-дегенеративних процесів.

Проведений аналіз нашого матеріалу показав, що переважна більшість церебральних пухлин досить чітко виявляється на емісійних томограмах як високоінтенсивні вогнища гіперфіксації радіоіндикатора. Водночас вони не мають визначальних емісійно-томографічних особливостей, які давали б підстави для їх більш чіткої диференціації за гістологічним типом. Переважна більшість виявлених пухлин мала високий рівень накопичення радіоіндикатора, що давало можливість переконано визначати лише їх пухлинну природу. В деяких випадках аналіз зовнішніх характеристик виявлених на ОФЕКТ вогнищ дозволяв робити певні висновки щодо їх гістологічної принадлежності.

Найвищий рівень КА був і в менінгіомах, досягаючи середнього значення 26,3. При продовженному рості пухлин середній КА був на рівні 22,3, гліобластомах — 18,6, метастазах — 17,5 та анапластичних гліомах III ступеня злойкісності — 13,0.

Для диференційної діагностики менінгіом високий рівень КА іноді може відігравати важливу диференційно-діагностичну роль, особливо у сукупності з характерною для менінгіом локалізацією. Так, наприклад, наявність високоінтенсивного, чітко окресленого вогнища, розташованого конвекситально або в базальних відділах головного мозку, яке тісно прилягає до екстрацеребральних структур, більшою мірою характерна для менінгіом, порівняно з іншими пухлинами, проаналізованими в даній роботі.

Середній розмір виявлених пухлин коливався в межах 3,0–4,5 см, причому найменший розмір вогнищевого новоутвору на емісійних томограмах був 1,0 см у діаметрі. Отже є підстави припустити, що пухлини головного мозку меншого розміру на ОФЕКТ не виявляються.

За нашими даними, найменший середній розмір (3,0 см) мали метастази головного мозку, що відповідає загальновідомим спостереженням. Також ці новоутвори у 67,1 % випадків (тобто, найчастіше порівняно з іншими пухлинами) мали округлу форму,

що відрізняло їх від інших новоутворів. Тому при наявності на емісійних томограмах округлого вогнищевого новоутвору малого розміру можна, в першу чергу, припускати метастатичне ураження головного мозку.

Округлу форму новоутвору також досить часто (30,8 %) спостерігали при менінгіомах, але величина цього показника була у понад два рази меншою, ніж при метастазах. На відміну від цього при продовженному рості пухлин округла форма патологічного вогнища спостерігалась лише зрідка, що природно з огляду на особливості такого росту.

Порожнинний компонент діагностовано у частини пухлинних новоутворів усіх гістологічних типів, проаналізованих у нашій роботі. Але в анапластичних гліомах, при продовженному рості пухлин та в гліобластомах ці утвори спостерігалися частіше, ніж в інших пухлинах: 24,0, 30,3 та 36,3 % відповідно. Натомість у менінгіомах та метастазах вони виявлялись усього у 17,9 та 18,8 % відповідно, що визначається особливостями росту цих пухлин.

Отже, метод ОФЕКТ інформативний у виявленні переважної більшості пухлин головного мозку, точність емісійної томографії церебральних новоутворів становить 91,6 %.

Найвища точність ОФЕКТ має у діагностиці менінгіом та метастазів — 100 %, децю меншу у діагностиці продовженого росту пухлин, гліом III та IV ступенів злойкісності — 81,8, 82,7 та 93,4 % відповідно.

Найбільш характерним для менінгіом у ОФЕКТ-відображені є високоінтенсивне, великих розмірів вогнище відповідної базальної або конвекситальної локалізації. Для таких новоутворів не характерні порожнинні ділянки.

Метастатичні пухлини на емісійних томограмах найчастіше виявляються як осередки рівномірно посиленого накопичення радіоіндикатора малого розміру без додаткового порожнинного компонента.

Продовжений ріст пухлини головного мозку в емісійно-томографічному відображені виглядає як неправильної форми високоінтенсивні ділянки гіперфіксації радіоіндикатора, які у третині випадків можуть мати порожнину.

## Література

1. Kuhl D.E., Edwards R.Q. // Radiol. — 1970. — Vol. 96. — P. 563–570.
2. Ter-Pogossian M.M., Phelps M.E., Hoffman E.J. et al. // Ibid. — 1975. — Vol. 114, № 1. — P. 89–98.
3. Benard F. et al. // Seminars in Nuclear Medicine. — Vol. XXXIII, № 2. — 2003. — P. 148–162.
4. Del Sole A., Falini A., Ravasi L. et al. // Eur. J. Nucl. Med. — 2001. — Vol. 28, № 12. — P. 1851–1872.

А.А. Машевский, Р.М. Смолякова,  
Л.А. Путырский, С.В. Бузюк,  
А.Ч. Дубровский, Т.М. Кудина,  
М.П. Будько, О.Н. Касьяненко  
ГУ «НИИ онкологии и медицинской радиологии  
им. Н.Н. Александрова»,  
Минск, Республика Беларусь

## Диагностическая значимость радиосцинтиграфии и иммунофенотипирования в оценке степени распространения рака грудной железы

### Diagnostic significance of radioscintigraphy and immunophenotyping in assessment of breast cancer dissemination

В Республике Беларусь, как и во многих странах мира, отмечается неуклонный рост заболеваемости раком грудной железы (РГЖ).

Клинические и молекулярно-биологические исследования, посвященные изучению данной проблемы, свидетельствуют о том, что эффективность лечения больных РГЖ зависит от ранней диагностики, точных данных о характере и распространенности процесса, молекулярного генеза опухоли и правильного выбора тактики лечения.

К методам однофотонной эмиссионной компьютерной томографии (ОЭКТ) относится одна из ведущих позиций в диагностике первичных и метастатических поражений костей скелета, опухолей ГЖ, печени, селезенки, поджелудочной железы, головного мозга, лимфатических коллекторов. Высокий уровень достоверности, низкие лучевые нагрузки на больного, неинвазивность — свойства, характеризующие радиоизотопные методы диагностики *in vivo*.

В настоящее время в диагностике и выборе тактики лечения злокачественных новообразований особое внимание уделяется выявлению прогностических факторов, играющих важную роль в прогрессировании заболевания, предвидении биологического поведения опухоли, их значению в развитии метастазов, прогнозе результатов лечения. Определение пролиферативной активности опухоли; ангиогенной активности; гормонального статуса, рецепторов факторов роста у больных РГЖ имеет решающее значение для выбора программы специального лечения и прогноза течения заболевания.

Целью данного исследования стало определение диагностической значимости радиосцинтиграфии и иммунофенотипирования в оценке степени распространения РГЖ.

Материалом исследования послужили результаты клинических обследований 151 больной с впервые установленным диагнозом РГЖ I—IV стадии. Больные РГЖ включались в исследование после клинико-лабораторного, рентгенологического и эхоскопического обследования с обязательным морфологиче-

ским подтверждением диагноза. Степень распространения опухолевого процесса определялась в соответствии с Международной классификацией злокачественных опухолей по системе TNM (ред. 2002). При анализе степени распространенности опухолевого процесса установлено, что I стадия РГЖ диагностирована у 45 больных, II — у 59, III — у 41, IV ст. — у 6 больных.

Морфологическая форма опухоли представляла собой инфильтративно-дольковую карциному у 102, инфильтративно-протоковую карциному — у 49 больных РГЖ.

Возраст больных, включенных в исследование, варьировал от 31 до 85 лет.

У 151 пациентки с РГЖ определение степени его распространенности проводилось с использованием сцинтилламмографии (РФП-<sup>99m</sup>Tc-МИБИ); лимфомаммосцинтиграфии (РФП-<sup>99m</sup>Tc-НАНАКОЛ); остеосцинтиграфии (РФП-<sup>99m</sup>Tc).

Для определения экспрессии гормональных рецепторов опухолей (рецепторов эстрогена и прогестерона), пролиферативного протеина — Ki-67, рецептора эпидермального фактора роста (HER-2/neu), супрессорного мутантного протеина p53, онкопротеина Bcl-2 использовали иммуногистохимический метод с применением наборов DAKO Cytomation.

Одним из наиболее важных сцинтиграфических исследований является остеосцинтиграфия, подтверждающая поражение скелета с возможным развитием метастазов. В результате проведенных остеосцинтиграфических исследований среди 78 больных РГЖ положительные результаты получены у 5. Диагностическая чувствительность остеосцинтиграфии у обследованных составила 84 %, диагностическая эффективность — 94,8 %.

Частота локализации опухоли в центральном и медиальных квадрантах составляет не менее трети от всех злокачественных новообразований ГЖ. На основании данных гистологического исследования после расширенной мастэктомии метастазы в парастернальных лимфатических узлах (ЛУ) при центральной и медиальной локализациях выявляются в 18–35 % случаев, а при поражении подмышечных лимфатических узлов этот показатель возрастает до 45–55 %. В то же время, при тщательном гистологическом исследовании удаленных во время лимфодиссекции тканей, только у части больных ЛУ были вовлечены в патологический процесс, особенно при ранних стадиях опухоли.

Лимфомаммосцинтиграфия выполнена у 51 больной РГЖ. Накопление радиофармпрепарата в парастернальных ЛУ верифицировалось морфологически. Истинно-отрицательные сцинтиграфические результаты получены у 36 человек, что полностью соответствовало данным гистологического исследования; истинно-положительные результаты определялись у 3, ложно-отрицательные — у 9 пациенток. Следует отметить, что у 6 больных РГЖ отмечалось блокирование оттока по лимфатическим путям и ложно-

положительные результаты (в сравнении с морфологическим исследованием) зарегистрированы у 5 лиц. Диагностическая чувствительность метода составила 82,2 %, диагностическая эффективность лимфосцинтиаммографии — 72,5 %.

Известно, что гормонозависимые опухоли ГЖ, содержащие рецепторы стероидных гормонов, имеют более благоприятное течение и послеоперационный прогноз. Адьювантная эндокринная терапия наиболее эффективна у больных первичными опухолями с высоким уровнем рецепторов стероидов. В связи с этим постоянно ведется поиск дополнительных критериев, характеризующих функциональную активность рецепторов стероидных гормонов и влияние других регуляторных факторов на биологическое поведение РГЖ. Результаты проведенных иммуногистохимических исследований показали, что у 24 больных РГЖ опухоли (41,4 %) оказались эстрогенопозитивными и 34 (58,6 %) — эстрогенонегативными. По содержанию прогестероновых рецепторов 25 опухолей (41,7 %) были позитивными и 35 (58,3 %) — негативными. В настоящее время доказана диагностическая и прогностическая значимость определения экспрессии HER-2/neu при РГЖ. Выявление HER-2/neu служит независимым маркером неблагоприятного прогноза, повышенного риска рецидива заболевания. В проведенном исследовании гиперэкспрессия онкобелка HER-2/neu обнаружена в опухолевых тканях 24,6 % больных. Отсутствие экспрессии HER-2/neu отмечено у 49,2 % больных РГЖ. Одним из прогностических критериев в диагностике и лечении больных злокачественными новообразованиями является исследование уровня экспрессии маркера апоптоза p53. Экспрессия супрессорного мутантного протеина p53 была обнаружена в 52,5 % случаев РГЖ. Из них слабопозитивное окрашивание наблюдалось в 43,6 % случаев, а сильнопозитивное — в 53,1 %. Анализ проведенных исследований позволил выявить корреляцию между экспрессией p53 и пролиферативной активностью опухоли Ki-67. При оценке пролиферативной активности опухолевых клеток установлено, что положительная реакция по Ki-67 наблюдалась в 75,9 % образцов опухолевых тканей у больных РГЖ. Из них 56,5 % обладали высокой пролиферативной активностью. Индекс Ki-67 обратно коррелировал со степенью дифференцировки опухоли ( $R = -0,3$ ;  $p = 0,027$ ). Наряду с оценкой мутантного маркера апоптоза p53 прогностическое значение имеет определение экспрессии индуктора апоптоза антигена Bcl-2. При определении Bcl-2 в изучаемых опухолевых тканях больных РГЖ была выявлена гиперэкспрессия онкопротеина Bcl-2 в 76,1 % случаев. При сравнительном анализе экспрессии изучаемого белка с экспрессией других маркеров РГЖ обнаружена достоверная корреляция с уровнем рецепторов эстрогена ( $R = 0,3412$ ;  $p = 0,031$ ) и рецепторов прогестерона ( $R = 0,3594$ ;  $p = 0,023$ ). Пролиферативная активность опухоли обратно коррелировала с экспрессией Bcl-2 ( $R = -0,3111$ ;  $p = 0,044$ ).

Таким образом, использование методов ядерной медицины (остеосцинтиграфии, маммосцинтиграфии, лимфосцинтиграфии) повышает уровень доказательной диагностики РГЖ за счет возможностей раннего и объективного определения распространенности опухолевого процесса. Иммунофенотипирование опухолей ГЖ позволяет определить молекулярно-биологическую активность опухоли, прогностическую и диагностическую значимость выявления уровней экспрессии рецепторов эстрогенов, прогестерона, онкопротеина HER-2/neu, мутантного онкосупрессора p53, индуктора апоптоза Bcl-2, пролиферативную активность Ki-67, что способствует выбору оптимальной программы лечения для больных РГЖ и повышению его эффективности.

А.А. Машевский, Р.М. Смолякова,  
О.Г. Суконко, В.В. Вабищевич,  
М.А. Арыдова, Л.Г. Земко,  
Л.А. Голубовская

ГУ «НИИ онкологии и медицинской радиологии им. Н.Н. Александрова»,  
Минск, Республика Беларусь

## **Остеосцинтиграфия и гормональный статус как прогностические факторы у больных раком предстательной железы Bone scan and hormonal state as prognostic factors in patients with prostate cancer**

В последние десятилетия значительно возрос интерес к проблеме рака предстательной железы (РПЖ), которая стала крайне важной в социальном отношении. В Беларуси в структуре онкопатологии у мужчин РПЖ в 2004 г. занял четвертое место после рака легкого, кожи и желудка.

В регуляции роста клеток предстательной железы (ПЖ) принимают участие половые стероидные гормоны — андрогены и эстрогены. Пролиферативное действие стероидов на эпителиоциты осуществляется в норме и в случае гормонозависимого РПЖ через рецепторы половых гормонов — рецепторы к андрогенам (РА) и эстрогенам (РЕ). Андрогены принимают участие в стимуляции пролиферации эпителиальных клеток ПЖ. С возрастом у мужчин отмечается уменьшение соотношения андрогенов и эстрогенов, что может влиять на инициацию РПЖ.

В большинстве случаев заболевание выявляется в III—IV стадии процесса, когда у 40 % больных имеются метастазы в костях скелета. При этом происходит нарушение минерального обмена и кальциевого гомеостаза. В случае остеолитических метастазов отмечается снижение плотности кости, но последнее может быть обусловлено и генерализованным остеолизом, развивающимся вследствие эктопической продукции гормонов опухолью.

Цель работы — определение прогностической значимости исследования гормонального статуса и остеосцинтиграфии у больных РПЖ.

Материалом исследования послужили данные 94 больных РПЖ, обследованных и лечившихся в онкологическом урологическом отделении ГУ «НИИ онкологии и медицинской радиологии им. Н.Н. Александрова». У всех больных РПЖ диагноз верифицирован морфологически.

Метастатическое поражение костей скелета у больных РПЖ диагностировали методом остеосцинтиграфии на гамма-камере “E.cam” (Siemens) с использованием радиофармпрепарата ( $\text{РФП}$ )<sup>99m</sup>Tc.

Уровни эстрадиола, прогестерона, тестостерона и фолликулостимулирующего гормона (ФСГ) в крови оценивали радиоиммунным методом (РИА, <sup>125</sup>I), а рецепторов андрогенов (РА) — изучали иммуногистохимическим методом с применением наборов DAKO Cytomation (клон AR 441).

Методом остеосцинтиграфии выявлено метастатическое поражение костей скелета у 17 из 53 обследованных больных РПЖ. Средний возраст больных, включенных в исследование,  $63,0 \pm 2,9$  года. Контрольную группу составили 17 клинически здоровых мужчин.

Результаты проведенных исследований показали, что содержание эстрадиола в крови повышенено у больных РПЖ без метастатического поражения ( $0,45 \pm 0,02$  нмоль/л) в 2,4 раза, в группе больных с поражением костей скелета ( $0,34 \pm 0,01$  нмоль/л) — в 1,8 раза по отношению к таковому в группе контроля ( $0,19 \pm 0,02$  нмоль/л). Имеются данные, что эстрадиол принимает участие в регуляции стромально-эпителиальных взаимоотношений в ПЖ, и опосредованно способен индуцировать синтез простатоспецифического антигена (ПСА), если андрогены отсутствуют. В результате процессов ароматизации и увеличения активности ароматазы в ткани ПЖ увеличивается концентрация свободного эстрадиола, образующегося из тестостерона. Эстрадиол способствует тропности РА к андрогенам и увеличивает их количество в ядре эпителиоцитов. Эстрогены могут участвовать в регуляции апоптоза в ПЖ. Митотический цикл деления клеток по мере прогрессирования РПЖ становится менее зависимым от влияния андрогенов, что указывает на усиление роли других регуляторов роста, в частности эстрогенов.

Содержание прогестерона в анализируемой группе больных РПЖ с метастазами в костях скелета повышен до 155,6 % по сравнению со значениями показателя у больных без метастазов и в группе контроля ( $p < 0,05$ ).

Проведенные исследования гормонального статуса у больных РПЖ с распространенным опухолевым процессом выявили высокую концентрацию тестостерона ( $15,1 \pm 0,26$  нмоль/л) по отношению к содержанию такового у больных без выявленных метастазов в костях ( $10,0 \pm 0,17$  нмоль/л) и в группе контроля ( $6,1 \pm 0,13$  нмоль/л) ( $p < 0,05$ ).

У больных РПЖ отмечен высокий уровень ФСГ ( $13,3 \pm 0,13$  и  $15,2 \pm 0,18$  МЕд/л у больных с метастазами и без метастатического поражения соответственно) по отношению к значению показателя в группе контроля ( $4,50 \pm 0,14$  МЕд/л).

Анализ иммуногистохимических исследований показал, что у 27,3 % больных РПЖ отсутствовала экспрессия РА, умеренно выраженная экспрессия РА выявлена у 54,5 % и гиперэкспрессия РА в ткани опухоли отмечена у 18,2 % пациентов. У больных РПЖ низкая и умеренная экспрессия РА коррелировала с повышенным уровнем тестостерона и ФСГ в крови.

Согласно данным иммуногистохимического анализа, высокая экспрессия РА наблюдалась в высоко- и умеренно дифференцированных опухолях предстательной железы, при низкодифференцированных опухолях отмечена их низкая концентрация.

У больных РПЖ распространенный опухолевый процесс прямо коррелировал с низким содержанием РА и прогрессированием заболевания.

Таким образом, проведенные исследования гормонального статуса у пациентов позволили установить, что высокие уровни тестостерона и ФСГ в крови коррелировали с распространенным опухолевым процессом.

Корреляционный анализ показал, что у больных РПЖ с отдаленными метастазами низкая и умеренная экспрессия РА сопряжена с высоким содержанием тестостерона и ФСГ. Согласно полученным данным, увеличение содержания в крови тестостерона и ФСГ может служить дополнительным прогностическим критерием неблагоприятного прогноза заболевания.

Высокая экспрессия РА, выявленная у 18,2 % больных, является благоприятным прогностическим фактором и определяет перспективность проведения гормональной терапии.

Д.С. Мечев, О.В. Щербіна, О.І. Авраменко  
Національна медична академія післядипломної освіти ім. П.Л. Шупика, Київ  
**Місце ядерної медицини  
в радіологічних діагностичних  
програмах і алгоритмах (майстер-клас)  
The place of nuclear medicine  
in radiologic diagnostic programs  
and algorithms (workshop)**

Променеві методи діагностики (синоніми: діагностична радіологія, радіологія-діагностика) є провідними при обстеженні хворих із патологією всіх, без винятків, розділів клінічної медицини. Як відомо [1], за допомогою згаданих методів досліджень ставлять до 80 % доопераційних діагнозів.

За останні 20–30 років променева діагностика зробила значний крок уперед завдяки впровадженню

в клінічну практику таких нових методів морфологічної візуалізації, як комп'ютерна, магнітнорезонансна, однофотонна емісійна комп'ютерна і позитронно-емісійна (двофотонна) томографії. Останні два з передбачених методів візуалізації дозволили досліджувати функціональні процеси в нормальніх умовах, а при виникненні, наприклад, пухлинної патології проводити своєрідну неінвазивну біопсію [2].

Розвиток комп'ютерних технологій сприяв створенню методу сумісної позитронно-емісійної і рентгенівської комп'ютерної томографії (ПЕТ-КТ), за допомогою якого впродовж одного дослідження хворого можна одночасно отримати інформацію про морфологічні і функціональні зміни, повністю розв'язуючи проблему точності у визначенні збігу цих змін [3].

Нині розроблено багато різних методів і їх модифікацій для отримання діагностичних зображень, тому лікарям-практикам потрібен посібник для оптимального вибору методу у кожному клінічному спостереженні.

Як вважає наукова група ВООЗ [4], сьогодні необхідні діагностичні програми не тільки в радіології, а й в інших галузях медицини, що займаються діагностикою (ендоскопічні, гематологічні, клініко-амбулаторні, біохемічні та інші методи). При цьому бурхливий розвиток комп'ютерних технологій вимагає застосування чітких і простих рекомендацій щодо послідовності дій для отримання діагностичних зображень із найбільшою ефективністю для хворого (з урахуванням кошторису і ризику радіаційних навантажень у результаті досліджень).

З огляду на це, метою цього майстер-класу ми обрали обговорення ролі й місця методів ядерної медицини в медичній практиці та показ діагностичних програм і діагностично-лікувальних алгоритмів із застосуванням оптимальних критеріїв вибору найвірогідніших методів зображення.

Слід підкреслити, що діагностичний процес розпочинається з розробки програми для певної клінічної проблеми. Програма радіологічного обстеження хворого — це перелік ефективних сучасних радіодіагностичних методів і послідовність їх використання при обстеженні хворих з певними клінічними скаргами. Програма включає вибір методу/методів (визначення одного-двох найбільш ефективних) з метою розв'язання конкретної клінічної проблеми.

Згідно з рекомендаціями наукової групи ВООЗ, усі методи радіологічної діагностики розподілені на 3 рівні, і визначені на основі принципу: від простого до складного; від меншої вартості до більшої; від більш доступного до менш доступного.

Отже, такий розподіл передбачає, що I рівень може відповісти районному діагностичному обслуговуванню хворих, II — обласному, III — спеціалізованому інституту або діагностичному центрі. Необхідно підкреслити, що ефективність методів отримання зображень залежить від багатьох факторів: матеріально-технічного забезпечення, кваліфікації медперсоналу, якості допоміжних матеріалів, методик опрацюван-

ня отриманих результатів, а також можливостей застосованого методу та іншого.

В табл. 1 представлена всі сучасні радіологічні методи отримання діагностичних зображень і єдине в світі трактування назв цих методів. Абревіатури КТ, МРТ, ОФЕКТ, ПЕТ є загальноприйнятими і дозволяються у спілкуванні з фахівцями всіх країн (лекції, доповіді, публікації тощо).

Слід відзначити, що на першому рівні діагностичних досліджень, на підставі даних світового досвіду [5], приблизно 5–7 % пацієнтів отримують правильний діагноз, на другому — це 70–75 %, третьому — ще приблизно 15 % (сумарно 90–97 %).

Керуючись переліком радіодіагностичних методів дослідження, на першому етапі необхідно розробити програму для кожного клінічного випадку.

Як приклад створення такої програми ми наводимо тут розділ, який стосується дуже актуальної проблеми: патологічні новоутвори в грудних залозах, або скринінг на рак грудної залози (табл. 2).

Вивчаючи цю програму, можна з'ясувати, що методом вибору діагностичного зображення є мамографія з тонкоголковою біопсією при дотриманні умов, наведених у коментарі. Втім, і радіонуклідна діагностика посідає чільне місце серед радіодіагностичних методів при пошуку метастатичних уражень скелета.

Наступним етапом після створення відповідної програми є складання алгоритму обстеження і лікування. Алгоритм діагностичного обстеження — це загальна тактика комплексного обстеження хворого, яка включає радіодіагностичну програму; на основі алгоритму діагностичного обстеження пропонується лікувальна тактика.

Алгоритм обстеження уражень грудної залози представлений в табл. 3.

При злойкісних ураженнях грудної залози діагностично-лікувальний алгоритм слід коригувати залежно від наявності/відсутності метастатичних уражень скелета. Виходячи з цього, складання діагностичної програми обстеження хворих з метастатичними ураженнями скелета є дуже важливою метою онкології (табл. 4).

Слід відзначити, що матеріально-технічне забезпечення діагностичної радіології має велике значення. На сьогодні в Україні немає жодного позитронно-емісійного томографа (ПЕТ), і також дуже обмежена кількість однофотонних емісійних томографів (метод ОФЕКТ — II рівень програми). В розвинутих країнах світу пошуки метастазів пухлин різних локалізацій обов'язково починаються з остеосцинтиграфії (II рівень) і в 5–10 % випадків доповнюються МРТ; в Україні ж на першому і другому рівнях проводять рентгенологічні дослідження (точність до 75 %), які потім доповнюють ОФЕКТ чи МРТ (точність до 100 %).

Згідно з даними світового досвіду, а також на підставі спостережень, проведених на нашій кафедрі, з'ясовано, що близько 95 % пацієнтів отримують правильний діагноз за допомогою остеосцинтиграфії і приблизно

5 % — МРТ. Методами вибору (світовим «золотим стандартом») при обстеженні хворих із зазначеною патологією є остеосцинтиграфія (ОФЕКТ), з якої належить починати програму, і МРТ [8].

Аналіз стану променевої діагностики на початку ХХІ століття висвітлює вкрай важливу проблему для спеціалістів діагностичної та лікувальної медицини — створення єдиних уніфікованих діагностичних програм та діагностично-лікувальних алгоритмів обстеження

хворих з різними патологічними процесами. Протягом 8–10 років цьому питанню присвячена низка праць [5–7], зокрема й зазначена вище доповідь наукової групи ВООЗ [4]. Автори цих публікацій, незважаючи на відмінності в термінології та поняттєвому визначені, єдині в головному: нині є необхідність у створенні узагальненого світового атласу, в якому були б охоплені всі галузі медичної науки і практики, всі захворювання людини. З нашого погляду, для України

Таблиця 1

*Перелік радіодіагностичних методів дослідження*

Рівень	№	Метод	Абревіатура укр./англ.
I	1	Стандартна ренографія	КЛТ/CLT УЗД/USD
	2	Конвенційна лінійна томографія	
	3	Рентгеноскопія із застосуванням підсилювачів рентген-зображення	
	4	Ультразвукове дослідження загального призначення	
II	1	Урахування методик I рівня	КТ/СТ ОФЕКТ/SPECT
	2	Спеціальні методики рентгенографії	
	2.1	Ангіографія (інтервенційна радіологія)	
	2.2	Мамографія	
	2.3	Макрорентгенографія	
	2.4	Лімфографія	
	3	Спеціальні методи ультразвукового дослідження (допплерографія)	
	4	Комп'ютерна томографія	
III	5	Радіонуклідна однофотонна емісійна комп'ютерна сцинтиграфія	МРТ/MRI ПЕТ/PET, ПЕТ-КТ/PET-CT
	6	Термографія	
	1	Урахування методик I і II рівнів	
	2	Магнітнорезонансна томографія	
III	3	Позитронна (двофотонна) емісійна томографія	МРТ/MRI ПЕТ/PET, ПЕТ-КТ/PET-CT
	4	Імуносцинтиграфія з міченими моноклональними антитілами	

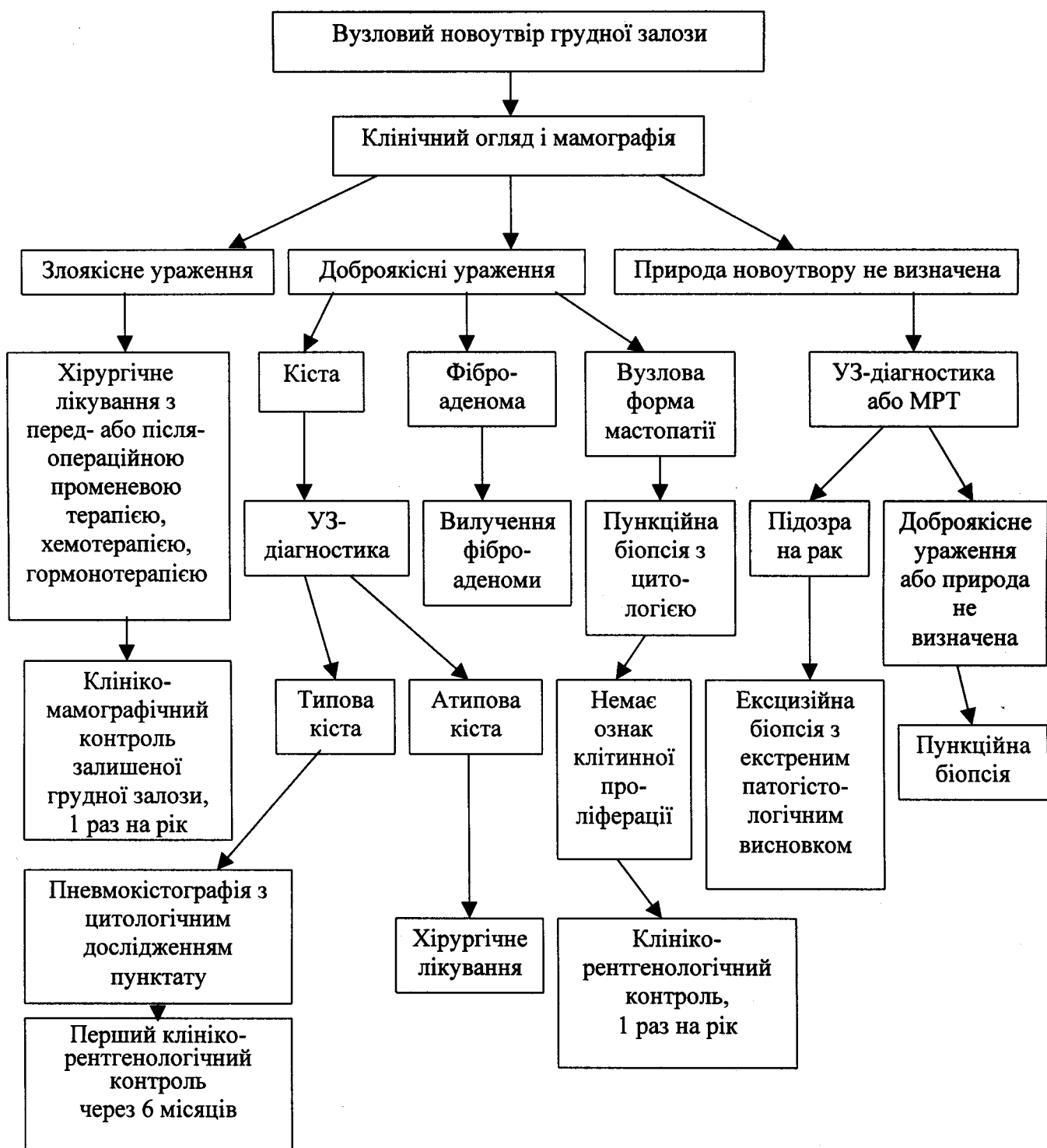
Таблиця 2

*Програма скринінгу на рак грудної залози*

Рівень	Методи	Коментар
I	Ультразвукові дослідження	Може забезпечити диференціювання солідних новоутворів від кіст, але не дозволяє виключити рак
II	Мамографія Варіанти: 1. При нормальніх мамограмах подальше дослідження не потрібне. 2. При сумнівних даних необхідна тонкоголкова біопсія при умові операції в найближчі дні. 3. При підозрі на злойкісні новоутвори потрібні: 3.1. Рентгенографія легенів (виключити «м» в легені, середостіння). 3.2. Візуалізація печінки — УЗД (виключити «м» в печінку). 3.3. Візуалізація скелета — ОФЕКТ (виключити «м» в кістки)	1. Потрібна спеціальна рентген-апаратура (мамографі), спеціальна пілівка, висока кваліфікація персоналу. 2. КТ (II рівень) не має діагностичної цінності при диференціюванні уражень грудних залоз
III	МРТ не має переваг перед мамографією з тонкоголковою біопсією	—

Таблиця 3

Діагностично-лікувальний алгоритм вузлового новоутвору грудної залози



Таблиця 4

Діагностична програма обстеження хворих з метастатичними ураженнями скелета

Рівень	Метод	Точність, %
I (районний)	1. Рентгенографія	50–60
	2. Конвенційна лінійна томографія (КЛТ)	55–65
II (обласний)	Остеосцинтиграфія (ОФЕКТ)	92–95
III (спец. лікарні, НДІ, діагностичні центри)	МРТ (після рентгенологічного і ОФЕКТ досліджень)	94–98

поки що це неможливо, втім до цієї мети слід наблизитися. Серед перешкод у реалізації такого завдання:

- недостатня матеріально-технічна база в Україні (для порівняння: розвинені країни мають у своєму арсеналі в середньому на 1 млн населення 45 комп'ютерних, 15 МР- і 12 ОФЕКТ-томографів; в Україні ж відповідно тільки 2 /млн, 1,5 /млн і 0,5 /млн; при цьому для здійснення дослідження методами III рівня ми маємо близько 80 МР-томографів, а ПЕТ і метод імуносцинтиграфії взагалі не використовуються через відсутність необхідної апаратури);

- запропоновані науковою групою ВООЗ методи третього рівня в багатьох областях України не можуть застосовуватись через відсутність апаратури і методик дослідження; реально сьогодні для нашої країни багато методів другого рівня є методами третього (КТ, ОФЕКТ, Допплер-УЗ системи та ін.);

- недостатньо розвинутий I (районний) рівень радіодіагностичної програми — якість рентгенологічних досліджень на застарілих апаратах виробництва 60—70-х років минулого століття (чимало з них без підслювачів рентгенологічного зображення), що, як правило, при первинному зверненні хворого до лікаря не відповідає світовим стандартам;

- особливу увагу привертають проблеми інтервенційної радіології — пункцийні біопсії з терміновим цитологічним дослідженням препаратів під контролем мамографії (грудна залоза), УЗ-діагностики (щитоподібна, передміхурова залози, печінка) та ін.; відсутність єдиної методологічної системи і великих центрів з відповідною апаратурою та кваліфікованим персоналом заважає розвитку цього вкрай важливо-го напрямку в діагностиці;

- не меншої уваги заслуговує і питання підготовки та постійного професійного росту радіологів-діагностів: яку б висококласну апаратуру і нові методи досліджень не демонстрували в післядипломних закладах, більшості лікарів-діагностів доводиться працювати в районах на рентгенівських і УЗ-апаратах, а також гамма-камерах виробництва 60—70-х років.

Запропонований «майстер-клас» представляє дискусійні проблеми. Зокрема, наголошується, що радіонуклідна діагностика посідає одне з чільних місць при створенні діагностичних радіологічних програм з подальшим вибором найбільш ефективних методів отримання діагностичних зображень. З огляду на це, діагностичні центри нашої країни повинні мати адекватну апаратуру (ОФЕКТ, ОФЕКТ-КТ, ПЕТ, ПЕТ-КТ) для повноцінної участі в комплексному обстеженні хворих і плануванні діагностичних програм та алгоритмів ефективного вибору методів візуалізації в радіології-діагностиці.

## Література

1. Dixon A. // Lancet. — 1977. — Vol. 350. — P. 509–512.
2. Тюнин Л.А., Костеников Н.А., Поздняков А.В. Комплексная лучевая диагностика опухолей головного мозга (МРТ, МРН, МРС, ПЭТ). // Матер. VI междунар. симпоз. «Современные минимально-инвазивные технологии». — СПб, 2001. — С. 103–104.
3. Труфанов Г.Е., Рамешвили Т.Е., Дергунова Н.И., Бойков И.В. Современная позитронно-эмиссионная компьютерная томография (ПЭТ-КТ) в диагностике опухолей. — СПб: Элби-СПб, 2005. — 90 с.
4. Эффективный выбор диагностических изображений в клинической практике. Доклад научной группы ВОЗ. — Серия 795. — Женева, 1992. — 126 с.
5. Линдембрaten А.Д., Королюк И.П. Медицинская радиология. — М.: Медицина, 2000. — 675 с.
6. Eisenberg R. Diagnostic imaging: an algorithmic approach. — Philadelphia: Lippincott, 1988. — 216 p.
7. Абизов Р.А., Мечев Д.С., Бичкова Н.П., Самойленко С.С. Уніфікація комплексного променевого обстеження в онкоотоларингології // Метод. рекомендаций. — К., 2006. — 16 с.
8. Критерии выбора метода изображения. Королевская коллегия радиологов Великобритании / Я.С. Бабий, В.Т. Демин, Д.А. Петрук (лит. редакция) — К., 2000. — С. 32–33.

В.Г. Нестеров, Д.В. Нестеров, Л.С. Титова, Т.С. Титова

ГОУ ВПО Белгородский государственный университет, Россия

**Тестируемые функциональные системы гомеостатического уровня организации в рамках радионуклидного обследования онкологических больных**  
**Testing the functional systems of homeostasis organization level during radionuclide investigation of cancer patients**

Все чаще при проведении специфического лечения злокачественных опухолей сдерживающим фактором являются сопутствующие заболевания и низкие резервные возможности функциональных систем гомеостатического уровня организации [1]. В связи с этим следует подчеркнуть, что исследования, проводившиеся более 10 лет назад в Институте медицинской радиологии им. С.П. Григорьева (директор — проф. Н.И. Пилипенко) [2] по использованию радионуклидных технологий при тестировании функциональных систем гомеостатического уровня организации в процессе лечения онкологических больных, не только не теряют актуальности, но и приобретают все большую практическую значимость. Констатируя уникальность диагностических возможностей радионуклидных технологий, следует отметить как недостаточную разработку методов регистрации и интерпретации транзита радиофармпрепараторов (РФП) в организме, так и неизученность состояния гомеостаза у онкологического больного в процессе лечения. Решение этих вопросов и явилось целью нашего исследования.

В работе использованы результаты исследований, выполненных под руководством проф. Н.И. Пилипенко в Институте медицинской радиологии им. С.П. Григорьева.

Радионуклидное обследование проведено 312 пациентам с разными формами злокачественных ново-

образований, получавшим специфическое лечение по радикальной программе.

По методике Е.В. Гублера [3] определена информативность показателей функционального состояния исследованных органов и систем. Отобраны показатели с индексом надежности не менее 0,7, что видно из таблицы.

Взаимосвязь параметров начальных и результативных состояний функциональных систем гомеостатического уровня организации по данным радионуклидного тестирования изучали с помощью однофакторного дисперсионного анализа. В роли результативного использовалось изменение функционального показателя, в качестве основного фактора — начальное значение признака. Вывод о статистически значимом изменении показателя делался при  $p < 0,050$ .

После окончания комплексного лечения рака легкого ( $\rho_{\text{Л}}$ ) наблюдалась зависимость изменений показателей состояния системы кровообращения от исходного состояния самой этой системы ( $\rho = 0,031$ ), выделительной функции гепатобилиарной системы ( $\rho = 0,046$ ) и почек ( $\rho = 0,035$ ). Уменьшение МОК с исходно сниженным СВТ<sub>С</sub> ( $\rho = 0,041$ ) и повышенным МОК ( $\rho = 0,032$ ), вероятно, свидетельствовало о том, что у этих больных система кровообращения до лечения имела напряженное состояние при отсутствии резервов для компенсации негативного влияния на миокард специфического лечения  $\rho_{\text{Л}}$ .

Выявились зависимости изменения показателей состояния клубочковой фильтрации  $C_{\text{ДТПА}}$ , ЭФМО<sub>ДТПА</sub> от исходного значения МОК и СВТ<sub>С</sub> ( $\rho < 0,050$ ). Зависимость ЭФМО<sub>ДТПА</sub> от исходного значения ЭФМО<sub>мезида</sub> ( $\rho = 0,011$ ), подтверждает тот факт, что ухудшение условий функционирования одного из органов выделения связано со снижением выделительной функции другого.

После окончания специфического лечения рака шейки матки ( $\rho_{\text{ШМ}}$ ) отмечается уменьшение ЭФМО<sub>ρ</sub>, зависимое от исходных значений этого показателя ( $\rho = 0,045$ ) и среднего времени транзита  $^{99\text{m}}\text{Tc}$ -ДТПА (СВТ<sub>ρ</sub>) в этой же почке ( $\rho = 0,034$ ). Изменения ЭФМО<sub>ρ</sub> были большими при более низких ЭФМО<sub>общ</sub>, СКФ<sub>общ</sub>, СВТ<sub>с</sub> и при более высоких МОК и СВТ<sub>ρ2</sub> ( $\rho < 0,050$ ). Большие изменения СВТ<sub>ρ</sub> наблюдались при более низких значениях ЭФМО<sub>ρ</sub> и более высоких исходных значениях СВТ<sub>ρ1</sub>. Изменения СВТ<sub>ρ</sub> зависели от начальных значений СВТ<sub>ρ2</sub>, причем большие изменения СВТ<sub>ρ</sub> наблюдались при больших значениях СВТ<sub>ρ2</sub>.

Из показателей, которые определялись состоянием системы кровообращения, статистически значимые изменения определялись только для МОК. Зависимость его изменений от ЭФМО<sub>общ</sub> ( $\rho = 0,012$ ) можно объяснить стремлением организма стабилизировать среднее время пребывания во внутренних циркулирующих средах нефротропного РФП.

Непосредственно после окончания комплексного лечения рака молочной железы ( $\rho_{\text{МЖ}}$ ) наблюдалась зависимость изменений показателей состояния системы кровообращения от исходного состояния самой этой системы и выделительной функции гепатобилиарной системы. Заметное уменьшение МОК непосредственно после окончания специфического лечения  $\rho_{\text{МЖ}}$  у больных с исходно сниженным СВТ<sub>С</sub> ( $\rho = 0,036$ ) и повышенным МОК ( $\rho = 0,022$ ), вероятно, свидетельствует о том, что у этих больных система кровообращения до лечения имела напряженное состояние и была лишена резервов для компенсации негативного влияния на миокард специфического лечения  $\rho_{\text{МЖ}}$ . Выявились зависимости изменения показателей состояния клубочковой фильтрации от исходного состояния этого процесса и от показателя эф-

#### *Показатели состояния функциональных систем с индексом надежности более 0,7 при $p < 0,05$*

Название и единица измерения	Сокращение
Минутный объем кровообращения, мл	МО
Среднее время транзита крови по сердечно-сосудистой системе, с	СВТ <sub>ccc</sub>
Среднее время транзита крови в легких, с	СВТ <sub>л</sub>
Фракция выброса левого желудочка, %	ФВ <sub>левого</sub>
Фракция выброса правого желудочка, %	ФВ <sub>правого</sub>
Объем циркулирующей плазмы, мл	ОЦП
Клиренс $^{99\text{m}}\text{Tc}$ -ДТПА (скорость клубочковой фильтрации), мл/мин	$C_{\text{ДТПА}}$
Эффективная фракция минутного объема кровообращения для фильтрующих систем двух почек (общая) по $^{99\text{m}}\text{Tc}$ -ДТПА, %	ЭФМО <sub>ДТПА</sub>
Эффективная фракция минутного объема кровообращения для фильтрующих систем одной почки (раздельная) по $^{99\text{m}}\text{Tc}$ -ДТПА, %	ЭФМО <sub>ДТПА ρ</sub>
Среднее время пребывания (транзита) $^{99\text{m}}\text{Tc}$ -ДТПА в циркулирующей крови, мин	СВТ <sub>ДТПА</sub>
Клиренс $^{99\text{m}}\text{Tc}$ -мезиды, мл/мин	$C_{\text{мезида}}$
Эффективная фракция минутного объема кровообращения для гепатобилиарной системы по $^{99\text{m}}\text{Tc}$ -мезида, %	ЭФМО <sub>мезида</sub>
Среднее время пребывания (транзита) $^{99\text{m}}\text{Tc}$ -мезиды в циркулирующей крови, мин	СВТ <sub>мезида</sub>
Показатель функциональной активности красного костного мозга, %	ФА <sub>ккм</sub>

фективности очищения крови печенью ( $\text{ЭФМО}_{\text{мезида}}$ ) ( $p = 0,027$ ).

Непосредственно после лечения рака щитовидной железы (РЩЖ) изменения функции почек зависели от их исходного состояния, системы кровообращения и, в меньшей степени, от исходного состояния печени. Это проявилось в том, что для изменения  $\text{ЭФМО}_{\text{ДТПА}}$ , обнаружена зависимость от начальных значений этого же показателя ( $p = 0,009$ ),  $\text{СВТ}_c$  ( $p = 0,049$ ) и  $\text{СВТ}_{\text{мезида}}$  ( $p = 0,033$ ). Эти изменения оказываются большими при меньших значениях  $\text{ЭФМО}_{\text{ДТПА}}$ ,  $\text{СВТ}_c$  и при больших исходных значениях  $\text{СВТ}_{\text{мезида}}$ .

Определена зависимость увеличения  $\text{СВТ}_{\text{ДТПА}}$  от его исходного состояния ( $p = 0,044$ ) и исходного значения  $\text{ЭФМО}_{\text{ДТПА}}$  ( $p = 0,045$ ). Установлено, что при больших исходных значениях  $\text{СВТ}_{\text{ДТПА}}$  и меньших  $\text{ЭФМО}_{\text{ДТПА}}$  наблюдается большее увеличение  $\text{СВТ}_{\text{ДТПА}}$ .

Заметим, что характеристики  $\text{ЭФМО}_{\text{ДТПА}}$ , как параметра функциональной активности самого нефрона, и  $\text{СВТ}_{\text{ДТПА}}$ , как параметра эффективности работы почек с точки зрения достаточности для организма в целом, непосредственно после лечения отличаются: изменения  $\text{СВТ}_{\text{ДТПА}}$  зависят от исходного состояния почек.

Непосредственно после окончания лечения проявляются зависимости изменений функциональных показателей системы кровообращения от исходного состояния этой системы и эффективности выполнения почками своей функции. МОК особенно заметно снижается при исходно повышенных его значениях: ( $p = 0,027$ ) и  $\text{СВТ}_{\text{ДТПА}}$  ( $p = 0,026$ ) и сниженном  $\text{СВТ}_c$  ( $p = 0,025$ ).

Наиболее неблагоприятным было состояние, при котором система кровообращения не могла в достаточной мере компенсировать снижение функциональной активности фильтрующей системы почек в силу изначально невысокой функциональной активности, а также отмечалось замедление очищения крови от нефротропного РФП.

Несмотря на то, что зависимость показателей системы кровообращения от очистительной активности печени не обнаружена, мы не можем отрицать вероятность ее существования в генеральной совокупности.

Как показали наши исследования, система кровообращения у больных РЩЖ находится в напряженном состоянии исходно и не обладает существенными компенсаторными возможностями при негативном влиянии лучевой терапии на миокард, поскольку заметно уменьшение МОК после окончания лечения у больных с исходно низким  $\text{СВТ}_c$  ( $p = 0,011$ ) и повышенным МОК ( $p = 0,032$ ). Изменения  $\text{ЭФМО}_{\text{мезида}}$  зависят от начального значения  $\text{СВТ}_{\text{ДТПА}}$  ( $p = 0,015$ ), причем при исходно повышенных значениях  $\text{СВТ}_{\text{ДТПА}}$  уменьшение  $\text{ЭФМО}_{\text{мезида}}$  больше. Близки к зависимости измененной  $\text{ЭФМО}_{\text{мезида}}$  от исходных значений самого  $\text{ЭФМО}_{\text{мезида}}$  ( $p = 0,028$ )  $\text{ЭФМО}_{\text{ДТПА}}$

( $p = 0,036$ ) и  $\text{СВТ}_{\text{ДТПА}}$  ( $p = 0,026$ ). Изменения  $\text{СВТ}_{\text{мезида}}$  зависят от начальных значений  $\text{С}_{\text{мезида}}$  ( $p = 0,008$ ) и  $\text{ЭФМО}_{\text{мезида}}$  ( $p = 0,017$ ). Существенное возрастание  $\text{СВТ}_{\text{мезида}}$  наблюдается при исходно сниженных  $\text{С}_{\text{мезида}}$  и  $\text{ЭФМО}_{\text{мезида}}$ .

Другими словами, показатели очистительной функции печени зависят от своих исходных состояний и от показателя эффективности очищения крови почками. Зависимость показателя очистительной функции печени от эффективности очищения крови почками была ожидаемой, поскольку известно взаимовлияние этих органов друг на друга.

Не нашел статистического подтверждения факт зависимости очистительной функции печени от состояния системы кровообращения, хотя эта зависимость ожидаема и близка к статистической значимости для  $\text{СВТ}_r$  ( $p = 0,054$ ).

Таким образом, анализ взаимных влияний функциональных систем в процессе лечения онкологического больного при разных локализациях злокачественного новообразования показал, что в каждом случае можно обнаружить влияние состояния одной функциональной системы гомеостатического уровня на другую при действии на организм повреждающих факторов. Характер и выраженность этих влияний в значительной степени зависят от характера специфического процесса и ятрогенных влияний на организм.

## Литература

1. Важенин А.В., Фокин А.А., Лукин А.А., Терешин О.С. // Вопр. онкол. — 2004. — Т.50, № 6. — С. 723–725.
2. Пилипенко М.І. Використання радіонуклідних методів діагностики для виявлення та прогнозування функції серцево-судинної системи, печінки і нирок у процесі хіміопроменевого лікування онкологічних хворих // Пилипенко М.І. та ін.: Метод. рекомендації. — Харків, 1993. — 32 с.
3. Гублер Е.В. Вычислительные методы анализа и расшифровки патологических процессов. — Л.: Медицина, 1978. — 294 с.

Д.В. Нестеров, Л.С. Титова, Т.С. Титова  
ГОУ ВПО Белгородский государственный университет, Россия

## К вопросу об определении регионарной вентиляции легких радионуклидными методами

### On determining regional lung ventilation using radionuclide techniques

Пульмонология переживает период бурного развития принципиально новых методов в диагностике практических всех форм легочной патологии [1, 2]. Определение показателей интегральной легочной вентиляции, доступное рутинным спирометрическим и спирографическим методам, далеко не всегда удовлетворяет запросы современного врача, поскольку не позволяет выявить локальные патофизиологические изменения при викарной гиперфункции непораженных отделов легких. Поэтому большая клиническая значимость методов определения регионарной вентиляции легких не подвергается сомнению [3].

Для этой цели в настоящее время применяется исследование с ингаляционным введением газово-воздушной смеси  $^{133}\text{Xe}$  и последующей сцинтиграфией легких [4]. Считается, что этот метод достаточно информативен как при диффузных, так и при очаговых поражениях легких [4, 5].

Однако при реализации описанных в литературе методик мы столкнулись с общей ошибкой, имеющей, на наш взгляд, принципиальный характер и заставляющей усомниться в физиологической корректности используемых методов оценки регионарной вентиляции.

В связи с вышеизложенным целью нашей работы явилось определение новых методических подходов при оценке регионарной вентиляции легких с использованием радионуклидных технологий.

В работе использованы результаты исследований, выполненных в Институте медицинской радиологии им. С.П. Григорьева АМНУ (директор — проф. Н.И. Пилипенко). Проведен анализ 14 комплексных исследований регионарной вентиляции легких у больных с хроническими неспецифическими заболеваниями легких (8 человек) и немелкоклеточным раком легких (6 человек).

Сцинтиграфию проводили на гамма-камере Ohio Nuclear-110 (США). В качестве радиофармпрепарата использовали воздушно-газовую смесь с  $^{133}\text{Xe}$  («Изотоп», Россия) и макроагрегат альбумина, меченный  $^{99\text{m}}\text{Tc}$  (МАА- $^{99\text{m}}\text{Tc}$ ), получаемый с помощью набора ТСК-8 фирмы CIS (Франция). Количество вводимого  $^{133}\text{Xe}$  не превышало 600 МБк, а МАА- $^{99\text{m}}\text{Tc}$  — 200 МБк.

После центрации детектора гамма-камеры с помощью загубника и носового зажима создавали замкнутую систему «пациент—спирограф»;  $^{133}\text{Xe}$  вводился в сильфон. Для определения интегральных и регионарных статических объемов и емкостей пациент делал максимально глубокий вдох и максимально глубокий выдох.

При выполнении традиционного исследования нами было отмечено, что при разбивке легочных полей на «зоны интереса» не выполняется обязательное условие — при дыхательных маневрах выделенным «зонам интереса» не соответствуют одни и те же участки легких. Так, если легочное поле делилось на зоны при спокойном дыхании, при глубоком вдохе в нижележащие «зоны интереса» «заходили» участки легкого, отнесенные к вышележащим. Соответственно при глубоком выдохе в вышележащие «зоны интереса» «заходили» участки легкого, отнесенные к нижележащим зонам. Поэтому скорость счета импульсов при разных дыхательных маневрах не соответствовала одному и тому же анатомическому участку легких.

У трех из шести пациентов с раком легкого зарегистрировано парадоксальное повышение скорости счета импульсов на выдохе, регистрируемое в пораженном участке органа.

Объяснить это можно было тем, что при выдохе пораженный участок смещается в верхнюю «зону интереса», в среднюю «зону интереса» левого легкого приходит хорошо вентилируемый участок из нижней «зоны интереса» и скорость счета импульсов увеличивается.

Для определения одних и тех же участков легкого на сцинтиграммах при различных дыхательных маневрах предложено использовать радиофармпрепарат, не меняющий своего места расположения относительно легочной ткани при дыхании —  $^{99\text{m}}\text{Tc}$ -МАА. Как правило, больным, которым проводится ингаляционная сцинтиграфия, выполняется и сцинтиграфическое исследование легких по  $^{99\text{m}}\text{Tc}$ -МАА. Мы использовали это следующим образом: помимо сцинтиграфии при спокойном дыхании выполняли ее при тех же дыхательных движениях, что и при ингаляционной сцинтиграфии. Однаковость дыхательных маневров контролировалась спирографически.

На сцинтиграммах легких по  $^{99\text{m}}\text{Tc}$ -МАА при глубоком выдохе мы делили каждое легкое на три «зоны интереса» равные по площади. Затем определяли скорость счета импульсов в каждой установленной зоне. На сцинтиграммах при других дыхательных маневрах восстанавливали последовательно «зоны интереса», передвигая границу между ними до тех пор, пока скорость счета импульсов не достигнет нужного значения.

По удельной активности «зон интереса» уже можно было судить об изменении легочного объема, но мы использовали более надежный способ — это перенос «зон интереса», определенных по  $^{99\text{m}}\text{Tc}$ -МАА, на тождественные ингаляционные сцинтиграммы. Дальнейшее определение объемов и емкостей входило в традиционное русло.

Значения показателей по предлагаемому методу для верхней и средней зон на 16–27 % больше, чем значения, определяемые по традиционным методам. Причем эта разница была статистически значима ( $p < 0,01$ ). В то же время отмечалось уменьшение значений этих показателей в нижней зоне на 24–30 % ( $p < 0,01$ ). Значения суммарной ЖЕЛ для каждого легкого практически одинаковы ( $p > 0,1$ ). При очаговых изменениях легких при использовании предложенной методики парадоксальные результаты не наблюдались.

Таким образом, традиционные радионуклидные методы оценки состояния вентиляции легких по радиоактивным инертным газам не позволяют физиологически корректно определять регионарные объемы и емкости. Привязка «зон интереса» к одним и тем же участкам легкого при различных дыхательных маневрах должна быть неотъемлемой частью методики сцинтиграфического определения регионарных объемов и емкостей и осуществима при дополнительной сцинтиграфии легких по меченным микроэмболам. Предложенные методические подходы при определении регионарных объемов и емкостей позволяют исключить систематическую ошибку.

## Література

- 1.Чучалин И.А. // Пульмонол. — 2001. — № 1. — С. 6–11.
2. Pulmonary rehabilitation / Edit. C.F. Donner, M. Decramer. — Eur. Respir. Society, 2000. — 200 p.
3. Гриппи М.А. Патофизиология легких. — М.: Восточ. книж. комп., 1997. — 344 с.
4. Руководство по ядерной медицине: Учеб. пособие Т.П. Сиваченко, Д.С. Мечев, В.А. Романенко и др. / Под ред. Т.П. Сиваченко. — К.: Вища шк., 1991. — 535 с.
5. Клиническая рентгенорадиология (руководство). — Т. IV: Радионуклидная диагностика. Компьютерная томография / Под ред. Г.А. Зедгенидзе / АМН СССР. — М.: Медицина, 1985. — 368 с.

Г.О. Романенко, В.Ю. Кундін

Національний медичний університет ім. О.О. Богомольця, Київ

### Непряма радіонуклідна цистографія: переваги та недоліки

### Indirect radionuclide cystography: advantages and disadvantages

У дитячій урологічній і нефрологічній практиці для діагностики міхурово-сечовідного рефлюксу (МСР) застосовують променеві методи досліджень, основними з яких є рентгенологічний, ультразвуковий та радіонуклідний. Утім, на сьогодні остаточно не визначені методологічні підходи до їх застосування, оцінки ефективності та діагностичної значущості [1]. Найпоширенішим методом діагностики і контролю МСР і дотепер залишається рентгенівські мікційні цистографія та цистоуретрографія, на яких базується класифікація МСР [2]. Недоліком рентгенологічного визначення МСР є значне променеве навантаження на дитину, неможливість динамічних спостережень за перебігом патологічного процесу, а також катетеризація сечового міхура. Ультразвукові дослідження дозволяють визначити МСР, коли в сечовий міхур через катетер під тиском вводять фізіологічний розчин і невелику кількість повітря та реєструють закид розчину в сечовід. Але ультразвуковий метод оцінки наявності МСР є інвазивним, має низьку вірогідність, для його виконання потрібен фахівець, що здійснює катетеризацію сечового міхура [3].

На жаль, нині ще недостатньо уваги приділяється можливостям радіонуклідних методів дослідження, зокрема, динамічній реноцинтиграфії (ДРСГ) та непрямій радіонуклідній цистографії (НРЦГ) [4], які дозволяють одночасно з виявленням рефлюксів визначити і функціональний стан нирок. При проведенні

лише ДРСГ діагностуються транзиторний і пасивний рефлюкси, а при її доповненні НРЦГ — ще й активний [4].

У сучасній літературі недостатньо публікацій, присвячених комплексному розгляду вищезазначеної проблеми. Як у вітчизняних, так і у зарубіжних авторів зустрічаються протиріччя в поглядах на цю проблему і шляхи її вирішення. Згідно з поглядами вітчизняних авторів, при ультразвуковому та рентгенологічному аналізі рефлюкс виявляється лише у 6 % дітей з МСР. За даними зарубіжної літератури, проведення радіонуклідних методів підвищує реєстрацію МСР до 10 % у дітей 1-го року життя, до 47 % — старше 8 років [6]. Слід відзначити, що у вітчизняній урологічній практиці радіонуклідні дослідження не набули широкого застосування. Це пов'язано з недостатньою діагностичною базою спеціалізованих медичних закладів урологічного та нефрологічного профілю і малою інформованістю урологів і нефрологів про діагностичну цінність і необхідність подібних досліджень. Зазначене вище свідчить, що радіонуклідні методи дослідження необхідно включати в комплекс обстеження хворих із підоозрою на МСР, з хронічною інфекцією нирок і при вадах розвитку сечової системи, а також при динамічному спостереженні за такими хворими. Крім цього, на нашу думку, у деяких пацієнтів результати радіонуклідних досліджень дозволяють виключити рентгенологічні методи з алгоритму обстеження, і тим самим зменшити травматичність і підвищити безпеку досліджень.

Відомо, що НРЦГ є методикою визначення МСР (активних, пасивних та транзиторних) сцинтиграфічним методом на гамма-камері з використанням нефротропних радіофармпрепаратів (РФП) швидкої елімінації. Завдання НРЦГ — діагностика МСР та динамічне спостереження за хворими з діагностованим рефлюксом.

Виконується НРЦГ у два етапи. Процедура здійснюється відповідно до протоколу, який запропонували A. Bockisch і R. Piepenburg [6]. Після попередньої гідратації проводять ДРСГ з  $^{99m}$ Tc-MAG3 (меркаптоацетилтригліцином),  $^{99m}$ Tc-ЕС (етилендицистеїном) або  $^{99m}$ Tc-ДТПО (діетилентриамінопентаоцетатом) [5], за загальноприйнятою методикою для одержання інформації про морфологію і функціональний стан нирок і сечовивідних шляхів. Безпосередньо перед обстеженням дуже важливо спорожнити сечовий міхур, оскільки в наповненому сечівнику концентрація в ньому радіоактивної мітки буде істотно ниж-

### Переваги та недоліки НРЦГ

Переваги	Недоліки
1. Можливість оцінки структури та роздільної функції нирок	1. Невисока чутливість при введенні недостатньої активності РФП
2. Відсутність необхідності катетеризації сечового міхура, фізіологічність тесту	2. Результати методу залежать від функції нирок та швидкості їх спорожнювання від введеного РФП
3. Променеве навантаження менше, ніж при проведенні рентгенівської мікційної цистографії	3. Променеве навантаження може незначно зростати у випадку значних порушень ниркового дренажу (але все ж складе 1–2 % від рентгенівської МЦГ)

чию, що значно знизить чутливість методу при виявленні МСР [6]. Краще при ДРСГ вводити РФП з активністю не менше:  $^{99m}$ Tc-ДТПО — 1,5–2,0 МБк/кг,  $^{99m}$ Tc-MAG3 та  $^{99m}$ Tc-ЕС — 3 МБк/кг. Інформацію збирають протягом 20 хв згідно з обраними «зонами інтересу»: нирки, сечоводи і сечовий міхур отримують криві активність—час. Підйом кривої над зоною нирки чи сечовода та синхронне зменшення активності в сечовому міхурі вважають пасивним МСР. Після завершення ДРСГ пацієнта просять не мочитися якнайдовше. Після достатнього фізіологічного заповнення сечового міхура пацієнта саджають спиною до детектора гамма-камери у спеціальне крісло із сечоприймачем і записують інформацію про зображення сечових шляхів з експозицією 2 кадри за секунду. Через 30–40 с від початку запису інформації пацієнту пропонують спорожнити сечовий міхур і через 4 хвилини запис інформації закінчують. Таким чином, одержується серія зображень: до початку, під час і після сечовипускання. Записані кадри опрацьовують за стандартними комп’ютерними програмами і отримують інформацію про залишкову активність в нирках, стан сечових шляхів і наявність рефлюксів. Значне підвищення активності над ниркою або сечоводом, одночасно з мікцією (сечовипусканням), вказує на наявність МСР [6].

Перевагами НРЦГ є відсутність катетеризації сечового міхура, РФП потрапляє у сечовий міхур фізіологічним шляхом, уретра не травмується катетером, а сечовий міхур — введеним розчином, на відміну від рентгенівської і прямої радіонуклідної цистографії [2]. Також має значення низьке променеве навантаження: доза опромінення при радіонуклідному дослідженні не перевищує 0,4 мЗв (незалежно від часу і режиму запису) проти не менш ніж 1–2 мЗв при рентгенівській мікційній цистографії (МЦГ) в залежності від умов обстеження і кількості знімків [4]. Перевагою радіонуклідного методу при комбінації ДРСГ з НРЦГ є діагностика швидких та короткоплинних МСР, в порівнянні з рентгенівською мікційною цистографією, завдяки більшому часу для реєстрації МСР. Окремо потрібно визначити, що при проведенні радіонуклідних досліджень реєстрації рефлюксу не будуть заважати кісткові структури, вміст кишечника, що досить часто ускладнює інтерпретацію рентгенівської цистографії та даних УЗД [2, 4].

У маленьких дітей, які недоступні контакту з медичним персоналом, сечовипускання за командою можливо замінити натисканням на ділянку сечового міхура. Реєстрація зображень у таких пацієнтів проводиться в лежачому положенні на спині; в деяких випадках вдається до медикаментозного сну дітей на час дослідження. Переваги та недоліки НРЦГ представлені в таблиці.

При оцінці результатів НРЦГ треба керуватися таким правилом: позитивні результати надійні, тоді як негативні повинні при серйозних підозрах на наявність МСР перевірятися за допомогою прямої радіонуклідної цистографії [6].

Проте радіонуклідний метод має і деякі недоліки: повільне заповнення сечового міхура при зниженні функції нирок та дещо менша його чутливість в порівнянні з рентгенівським методом. Хоча, за деякими оцінками, існує високий кореляційний зв’язок між непрямою радіонуклідною та рентгенівською мікційною цистографією, яку вважають «золотим стандартом» [4]. Результати методу залежать і від повноти психологічного контакту з пацієнтом у процесі дослідження.

Таким чином, зважаючи на переваги радіонуклідного методу визначення МСР, можно рекомендувати НРЦГ для впровадження в практику роботи відділень радіонуклідної діагностики. Дані методика проста у виконанні та в інтерпретації результатів досліджень, не потребує застосування інвазивних технологій.

### Література

1. Люлько А.В., Терещенко А.В., Сеймівський Д.А. Нарушения уродинамики мочевыводящих путей у детей. — Дніпропетровськ: Пороги, 1995. — 375 с.
2. Возіанов О.Ф., Сеймівський Д.А., Бліхар В.Є. Вроджені вади сечових шляхів у дітей. — Тернопіль: Укрмедкнига, 2000. — 220 с.
3. Джавад-Заде М.Д., Соколенко И.Н., Бабаев А.К. // Урол. и нефрол. — 1994. — №3. — С. 2–5.
4. Столин А.Р., Макаревич В.Ф., Ермоленко Ю.А. // Новости лучевой диагностики. — 1998. — №3. — С. 29–31.
5. Piepsz A. // Eur. J. Radiol. — 2002. — Vol. 43. — P. 146–153.
6. Bockisch A., Piepenberg R. // Der Nuklearmediziner. — 1994. — №2. — S.155–163.

Р.М. Смолякова, А.А. Машевский,  
Б.Д. Шитиков, Н.М. Егорова,  
Н.Н. Антоненкова, Е.А. Мохонь,  
Ю.В. Гуляева, В.А. Матусевич,  
М.Н. Клименков

ГУ «НИИ онкологии и медицинской радиологии им. Н.Н. Александрова»,  
Минск, Республика Беларусь

### Радиоиммунная оценка гормонального статуса у больных раком грудной железы

### Radioimmune assessment of the hormonal state in patients with breast cancer

Лечение больных раком грудной железы (РГЖ) является актуальной проблемой современной клинической онкологии. В Республике Беларусь в течение десятилетия наблюдается увеличение заболеваемости РГЖ с 45,8 до 57,2 на 100 тыс. женского населения. Несмотря на совершенствование системы ранней диагностики РГЖ и улучшение методов лечения, у значительной части больных после ранее проведенного комбинированного и комплексного лечения развиваются отдаленные метастазы. Это свидетельствует о специфике опухолей, взаимоотношениях опухоли и организма-носителя, находящихся в сложном времен-

ном и биологическом соотношении через системуproto- и онкогенов, обеспечивающих не только окончательный переход клетки к злокачественной, но и определяющих степень злокачественности. Эффективность лечения и прогноз течения заболевания у больных РГЖ зависит от гормонального статуса пациента.

Женские половые гормоны играют важную роль в возникновении и развитии гормоночувствительных опухолей грудной железы (ГЖ). Известно, что приблизительно у 2/3 больных этой формой рака диагностируются рецептор-положительные опухоли. Вместе с тем далеко не все новообразования чувствительны к эндокринотерапии. В последние годы значительное внимание уделяется исследованиям молекулярных механизмов гормональной чувствительности опухоли. Инициация ее роста может происходить посредством активации онкогенов или влияния на синтез нукleinовых кислот при участии факторов роста и стероидных гормонов. Одним из путей синтеза эстрогенов в организме женщины является конверсия андрогенов в эстрадиол и эстрон с участием фермента ароматазы (эстроген-сингтетазы). Возможен также синтез женских половых гормонов при воздействии на сульфат эстрона фермента сульфатазы, а также 17 $\beta$ -гидроксистероиддегидрогеназы. Известно, что ткани РГЖ содержат все ферменты, необходимые для образования эстрадиола из его предшественников. У пациенток в репродуктивном возрасте основным источником эстрогенов являются зернистые клетки яичников. В состоянии менопаузы эстрогены синтезируются преимущественно в жировой, мышечной, костной тканях путем периферической ароматизации андрогенов. Ароматаза входит в группу ферментов цитохрома P-450. Данный фермент определяется в эндоплазматическом ретикулуме периферических тканей и опухоли ГЖ и служит катализатором преобразования андрогенов в эстрогены.

Цель данного исследования — определить гормональный статус больных РГЖ для выбора оптимальной тактики лечения.

Материалом исследования послужили данные 132 пациенток с установленным диагнозом РГЖ I—IV стадии, находившихся на обследовании и лечении в ГУ «Научно-исследовательский институт онкологии и медицинской радиологии им. Н.Н. Александрова». Больные РГЖ (основная группа) включались в исследование после клинического, инструментального и лабораторного обследования с обязательным морфологическим подтверждением диагноза. Степень распространения опухолевого процесса определялась в соответствии с Международной классификацией злокачественных опухолей по системе TNM (ред. 2002).

Средний возраст пациенток, включенных в исследование, составил 59,3 ± 2,4 года.

В группу контроля включена 71 клинически здоровая женщина, соответствующая возрасту больных основной группы.

Уровень эстрадиола, прогестерона, тестостерона,

лютеотропного гормона (ЛГ), фолликулостимулирующего гормона (ФГ) и кортизола в крови определяли радиоиммунным методом (РИА с  $^{125}\text{I}$ ) с использованием наборов ХОП ИБОХ НАН Беларуси.

Рецепторы стероидных гормонов в опухолях (эстрогенов и прогестерона) определяли радиоконкурентным методом с использованием трития  $^3\text{H}$ . При расчете концентрации рецепторов 10 фмоль на 1 мг цитозольного протеина для эстрогенов и 20 фмоль на 1 мг белка для прогестерона считается пороговой для оценки рецепторного статуса опухоли.

Полученные данные обработаны методом вариационной статистики с применением критериев Фишера—Стюдента.

Анализ данных по изучению гормонов передней доли гипофиза показал, что у пациентов с РГЖ наблюдалось значительное повышение концентрации в крови ФСГ ( $47,5 \pm 1,94 \text{ МЕ}_d/\text{л}$ ) по отношению к значениям в группе контроля ( $32,4 \pm 0,46 \text{ МЕ}_d/\text{л}$ ). Уровень лютеинизирующего гормона в крови больных РГЖ ( $9,25 \pm 0,18 \text{ МЕ}_d/\text{л}$ ) в 1,5 раза выше по сравнению с таковым в группе контроля ( $13,8 \pm 0,32 \text{ МЕ}_d/\text{л}$ ). В результате проведенных исследований установлено повышение содержания эстрадиола у лиц с РГЖ ( $0,53 \pm 0,02 \text{ нмоль}/\text{л}$ ) до 196,3% по отношению к этому показателю в контрольной группе ( $0,27 \pm 0,03 \text{ нмоль}/\text{л}$ ). Концентрация прогестерона возросла в группе ( $0,94 \pm 0,11 \text{ нмоль}/\text{л}$ ) в 7,8 раза по отношению к группе сравнения ( $0,12 \pm 0,03 \text{ нмоль}/\text{л}$ ).

Анализ выполненных исследований показал, что у больных РГЖ достоверно значимо повышено содержание в крови эстрадиола, прогестерона и ФСГ по сравнению с контрольной группой.

При исследовании рецепторного статуса выявлено, что содержание гормональных рецепторов в опухолевых клетках ГЖ варьировало в пределах: рецепторы эстрогенов — от 0 до 199,3 фмоль/мг белка, рецепторы прогестерона — от 0 до 109,0 фмоль/мг белка.

Эстроген- и прогестерон-позитивные рецепторы опухолей отмечены у 62 пациенток (47%). У 31 (23,5%) выявлены эстроген-позитивные опухоли, у 8 (6%) — прогестерон-позитивные.

Проведенными исследованиями установлено, что у 32 больных (23,5%) РГЖ выявлены эстроген- и прогестерон-негативные опухоли.

Присутствие рецепторов эстрогенов в первичной опухоли ГЖ свидетельствует о ее потенциальной чувствительности к лечебным мероприятиям, направленным на удаление источника эстрогенов из организма или на противодействие их эффектам (овариэктомия, использование антиэстрогенов или ингибиторов ароматазы). Рецепторы прогестерона представляют интерес как молекулярный маркер РГЖ не только потому, что являются первым необходимым звеном реакции клетки на прогестины и повышают ее чувствительность к соответствующим препаратам, но и потому, что их синтез в клетках РГЖ индуцируется

эстрогенами. Таким образом, наличие рецепторов прогестерона может свидетельствовать о функциональной активности рецепторов эстрогенов.

На основании полученных данных можно предположить, что наиболее благоприятный эффект от лечения, в том числе гормонотерапии, можно прогнозировать практически у половины больных РГЖ (47 %) с позитивными по обоим видам рецепторов опухолями. В то же время, у пятой части заболевших (23,5 %) с рецептор-негативными опухолями, прогноз заболевания неблагоприятен.

Г. Г. Сукач, О. І. Солодянникова,  
В. В. Трацевський

ДУ «Інститут онкології АМН України», Київ  
**Радіофармацевтичні препарати  
в лікуванні та моніторингу хворих  
на медуллярний рак щитоподібної  
залози**

### **Radiopharmaceuticals in treatment and monitoring of patients with medullary thyroid cancer**

Обмеженість можливостей променевих і хемотерапевтических методів лікування медуллярного раку щитоподібної залози (МРЩЗ) призвела до того, що почали застосовувати радіонуклідні фармпрепарати (РФП). Найчастіше використовують  $^{131}\text{I}$ -мета-йодобензилгуанідин (МБГ), а також аналоги соматостатину [Troncone L., 1997, Castellani M. R., 2003]. Проблемним залишається питання моніторингу хворих на МРЩЗ та оцінки його ефективності.

Мета нашого дослідження — проаналізувати результати лікування  $^{131}\text{I}$ -МБГ хворих на МРЩЗ, а також використання  $^{99\text{m}}\text{Tc}$ -карбомеком для спостереження та оцінки ефективності лікування цих пацієнтів.

Згідно з протоколом, затвердженим Європейською Асоціацією ядерних медиків, проліковано 18 хворих, яким внутріенно вводили  $^{131}\text{I}$ -МБГ в дозі 3,7 ГБк. Ускладнень та побічних проявів препарату під час інфузії та протягом 5 днів перебування в стаціонарі не відзначалось. Трьом хворим терапія проведена повторно з інтервалом в один рік. Спостереження за пацієнтами здійснювалося на основі проведення раз у півроку сцинтиграфії (СГ) щитоподібної залози з  $^{99\text{m}}\text{Tc}$ -карбомеком, визначення рівня кальцитоніну в крові, ультразвукового дослідження та, в деяких випадках, комп'ютерної томографії. Повторно проліковані пацієнти були під наглядом у відділі упродовж двох років, за цей час кожному з них проведено сканування всього тіла на залишковій лікувальній дозі МБГ та тричі з  $^{99\text{m}}\text{Tc}$ -карбомеком. У 7 хворих, які пройшли одноразове лікування МБГ, тричі виконане діагностичне сканування, термін спостереження становив півтора року. У восьми пацієнтів, пролікованих  $^{131}\text{I}$ -МБГ, термін спостереження — один рік, діагностичні обстеження з МБГ і  $^{99\text{m}}\text{Tc}$ -карбомеком вико-

нані двічі. Двадцять п'яти хворим діагностичне сканування з  $^{99\text{m}}\text{Tc}$ -карбомеком проводили після хірургічного лікування, з них у 12 — один раз, у 13 — двічі. За цими хворими 0,5—1,0 року вели спостереження.

У процесі спостереження за хворими виявлено різномірна реакція на лікування  $^{131}\text{I}$ -МБГ. У 12 із 18 хворих контрольні ультразвукові дослідження, СГ та рівень кальцитоніну через 6, 9, 12 місяців не виявили ознак пролонгації патологічного процесу. У 1 хворої після першого курсу терапії підвищення рівня кальцитоніну через 6 місяців підтвердилося появою гіперфікованих лімфатичних вузлів на СГ з  $^{99\text{m}}\text{Tc}$ -карбомеком. У 1 хворої з наявністю метастатичних вогнищ у печінці після терапії  $^{131}\text{I}$ -МБГ контроль з  $^{99\text{m}}\text{Tc}$ -карбомеком через півроку не виявив негативної динаміки. У 2 хворих з синдромом МЕН та медулярною пухлиною в щитоподібній залозі СГ з  $^{131}\text{I}$ -МБГ, проведена на залишковій лікувальній дозі, виявила зниження накопичення РФП, однак СГ з  $^{99\text{m}}\text{Tc}$ -карбомеком, проведена через 6 місяців після курсу лікування та рівень кальцитоніну не виявили ознак прогресування захворювання. У 4 хворих із групи нелікованих з допомогою  $^{131}\text{I}$ -МБГ за даними діагностичного сканування з  $^{99\text{m}}\text{Tc}$ -карбомеком була проведена дисекція шийних лімфатичних вузлів. Контрольне дослідження через півроку з  $^{99\text{m}}\text{Tc}$ -карбомеком ознак пролонгації процесу не виявило.

Визначення ступеня ефективності використання  $^{131}\text{I}$ -МБГ для лікування МРЩЗ потребує більшої кількості спостережень, разом з тим обстеження навіть невеликої групи пацієнтів дозволяє передбачити, що використання радіонуклідної терапії та діагностики може значно підвищити результативність комплексного лікування та моніторингу хворих на МРЩЗ.

С.І. Турчина, О.І. Плехова, Г.В. Косовцова,  
С.Х. Череватова

ДУ «Інститут охорони здоров'я дітей  
та підлітків АМН України», Харків

**Радіоімунні методи в діагностиці  
гормональних змін у хлопців-підлітків  
із затримкою статевого розвитку  
та дифузним збільшенням  
щитоподібної залози**

**Radioimmune methods of hormonal  
changes diagnosis in teen-age boys  
with sexual development retardation  
and diffuse enlargement of the thyroid  
gland**

Однією з актуальних проблем, розв'язанню якої присвячені праці як вітчизняних, так і іноземних дослідників, є вивчення впливу патології щитоподібної залози (ЩЗ) на функцію репродуктивної системи, а також визначення імовірних механізмів взаємодії тироїдної та репродуктивної систем за умов порушен-

ня рівня тироїдних і статевих гормонів [1–3]. Утім, у доступній літературі майже немає публікацій про дослідження перебігу пубертату на фоні тироїдної дисфункції. Багаторічні спостереження за підлітками з порушеннями статевого дозрівання дозволили виявити серед них значну кількість пацієнтів з патологією ЩЗ, передусім із дифузним нетоксичним зобом (ДНЗ) [4]. Відсутність достатніх даних про характер взаємодії тироїдної та гіпофізарно-гонадної систем при фізіологічному і патологічному перебігу пубертату в чоловічому організмі стала обґрунтуванням необхідності здійснити дане дослідження.

Метою нашої праці є вивчення особливостей функціональної активності тироїдної та гіпофізарно-гонадної системи у хлопців-підлітків із затримкою статевого розвитку (ЗСР).

Під нашим спостереженням перебувало 169 хлопців-підлітків віком від 14 до 18 років із ЗСР I–III ступеня, які вперше звернулися до Інституту охорони здоров'я дітей та підлітків (ІОЗДП) АМНУ з приводу даного захворювання. Клінічне обстеження пацієнтів було проведено за допомогою загально-клінічних методів, антропометрії з вимірюваннямросту, маси тіла. Досягнутий рівень статевого дозрівання обстежених оцінювали за індексом маскулінізації (IM) [5]. Дослідження гормонального статусу передбачало визначення рівня тиротропіну (ТТГ), загальних фракцій тироксину та трийодтироніну ( $T_4$  та  $T_3$ ), тестостерону (T) і естрадіолу ( $E_2$ ) радіоімуунним методом у сироватці крові. Дослідження виконували за допомогою радіоімунологічних наборів фірми "Immunotech" (A Backman Coulter Company, Чехія) із застовуванням 12-канального гамма-лічильника «Наркотест» вітчизняного виробництва. Імуноферментними методами досліджували вміст лютропіну (ЛГ) і фолітропіну (ФСГ). Ультразвукове дослідження (УЗД) щитоподібної залози проводили за допомогою апарату "Hitachi EUV-405 plus" з лінейним датчиком 7,5 МГц.

Отримані результати опрацьовані за допомогою пакета програм "Excel" та "STATGRAPHICS Plus".

Відповідно до запропонованої раніше класифікації [6], у 59,2 % підлітків із ЗСР діагностований перший (I) клінічний варіант ЗСР, що характеризується затримкою росту (ЗР). В 33,7 % випадків в обстежених не встановлено істотних відхилень у фізичному розвитку — другий (II) клінічний варіант. Третій (III) клінічний варіант, при якому ЗСР поєднується з надмірною вагою тіла, зареєстровано у 7,1 % хворих.

У результаті комплексного клініко-гормонального та інструментального (УЗД) обстеження у 37,3 % хлопців із ЗСР був діагностований дифузний нетоксичний зоб (ДНЗ). Серед пацієнтів зі збільшеною ЩЗ підлітки із I клінічним варіантом ЗСР склали 22,5 %, а з II клінічним варіантом — 14,8 %.

Зіставлення величин основних клінічних параметрів хворих із різними клінічними варіантами ЗСР залежно від наявності у них дифузного збільшення ЩЗ не

виявило істотних відмінностей у пацієнтів із ДНЗ та без нього (табл. 1). Однак у підлітків із I клінічним варіантом і ДНЗ частіше реєстрували більш легку форму захворювання (ЗСР I ступеня — у 62,5 % обстежених), рідше — II ступінь ЗСР (у 25,0 %), ніж у пацієнтів із нормальними розмірами ЩЗ (37,5 % і 50,0 %, відповідно).

Результати дослідження тироїдного статусу у підлітків із ЗСР не показали вірогідних відмінностей середніх по групі величин показників порівняно з нормативними (ТТГ —  $1,84 \pm 0,21$  МО/л,  $T_4$  —  $99,43 \pm 5,67$  нмоль/л,  $T_3$  —  $2,39 \pm 0,22$  нмоль/л). Однак слід відзначити, що завдяки здійсненому індивідуальному аналізу було встановлено коливання рівня ТТГ в досить широких межах (0,4–5,8 МО/л). При цьому збільшення вмісту ТТГ понад 2,5 МО/л, зареєстроване тільки у 12,1 % обстежених, поєднувалося з нормальними значеннями рівнів тироїдних гормонів. З огляду на високий ризик формування субклінічного гіпотирозу у пацієнтів із порушенням статевого розвитку в даній групі було визнано доцільним проведення проби з тироліберином та вирішення питання щодо призначення патогенетичної терапії.

Найхарактернішою рисою тироїдного статусу у підлітків із ЗСР було збільшення вмісту  $T_3$  і співвідношення  $T_3/T_4$ , виявлене у 36,4 % пацієнтів. Серед обстежених із рівнем  $T_3$ , що перевищував 2,49 нмоль/л, значення показника гормону коливалося в діапазоні 2,5–5,6 нмоль/л, а співвідношення  $T_3/T_4$  в деяких випадках зростало понад 0,04, що вірогідно вище нормативних показників.

Зіставлення характеру тироїдного профілю у підлітків із різними варіантами ЗСР показало, що найвищий рівень  $T_3$ , на фоні збільшення співвідношення  $T_3/T_4$ , реєстрували у хлопців із ізольованою формою ЗСР (табл. 2). У 33,3 % хворих з підвищеним рівнем  $T_3$  виявлявся ДНЗ I–II ст.

З метою вивчення функціональної активності тироїдної системи на фоні дифузного збільшення ЩЗ у хлопців із ЗСР було проведено аналіз значень показників ТТГ і тироїдних гормонів у пацієнтів із ДНЗ та без нього. Зіставлення середніх по групі величин показників тироїдного профілю у підлітків із I і II клінічними варіантами з урахуванням розміру ЩЗ, показало, що хворі з ЗР і ДНЗ маливищий рівень тироїдних гормонів ( $T_4$  —  $109,79 \pm 8,90$  нмоль/л і  $T_3$  —  $2,19 \pm 0,21$  нмоль/л) порівняно з пацієнтами із I клінічним варіантом та нормальними розмірами ЩЗ ( $T_4$  —  $115,41 \pm 11,33$  нмоль/л і  $T_3$  —  $2,04 \pm 0,16$  нмоль/л,  $p < 0,05$ ). Навпаки, у хлопців з ізольованою формою ЗСР при збільшенні ЩЗ реєстрували нижчі середні по групі значення показників ТТГ ( $1,87 \pm 0,35$  мМО/л) і тироїдних гормонів, особливо  $T_3$  ( $1,98 \pm 0,15$  нмоль/л), ніж у підлітків із II клінічним варіантом і нормальними розмірами ЩЗ ( $1,98 \pm 0,23$  мМО/л і  $T_3$  —  $2,38 \pm 0,23$  нмоль/л,  $p < 0,05$ ) (табл. 3).

Аналіз рівня статевих і гонадотропних гормонів у сироватці крові у пацієнтів із різними клінічними варіантами з урахуванням наявності у них ДНЗ показа-

Таблиця 1

*Клінічна характеристика пацієнтів із наявністю/відсутністю ДНЗ і різними варіантами ЗСР ( $M \pm m$ )*

Параметр	Клінічна група підлітків із ЗСР			
	І клінічний варіант		ІІ клінічний варіант	
	без ДНЗ, $n = 61$	з ДНЗ, $n = 38$	без ДНЗ, $n = 32$	з ДНЗ, $n = 25$
Зрост, см	$146,69 \pm 0,90$	$146,04 \pm 0,95$	$153,95 \pm 1,21$	$151,54 \pm 1,24$
Вага, кг	$35,69 \pm 0,65$	$35,16 \pm 0,61$	$41,48 \pm 1,09$	$37,42 \pm 1,04$
ІМ, ум. од.	$3,48 \pm 0,08$	$3,46 \pm 0,09$	$3,33 \pm 0,07$	$3,43 \pm 0,09$

Таблиця 2

*Характер тироїдного профілю у пацієнтів із різними варіантами ЗСР ( $M \pm m$ )*

Параметр	Клінічна група підлітків із ЗСР			
	I клінічний варіант, $n = 63$	II клінічний варіант, $n = 32$	III клінічний варіант, $n = 5$	
ТТГ, мМО/л	$M \pm m$	$1,82 \pm 0,19$	$2,22 \pm 0,45$	$2,15 \pm 0,8$
$T_4$ , нмоль/л	$M \pm m$	$111,92 \pm 6,81$	$109,43 \pm 6,06$	$110,12 \pm 20,50$
$T_3$ , нмоль/л	$M \pm m$	$2,06 \pm 0,13$	$2,25 \pm 0,14$	$2,05 \pm 0,71$
$T_3/T_4$ , ум. од.	$M \pm m$	$0,020 \pm 0,001$	$0,023 \pm 0,0018$	$0,021 \pm 0,006$

Таблиця 3

*Характер тироїдного профілю у пацієнтів із ДНЗ і різними варіантами ЗСР ( $M \pm m$ )*

Параметр	Клінічна група підлітків із ЗСР			
	І клінічний варіант		ІІ клінічний варіант	
	без ДНЗ, $n = 40$	з ДНЗ, $n = 23$	без ДНЗ, $n = 18$	з ДНЗ, $n = 14$
ТТГ, мМО/л	$M \pm m$	$1,82 \pm 0,63$	$1,89 \pm 0,60$	$1,98 \pm 0,23$
$T_4$ , нмоль/л	$M \pm m$	$109,79 \pm 8,19$	$115,41^* \pm 11,33$	$108,97 \pm 7,20$
$T_3$ , нмоль/л	$M \pm m$	$2,04 \pm 0,16$	$2,19^* \pm 0,21$	$2,38 \pm 0,23$
$T_3/T_4$ , ум. од.	$M \pm m$	$0,0240 \pm 0,0024$	$0,0210 \pm 0,0016$	$0,0210 \pm 0,0017$

Примітка. \* —  $p < 0,05$ , вірогідність різниці величин показників у пацієнтів із ДНЗ і без нього.

Таблиця 4

*Рівень статевих і гонадотропних гормонів у сироватці крові пацієнтів із ДНЗ і різними варіантами ЗСР ( $M \pm m$ )*

Параметр	Клінічна група підлітків із ЗСР			
	І клінічний варіант		ІІ клінічний варіант	
	без ДНЗ, $n=55$	з ДНЗ, $n=30$	без ДНЗ, $n=27$	з ДНЗ, $n=19$
Тестостерон, нмоль/л	$M \pm m$	$3,59 \pm 0,43$	$3,00 \pm 0,61$	$2,98 \pm 0,47$
Естрадіол, нмоль/л	$M \pm m$	$0,46 \pm 0,08$	$0,62^* \pm 0,10$	$0,48 \pm 0,14$
$T/E_2$ , ум. од.	$M \pm m$	$40,90 \pm 12,52$	$21,07^* \pm 8,38$	$30,83 \pm 8,85$
ЛГ, мМО/л	$M \pm m$	$2,88 \pm 0,30$	$3,29 \pm 0,63$	$3,39 \pm 0,84$
ФСГ, мМО/л	$M \pm m$	$2,79 \pm 0,40$	$4,00^* \pm 0,62$	$4,45 \pm 0,58$

Примітка. \* —  $p < 0,05$ , вірогідність різниці величин показників у пацієнтів із ДНЗ і без нього.

зав, що характер виявлених змін також визначався клінічним варіантом ЗСР. Так, у хлопців із І клінічним варіантом і ДНЗ рівень співвідношення  $T/E_2$  ( $21,07 \pm 8,38$  ум. од.) був вірогідно нижчим, ніж у підлітків із нормальними розмірами ІІЗ ( $40,90 \pm 12,52$  ум. од.,  $p < 0,05$ ). Величина даного параметра визначалась як певним зниженням рівня  $T$  ( $3,00 \pm 0,61$  нмоль/л), так і вірогідно вищим вмістом  $E_2$  ( $0,62 \pm 0,10$  нмоль/л,  $p < 0,05$ ) в сироватці крові. Зазначені зміни поєднувалися з вірогідним збільшен-

ням рівня ФСГ ( $4,00 \pm 0,62$  мМО/л,  $p < 0,05$ ) (табл. 4).

У підлітків із ІІ клінічним варіантом і ДНЗ зменшена співвідношення  $T/E_2$  ( $19,07 \pm 4,14$  ум. од.), найімовірніше, пояснювалося зменшенням вмісту як  $T$  ( $2,75 \pm 0,66$  нмоль/л), так і  $E_2$  ( $0,31 \pm 0,11$  нмоль/л,  $p < 0,05$ ) в сироватці крові. Рівень ФСГ ( $2,98 \pm 0,46$  мМО/л) у хлопців із ДНЗ також був вірогідно нижчим, ніж у хворих з ізоляваною ЗСР і нормальними розмірами ІІЗ ( $4,45 \pm 0,58$  мМО/л,  $p < 0,05$ ).

Здійснення індивідуального аналізу величин основних показників гормонального статусу у підлітків із ЗСР в залежності від форми захворювання і наявності ДНЗ дозволило встановити, що у пацієнтів із ЗСР в поєднанні із ЗР (І клінічний варіант) і ДНЗ частіше реєстрували підвищення рівня ТТГ понад 2,0 мМО/л (45,45 %),  $T_3$  — понад 2,49 нмоль/л (31,81 %) і співвідношення  $T_3/T_4$  — понад 0,0018 ум. од. (63,64 %), ніж у підлітків без ДНЗ (30,77; 19,44 та 55,56 %, відповідно). Також серед хлопців із ДНЗ в три рази частіше зареєстровано значне зменшення співвідношення  $T/E_2$  (менше 10,0 ум. од.).

Наявність ДНЗ у підлітків із ізольованою ЗСР (ІІ клінічний варіант) поєднувалась зі збільшенням питомої ваги пацієнтів з «нормально високими» значеннями ТТГ (28,5 %), у них частіше діагностували нормальні значення  $T_3$  (66,67 %) і співвідношення  $T_3/T_4$  (33,33 %). Поряд з цим, частота нормальних і декілька підвищених значень  $T_4$ , а також змін у величині співвідношення  $T/E_2$  не залежала від збільшення ІЦЗ.

Наведені дані свідчать про зміну функціональної активності тироїдної системи у хлопців-підлітків із ЗСР. Однією з найбільш характерних ознак тироїдного профілю є збільшення продукції трийодтироніну. Спряженість змін у тироїдному профілі при дифузному збільшенні ІЦЗ визначається клінічним варіантом захворювання. Виявлені особливості пояснюються, певно, різними патогенетичними механізмами формування гормональних порушень при різних клінічних варіантах ЗСР. Безперечним є і тот факт, що зміни в продукції тироїдних гормонів впливають на функціональну активність гіпофізарно-гонадної системи, що вимагає подальшого поглиблленого вивчення.

Отже, можна відзначити, що у третини пацієнтів із ЗСР діагностований ДНЗ, який у більшості випадків поєднувався із ЗР. Характер тироїдного профілю у підлітків із ЗСР визначався клінічним варіантом захворювання. В більшості випадків у хлопців із ДНЗ діагностують підвищення рівня трийодтироніну сироватки крові і співвідношення  $T_3/T_4$ . У підлітків із ЗСР та ЗР збільшення ІЦЗ поєднувалося з вірогідним підвищением рівнів ФСГ, естрадіолу в сироватці крові і зниженням співвідношення  $T/E_2$ .

### Література

1. Касаткина Э.П. // Пробл. эндокринол. — 2001. — Т. 47, № 4. — С. 3–7.
2. Перминова С.Г., Фадеев В.В., Корнеева И.Е. и др. // Пробл. репродукции. — 2006. — № 1. — С. 70–77.
3. Титенко Т.М. // Педіатр., акушер. та гінекол. — 2006. — № 1. — С. 98–100.
4. Задержка полового развития мальчиков / Плехова Е.И., Хижняк О.О., Левчук Л.П. и др. — М.: Знание-М, 2000. — 112 с.
5. Клиническая диагностика и терапия мужского препубертатного гипогонадизма: Метод. рекомендации. / Сост. А.Н. Демченко. — Харьков, 2000. — 16с.
6. Е.И. Плехова, А.В. Косовцева, С.И. Турчина, Л.П. Левчук // Пробл. ендокринної патології. — 2002. — № 2. — С. 42–47.

М.М. Фірсова, Д.С. Мечев, Н.І. Полякова  
Національна медична академія післядипломної освіти ім. П.Л. Шупика, Київ,

Київська міська онкологічна лікарня

### Роль $^{89}\text{Sr}$ -терапії в паліативному лікуванні кісткових метастазів

### The role of $^{89}\text{Sr}$ -therapy in palliative bone metastases treatment

Кісткова система, поряд з лімфатичною, легенями та печінкою, є найбільш уразливою щодо метастатичного поширення злокісного процесу. Деякі автори [1] повідомляють, що частота метастатичного ураження кісток за даними аутопсії при пухлинах різних локацій складає до 85 %, що видно з відповідної таблиці.

*Частота метастатичного ураження кісток за даними аутопсії при пухлинах різних локацій*

Локація пухлини	Частота метастазування в кістки, %
Грудна залоза	47–85
Передміхурова залоза	54–85
Щитоподібна залоза	28–60
Нирки	33–40
Легені	32–40
Печінка	16
Яєчники	9
Стравохід	5–7
Пряма кишка	8–13
Шийка матки	0

Болі в кістках, патологічні переломи, порушення мінерального обміну (зокрема й кальцієвого гомеостазу) та гіперкальціємія — найважливіші клінічні прояви процесу, які значною мірою впливають на тяжкість перебігу захворювання та власне стан хворого, і у ряді випадків стають причиною смерті.

Однією з найголовніших умов розвитку кісткових метастазів є секреторна активність пухлинних клітин, що дозволяє створити в кістковій тканині максимально сприятливі умови для росту та розвитку метастазів. На даний час секреція паратироїдоподібного пептиду та макрофагального колоністимулуючого фактора росту пухлинними клітинами вважається головним чинником у розвитку кісткових метастазів.

Загальновідомо, що патогенез такого метастазування полягає у двох основних механізмах. Виникнення остеобластичних метастазів пов’язане з формуванням надлишкових кісткових структур — нова кісткова тканина формується остеобластами також активованими за рахунок речовин, що виділяють пухлинні клітини. Наслідком може стати підвищена щільність кістки, що рентгенологічно симулює остеосклероз. Подібний механізм ураження кісток характерний для раку простати.

Інший механізм метастазування — поява остеолітичних осередків як за рахунок підвищеної активності остеобластів, що стимулюються пухлинними клітинами з виділенням простагландинів, прокатепсину  $\Delta$  та трансформуючих факторів росту, так і шляхом прямого ушкодження кісткової тканини раковими клітинами за допомогою секреції колагенази та інших факторів. Такий механізм ураження кістки характерний для раку грудної залози, м'яломної хвороби, раку нирок.

Незважаючи на те, що гіперкальціємія вважається характерною ознакою остеолітичного ураження кісток, вона виявляється і при остеобластичних процесах, коли порушується баланс між процесом синтезу і лізису, за рахунок чого біля патологічного осередку формуються ділянки значно меншої щільноти. Треба враховувати також, що крім пухлинних процесів на зміну щільноті кісткової тканини впливає і застосування гормональної терапії. Подібні зміни відбуваються при проведенні повної андрогенної блокади у хворих на рак простати та антиестрогенної терапії при рації грудної залози. Таким чином, гіперкальціємія та остеопороз є спільними для всіх моделей метастатичного руйнування кістки.

Відновлення кісткового метаболізму та блокування остеолізису є головним завданням при лікуванні метастатичних уражень кісткової системи. Важливо, що рівень резорбції корелює з ризиком розвитку кісткових деформацій та інтенсивністю бальзових проявів [1]. У 70—90 % хворих генералізація пухлинного процесу проявляється появою різких болей. Бальова симптоматика, яка значно погіршує якість життя хворих, є найважливішим напрямком при паліативному лікуванні кісткових уражень.

Для боротьби з болем симптоматично призначаються знеболюючі та паліативна дистанційна променева терапія. В тих випадках, коли в онкологічних хворих з IV стадією захворювання та наявністю множинних метастазів у кісткову систему і вираженим бальзовим синдромом, можливості системної терапії вже вичерпано, а зовнішні поля опромінювання не перекривають всі ділянки ураження, методом вибору є терапія радіоактивними препаратами, що локально впливають на метастатичні зони в кістках [2].

Радіонуклідна терапія кісткових метастазів  $^{32}\text{P}$  і  $^{89}\text{Sr}$  відома ще з 1942 року, проте, на відміну від широко впроваджуваної фосфорної терапії,  $^{89}\text{SrCl}_2$  почали застосовувати в клінічній практиці розвинутих країн починаючи з 1974 року, а в Україні — лише наприкінці 90-х років минулого століття. Нині досвід, набутий вітчизняними лікарями у цій галузі, достатній, щоб узагальнити і оцінити ефективність застосування  $^{89}\text{SrCl}_2$ .

Ми намагались оцінити протиболючу ефективність радіонуклідної стронцієвої терапії, використовуючи в роботі радіофармацевтичний препарат  $^{89}\text{SrCl}_2$ , який, як відомо, є аналогом Ca, і має афінність до кістки.

Фізичні характеристики  $^{89}\text{SrCl}_2$ : бета-випромінювач з максимумом енергії 1,46 MeV, пробігом части-

нок у кістці — 3,5 мм, м'яких тканинах — 2,4 мм та періодом піврозпаду — 50,5 днів [3]. Препарат, згідно з інструкцією, вводили в об'ємі 4 мл з активністю 150 МБк. Ефективна доза опромінення пацієнта складає 3,1 мЗв/МБк. Протягом 15 хв лікар контролював стан хворого. З метою зменшення неприємних відчуттів (жару та пекучості в слизових оболонках) введення препарату здійснювали повільно протягом 1 хвилини. Після ін'єкції  $^{89}\text{SrCl}_2$  концентрується в кістках пропорційно до остеобластичної активності, стронцій, який не сконцентрувався в кістках на 80 % екскретується нирками і на 20 % — шлунково-кишковою системою [4].

Проаналізовано історії хвороб 155 хворих з множинними ураженнями кісток пухлинами різних локалізацій: рак простати — 32 хворих, грудної залози — 112, нирки — 2, ободової кишki — 1, щитоподібної залози — 3, анонімний рак — 1, рак легень — 1, множинна м'ялома — 3. Усі хворі до лікування скаржились на болі різної інтенсивності, які оцінювали за загальноприйнятою шкалою Карновського. Наявність ураження кісток об'ективно була підтверджена інструментальними методами (рентгенодослідженням, КТ, остеосцинтиграфією).

До уваги брали загальноприйняті протипоказання: очікувана тривалість життя пацієнтів менше 3 місяців, анемія — гемоглобін менше 90 г/л, лейкопенія — лейкоцити менше  $3 \times 10^9/\text{l}$ , тромбоцитопенія — тромбоцити менше  $100 \times 10^9/\text{l}$ , явища компресії спинного мозку, як наслідок патологічного перелому хребців за рахунок метастатичного ураження, нетримання сечі [3].

При необхідності, для корегування показників крові з метою проведення наступного курсу радіонуклідної терапії, хворим пропонували застосування препаратів: еритропоетину, нейрогену, рекормону.

Перед застосуванням радіонуклідної терапії відміняли кальціймісні препарати та бісфосфонати.

Гормональну антиандрогенну та антиестрогенну терапію протягом лікування  $^{89}\text{SrCl}_2$  не відміняли. Для проведення гормональної терапії було застосовано препарати: у жінок — тамоксифен, фемара; у чоловіків андрогенну депривацію здійснювали за допомогою дифіріліну, касодексу. Золадекс призначали як чоловікам, так і жінкам.

Між курсами лікування використовували бонефос, аредіа та зомета. Всі препарати супровідної терапії застосовували відповідно до інструкції.

Стронцієве лікування отримали 155 пацієнтів, із них: 128 пройшли 1 курс радіонуклідної терапії. Повторне лікування: по 2 курси отримали 15, по 3 — 7, по 4 — 4 та 5 курсів — 1 особа. При проведенні опитування у перші 3—5 діб після отримання стронцію всі хворі скаржились на болі в кістках, а майже 68 % — на їх посилення після прийому препарату, що може бути пов'язане з місцевою променевою реакцією.

Загалом із 155 пацієнтів, які пройшли лікування стронцієм, 117(76 %) відчули суб'єктивне поліпшення самопочуття, виражене у зменшенні бальзової симпто-

матики (72 %) аж до повної її відсутності (4 %), тобто 76 % пролікованих поліпшили якість життя за шкалою Карновського з 40–50 % до 60–90 %. Такий стан тривав у середньому від 3 до 6 місяців. У 8 хворих (~ 5 %), стан яких до лікування було оцінено від 20 до 30 %, по його завершенні мали незначне поліпшення, оцінене в 30–40 % за шкалою Карновського. Виражену позитивну динаміку виявлено в 6 пацієнтів упродовж 2 місяців після лікування і підтверджено остеосцинтиграфією та МРТ. Без ефекту, тобто, коли абсолютно не змінювалась інтенсивність болів, і приблизно ідентичним було сцинтиграфічне зображення протягом перших 3 місяців після лікування, у 7 пацієнтів.

У 4 хворих протягом 4 міс. — 1 року виникли метастази у легені (2 випадки), у печінку (1) та в 1 хворої стався патологічний перелом ключиці.

Троє пацієнтів з діагнозом множинна мієлома, які пройшли курс стронцієвої терапії, через 3–6 міс. відчули істотне зменшення болів у кістках, водночас виявлено позитивну сцинтиграфічну динаміку.

Семи хворим з особливо вираженою бальовою симптоматикою стронцієву терапію проводили одночасно з паліативною дистанційною променевою терапією.

Повторні курси стронцієвої терапії проведено 27 пацієнтам. Всі вони відзначали істотне зменшення бальової симптоматики, знеболюючий ефект з'являвся на 8–14 добу і тривав у середньому 3–6 міс. Повторні курси призначали не раніше ніж через 4–6 міс. після проведення попереднього курсу, за умови добрих показників периферичної крові. Показанням до проведення повторного курсу була поява болів та зміни при остеосцинтиграфії (виникнення нових ділянок ураження, збільшення інтенсивності включення остеотропного препарату в раніше виявлені зони метастазування).

Враховуючи, що з різних причин не завжди можна було повторити стронцієву терапію, у 9 хворих повторне лікування проводили з використанням фосфору. У цій групі 6 осіб відзначили перевагу стронцію щодо тривалості терміну протибальового впливу (від 2–4 міс. при застосуванні  $^{32}\text{P}$  до 6–9 — після  $^{89}\text{Sr}$ ).

Критерієм ефективності лікування вважали наявність вираженого знеболюючого ефекту мінімум протягом 3 міс. після застосування радіонуклідної терапії. Контрольна остеосцинтиграфія свідчила про позитивну динаміку і збереження показників периферичної крові.

На перебіг захворювання гормонально-залежних пухлин, зокрема таких ускладнень, як поява метастазів у кістки та швидкість поширення процесу кістками впливає вчасно призначена та безперервна гормональна терапія. Аналіз наших даних показав, що майже 80 % хворим із гормонально-залежними пухлинами до появи метастазів у кістки таку терапію або не призначали, або робили це несистематично.

Іншим фактором, який суттєво доповнює і поліпшує ефект радіонуклідного, зокрема, стронцієвого ліку-

вання хворих з множинними метастазами, є призначення бісфосфонатів. За нашими даними, суб'єктивно краще самопочуття між курсами радіонуклідної терапії мали хворі, які регулярно застосовували таку терапію.

Враховуючи синергізм впливу препаратів цієї групи з остеотропною стронцієвою терапією, на особливу увагу заслуговує препарат «Зомета», який може успішно застосовуватись при лікуванні всіх типів кісткових метастазів, оскільки часто цей процес має змішаний характер [6, 7], а також при остеопорозах. Ряд праць [6] свідчать, що комбінація зомети зі стандартними протипухлинними препаратами, зокрема тамоксифеном, дексаметазоном, призводить до збільшення апоптозу злюкісних пухлин. У даний час зомета розглядається також як препарат, що може застосовуватись для профілактики та збільшення терміну до появи кісткових метастазів.

Підсумовуючі викладене, можна твердити, що стронцієва терапія у комплексному застосуванні є важливою складовою лікування кісткових метастазів, а як самостійний метод виявляє свою ефективність у зниженні бальової симптоматики у хворих цієї групи.

Отже, застосування  $^{89}\text{SrCl}_2$  справляє знеболюючий ефект, який зберігається протягом 3–4 до 6 місяців. Свідченням зниження активності патологічного процесу є нормалізація накопичення остеотропного препарату в ділянках ураження при проведенні остеосцинтиграфії. З метою чіткішого визначення термінів проведення повторних курсів стронцієвої терапії доцільно регулярно досліджувати лабораторні маркери резорбції кісткової тканини, такі як: сироваткові рівні кісткової лужної фосфатази, остеокальцину, ступінь гіперкальцемії та сироватковий кістковий сіалопротеїн (BSP).

## Література

1. Моисеенко В.М., Блінов Н.Н. Современная тактика лечения больных злокачественными новообразованиями с метастазами в кости. — СПб, 1996. (<http://www.painstudy.ru/marts/treat/treatcancer.htm>)
2. Смирнов Ю.Н., Трушин В.И., Смирнова Н.А., Габуния Р.И., Рыжков А.Д., Ширяев С.В. // Вестн. РНЦРР МЗ РФ. — №6. ([http://vestnik.rnccr.ru/vestnik/v6/papers/fs05\\_118.htm](http://vestnik.rnccr.ru/vestnik/v6/papers/fs05_118.htm)).
3. Amin I.Kassis, S. James Adelstain : // J. of Nuclear Med. — 2005. — Vol. 46, №. 1(Suppl), — S.4–12.
4. Neeta Pandit-Taskar, Maria Batraki: // Ibid. — Vol. 45, № 8. — P. 1358–1365.
5. Применение метастрона в лечении больных с kostными метастазами: пособие для врачей. — СПб, 1997. — С. 15.
6. Вышинская Г.В., Михина З.П., Данилова В.С. и др. // Совр. онкол. — 2004. — Т. 6, №4. ([http://www.consilium-medicum.com/media/onkology/04\\_04\\_158.shtml](http://www.consilium-medicum.com/media/onkology/04_04_158.shtml)).
7. Алиев М.Д., Болотина Л.В., Тепляков В.В., Королева Л.А. и др. Применение Зометы в лечении метастатического поражения скелета: клинический опыт. — 2004. — Т. 6, № 3. ([http://www.consilium-medicum.com/media/onkology/04\\_03\\_113.shtml](http://www.consilium-medicum.com/media/onkology/04_03_113.shtml)).

О.В. Щербіна, О.І. Москалець, С.С. Замятін  
Національна медична академія післядипломної освіти ім. П.Л. Шупика, Київ,

Київська міська онкологічна лікарня

## Роль простатичного специфічного антигену в прогнозуванні екстракапсулярного поширення та метастазування раку передміхурової залози

### The role of prostate specific antigen in prognosis of extracapsular generalization and metastases of prostate cancer

В останні роки як у світі, так і в Україні спостерігається значне зростання захворюваності на рак передміхурової залози (РПЗ) [1–3]. Розповсюдженість РПЗ, труднощі діагностики, особливо на ранніх стадіях, пізнє виявлення, коли малоефективна навіть паліативна терапія — фактори, що визначають актуальність проблеми. Важливим завданням онкології є не тільки діагностика первинної пухлини, але й поширення процесу. Діагностика екстракапсулярного поширення, регіонарних та віддалених метастазів важлива для вибору оптимальної тактики лікування

хворих [3–5]. Досі немає чітких рекомендацій щодо застосування променевих методів для діагностики поширення процесу в залежності від рівнів простатичного специфічного антигену (ПСА) в сироватці крові.

Метою роботи став аналіз можливостей імунорадіометричного аналізу рівнів ПСА в прогнозуванні екстракапсулярного поширення, регіонарних та віддалених метастазів РПЗ.

Всього під нашим спостереженням перебували 148 хворих на РПЗ. У всіх пацієнтів визначали рівні ПСА методом імунорадіометричного аналізу. Для діагностики екстракапсулярного поширення пухлини застосовували трансректальне ультразвукове дослідження (ТРУЗД) у 148 осіб, комп'ютерну томографію (КТ) — у 65, магнітнорезонансну томографію (МРТ) — у 16. Враховуючи недостатню чутливість ТРУЗД у діагностиці місцевого поширення процесу, не зважали на його негативні результати і доповнюювали дослідження більш чутливими методами (КТ, МРТ). Для пошуку регіонарних метастазів за допомогою ультразвукової діагностики (УЗД) обстежено 26 осіб, КТ — 65, МРТ — 16, позитивної лімфосцинтиграфії та однофотонної емісійної комп'ютерної томографії — 8. Для пошуку метастазів у скелеті методом остеосцинтиграфії обстежено 68 пацієнтів, у 10 дослідження доповнили магнітнорезонансною

Таблиця 1

Наявність екстракапсулярного поширення РПЗ залежно від рівнів ПСА та ступеня диференціації пухлини

Рівень ПСА в сироватці крові, нг/мл	Кількість хворих		
	разом, п	наявність екстракапсулярного поширення РПЗ, п/%	ступінь диференціації пухлин при наявності екстракапсулярного поширення, п
до 10,0	24	2 / 8,3	G <sub>4</sub> – 1, G <sub>3</sub> – 1
10,1–20,0	16	3 / 18,8	G <sub>3</sub> – 2, G <sub>4</sub> – 1
20,1–50,0	20	11 / 55,0	G <sub>2</sub> – 7, G <sub>3</sub> – 4
50,1 і вище	31	22 / 71,0	G <sub>2</sub> – 18, G <sub>3</sub> – 4

Таблиця 2

Наявність метастазів у лімфатичних вузлах залежно від рівнів ПСА та ступеня диференціації пухлини

Рівень ПСА (нг/мл)	Кількість хворих		
	разом, п	наявність метастазів у лімфатичних вузлах, п/%	ступінь диференціації пухлин при наявності метастазів у лімфатичних вузлах, п
до 10,0	24	1 / 4,2	G <sub>4</sub> – 1
10,1–20,0	14	2 / 14,3	G <sub>3</sub> – 1, G <sub>4</sub> – 1
20,1–50,0	21	9 / 42,9	G <sub>2</sub> – 5, G <sub>3</sub> – 4
50,1 і вище	36	20 / 55,6	G <sub>2</sub> – 14, G <sub>3</sub> – 6

Таблиця 3

Наявність метастазів у скелеті залежно від рівнів ПСА та ступеня диференціації пухлини

Рівень ПСА в сироватці крові, нг/мл	Кількість хворих		
	разом, п	наявність метастазів у скелеті, п / %	ступінь диференціації пухлин при наявності метастазів у скелеті, п
до 10,0	27	1 / 3,7	G <sub>4</sub> – 1
10,1–20,0	12	3 / 25,0	G <sub>3</sub> – 3
20,1–50,0	19	10 / 57,9	G <sub>2</sub> – 4, G <sub>3</sub> – 6
50,1 і вище	10	9 / 90,0	G <sub>2</sub> – 8, G <sub>3</sub> – 1

томографією. Було проведено зіставлення наявності місцевого поширення РПЗ, регіонарних, віддалених метастазів з рівнями ПСА в сироватці крові та ступенем диференціації пухлини.

Екстракапсулярне поширення пухлини за допомогою ТРУЗД, КТ, МРТ виявили у 38 хворих. Результати зіставлення даних променевих методів дослідження з рівнями ПСА в сироватці крові та ступенем диференціації пухлини наведено в табл. 1.

Як видно з табл. 1, навіть при рівнях ПСА нижче 10,0 нг/мл визначалося місцеве поширення процесу. При цьому слід підкреслити, що при концентрації ПСА нижче 20,0 нг/мл його виявили тільки у хворих з низькими ступенями диференціювання пухлин. З підвищеннем концентрації ПСА різко зростає вірогідність місцевих метастазів. Спостерігається статистично вірогідна різниця в їх наявності у пацієнтів з концентраціями ПСА нижче 20 нг/мл та при рівнях ПСА, що перевищують цю величину ( $p < 0,05$ ). При концентрації ПСА, що перевищує 50 нг/мл, понад 70 % пацієнтів мають екстракапсулярне поширення процесу. При цьому зауважимо, що у жодного пацієнта з високим ступенем диференціації пухлини ( $G_1$ ) не відзначається її місцевого поширення.

Метастази в лімфатичних вузлах виявлено у 32 хворих. Результати зіставлення даних променевих методів дослідження з рівнями ПСА в сироватці крові та ступенем диференціації пухлини наведено в табл. 2.

Як можна побачити з табл. 2, вірогідність метастазів у лімфатичній системі низька при рівнях ПСА нижче 10,0 нг/мл (метастази виявлено лише у 1 з 24 обстежених, що становить 4,2 %). При цьому слід зазначити, що при концентрації ПСА нижче 20,0 нг/мл регіонарні метастази знайшли тільки у хворих з низькими ступенями диференціювання пухлин. З підвищеннем концентрації ПСА різко зростає вірогідність метастазування. Спостерігається статистично вірогідна різниця в наявності метастазів у регіонарних лімфатичних вузлах у пацієнтів з концентраціями ПСА нижче 20 нг/мл та при рівнях ПСА, що перевищують цю величину ( $p < 0,05$ ). При концентрації ПСА понад 50 нг/мл більше 50 % пацієнтів мають метастатичне ураження лімфатичних вузлів. При цьому слід підкреслити, що у жодного пацієнта з високим ступенем диференціації пухлини ( $G_1$ ) не виявлено регіонарних метастазів.

Метастази у скелеті зареєстровані у 23 хворих. Результати зіставлення даних променевих методів дослідження з рівнями ПСА в сироватці крові та ступенем диференціації пухлини наведено в табл. 3.

Як видно з табл. 3, метастази у скелеті виявлено лише у 1 пацієнта з рівнем ПСА нижче 20,0 нг/мл (з недиференційованою пухлиною). Болі в скелеті у пацієнтів з рівнями ПСА нижче 20,0 нг/мл були викликані (за даними променевих методів дослідження) дегенеративно-дистрофічними процесами. Вірогідність виявлення таких метастазів зростала з підвищеннем концентрації ПСА. Так, при концентрації ПСА в сироватці крові 20,1–50,0 нг/мл вони були

знайдені у 25 % хворих, при концентрації 50,1–100,0 нг/мл — у 57,9 %. При концентрації ПСА більше 100,0 нг/мл метастази виявлені у 90 % хворих. У одного хворого, у якого рівень ПСА перевищував 100,0 нг/мл, було екстракапсулярне поширення пухлини та метастази в регіонарних лімфатичних вузлах, але метастази в скелеті були відсутні. При цьому слід відзначити, що останні при концентрації ПСА нижче 50,0 нг/мл виявили тільки при низьких ступенях диференціювання пухлин, втім у жодного пацієнта з високим ступенем ( $G_1$ ) не знайдено метастазів у скелеті.

У нелікованих хворих рівні ПСА можуть бути орієнтиром для відбору на остеосцинтиграфію та інші променеві методи дослідження кістяка. Так, при концентрації ПСА нижче 20,0 нг/мл дослідження скелета можна не проводити у пацієнтів з високо- та середньодиференційованими пухлинами без наявності болю в кістках. З огляду на високу вартість остеосцинтиграфії та магнітнорезонансної томографії та невелику частоту кісткових метастазів при ранній діагностиці раку простати, ми, як і інші дослідники, не рекомендуємо включати згадані методи дослідження в перелік обов'язкових у пацієнтів із вперше виявленим РПЗ при низьких рівнях ПСА і відсутності болю в скелеті.

Можна прогнозувати екстракапсулярне поширення пухлини та метастазів у хворих на РПЗ, ураховуючи рівні ПСА, які є орієнтиром щодо призначення променевих методів дослідження.

Променева діагностика місцевого поширення пухлини та регіонарних метастазів обов'язкова при рівнях ПСА, що перевищують 20 нг/мл.

Дослідження скелета обов'язкове у всіх пацієнтів, незалежно від клінічної симптоматики, при рівнях ПСА вище 50, а особливо — вище 100 нг/мл. У пацієнтів з низькодиференційованими пухлинами променеві дослідження можна виконувати і при нижчих рівнях ПСА, особливо за наявності характерної клінічної симптоматики.

Необхідні подальші дослідження, спрямовані на вивчення прогностичних факторів поширення пухлини у хворих на рак передміхурової залози.

#### Література

1. Возіанов О.Ф., Пасечніков С.П. // Урол. — 2003. — № 2. — С. 91–92.
2. Харченко Н.В., Комляров П.М. // Мед. визуализ. — 2002. — № 3. — С. 4–10.
3. Щербіна О.В., Мечев Д.С., Сакало В.С. та ін. Променева діагностика раку передміхурової залози. — К.: Телепоптик, 2003. — 168 с.
4. Takashima H., Egawa M., Imao T. et al. // J. Urol. — 2004. — Vol. 171, № 6. — P. 2268–2271.
5. Vozianov A., Reznikov A., Klimenko I. Androgen deprivation strategy in prostate cancer. — К.: Naukova Dumka, 2001. — 239 p.